

Diapositivos das aulas de Circuitos para Comunicações

nuno.garrido@iscte.pt

ISCTE-IUL, Fev 2014

CC >

Circuitos para Comunicações

Sistema internacional (SI):

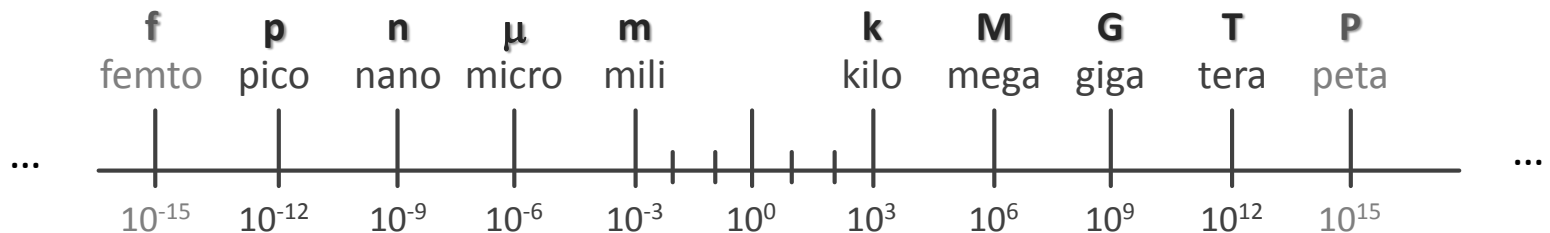
➤ Unidades básicas (7):

metro (**m**), quilograma (**kg**), segundo (**s**),
ampere (**A**), kelvin (**K**),
mol (**mol**), candela (**cd**)

➤ Unidades derivadas

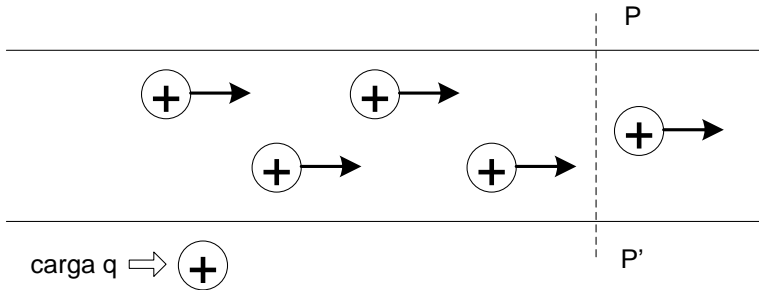
volt (**V**), ohm (**Ω**), watt (**W**), joule (**J**), tesla (**T**), weber (**Wb**),
farad (**F**), henry (**H**), newton (**N**), coulomb (**C**), pascal (**Pa**),
hertz (**Hz**), radiano (**rad**), esterradiano (**sr**), lúmen (**lm**), lux (**lx**) ...

➤ Prefixos – factores multiplicativos



Corrente eléctrica [*i*]

- Definição: fluxo de cargas positivas num dado sentido



$$i = \frac{\Delta q \text{ (que passa em P'P)}}{\Delta t \text{ (tempo que demora)}}$$

Ordens de grandeza

- neurónios: 10^{-12} a 10^{-14} (A) \sim 1pA a 0.01pA
- circuitos integrados de memória: \sim 0.1 μ A (DC)
- aparelhos electrónicos: \sim 100mA a 15A (DC)
- motor eléctrico industrial: \sim 1kA = 1000A (AC)
- raio eléctrico (trovão): \sim 10^5 A = 100kA = 0.1MA

➤ Unidades

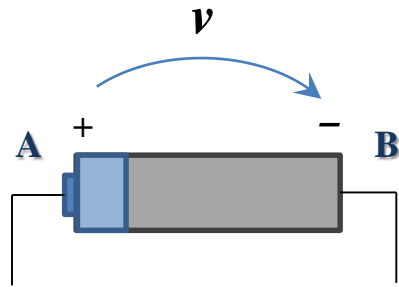
- carga, coulomb [C]
- tempo, segundo [s]

$$\lim_{\Delta t \rightarrow 0} \Rightarrow i = \frac{dq}{dt}$$

$$\text{ampere [A]} = [\text{C}]/[\text{s}]$$

Tensão eléctrica [v]

- Definição: tensão ou diferença de potencial eléctrico entre dois pontos de um circuito. Mede a força que uma carga eléctrica experimenta no meio de um campo eléctrico.



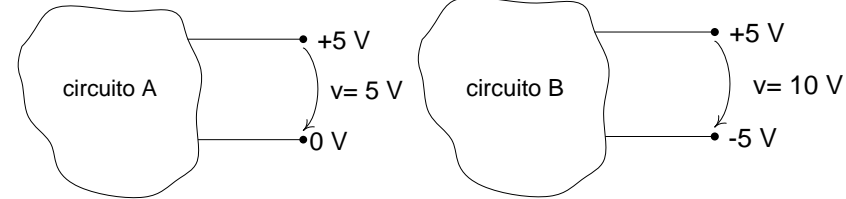
Ordens de grandeza

- antena de um receptor de rádio: $\sim 10^{-7} \text{ V} = 0.1 \mu\text{V}$
- alimentação de um circuito integrado: 1V a 5V (DC)
- bateria automóvel: 12V (DC)
- rede eléctrica doméstica: 220V (AC)
- rede de distribuição de alta tensão: $10^6 \text{ V} = 1 \text{ MV}$
- raio eléctrico: $10^8 \text{ V} = 100 \text{ MV}$

➤ Unidades

- energia, joule [J]
- carga, coulomb [C]

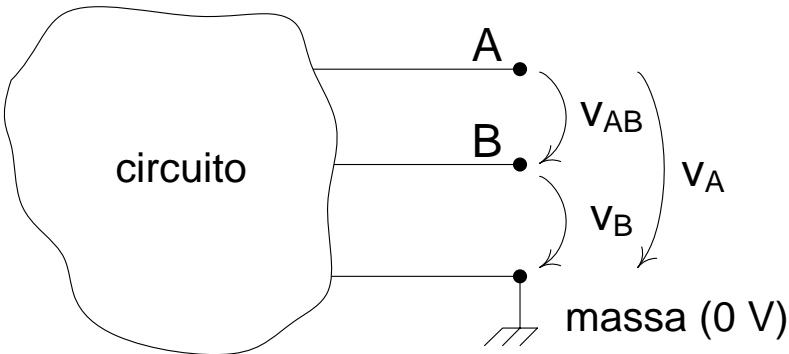
$$v = v_A - v_B$$



$$\text{volt [V]} = [\text{J}]/[\text{C}]$$

Potencial [v]

➤ Definição: O potencial de um ponto define-se como a tensão nesse ponto em relação a um valor de referência, geralmente o valor da massa (**0 V**)



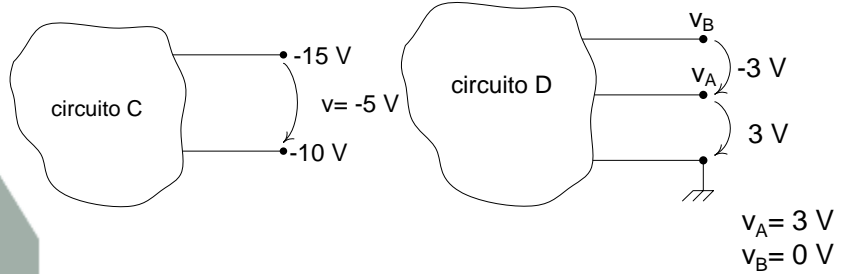
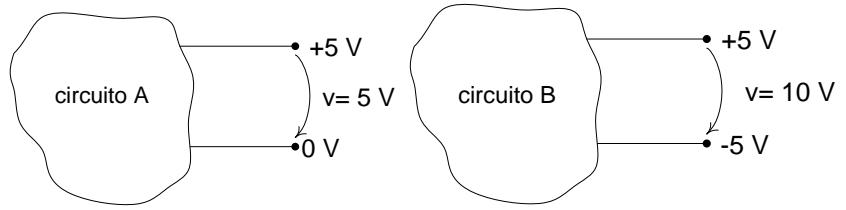
$$v_A = v_B + v_{AB}$$

➤ Unidades

- energia, joule [J]
- carga, coulomb [C]

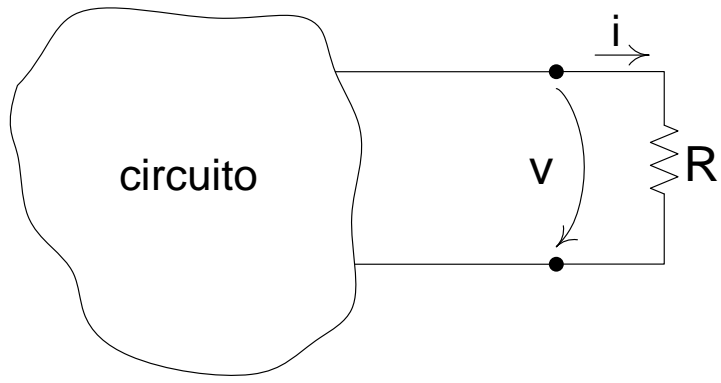
$$v_{AB} = v_A - v_B$$

$$\text{volt [V]} = [\text{J}]/[\text{C}]$$



Resistência eléctrica [R]

Relação linear entre tensão e corrente:



dá-se o nome de resistência à constante de proporcionalidade (R)

➤ Unidades

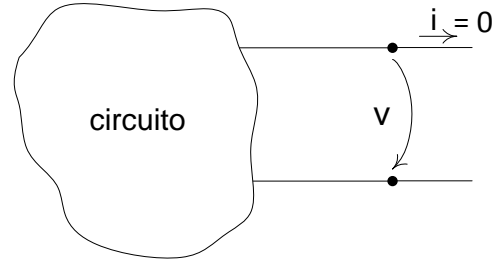
- tensão, Volt [V]
- corrente, Ampere [A]

Lei de Ohm

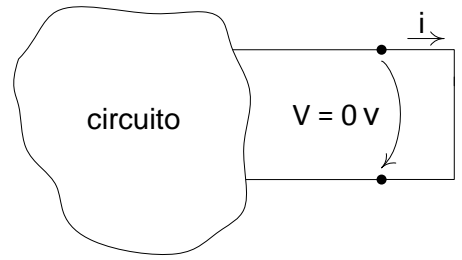
$$v = R \cdot i$$

$$\text{ohm } [\Omega] = [V]/[A]$$

Circuito aberto ($R \approx \infty$)

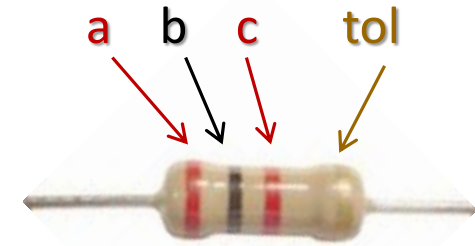


Curto circuito ($R \approx 0$)



Resistência eléctrica (código de cores)

- As primeiras três faixas indicam o valor nominal
- a última faixa indica a tolerância (em %) face ao valor nominal da resistência



$$R = (ab) \cdot 10^c \pm \% \text{ da tolerância}$$

Exemplo


$$R = (20) \cdot 10^2 \pm 5\%$$

$$R = 2\text{k}\Omega \pm 5\%$$

Cor	Preto	Castanho	Vermelho	Laranja	Amarelo	Verde	Azul	Violeta	Cinzento	Branco
Valor	0	1	2	3	4	5	6	7	8	9

Resistividade [ρ]

- ρ (Ωm) é a resistividade eléctrica

$$R = \rho \frac{\ell}{A}$$


The diagram shows a blue cylindrical wire. Above the wire, a double-headed arrow indicates its length, labeled with the Greek letter ℓ .

- O valor da resistência eléctrica R de um dispositivo, é função da resistividade ρ (Ωm) do material, do seu comprimento ℓ (m), e da área da sua secção A (m^2)

Materiais

Condutores	➤	Cobre	$1,7 \times 10^{-8} \Omega\cdot\text{m}$
	➤	Ouro	$2,4 \times 10^{-8} \Omega\cdot\text{m}$
Semicondutores	➤	Carbono	$3,5 \times 10^{-5} \Omega\cdot\text{m}$
	➤	Silício	$6,4 \times 10^2 \Omega\cdot\text{m}$
Isolantes	➤	Papel	$10 \times 10^{10} \Omega\cdot\text{m}$
	➤	Vidro	$10 \times 10^{12} \Omega\cdot\text{m}$

Condutividade [σ]

- σ ($\Omega^{-1}\text{m}^{-1}$) é a condutividade eléctrica de um material

$$\sigma = 1 / \rho$$

Define-se como o inverso da resistividade e de um material

Condutância [G]

- a condutância eléctrica G (Ω^{-1}) de um dispositivo, é o inverso da sua resistência eléctrica R

$$G = 1 / R$$

Indica a facilidade que o dispositivo tem para conduzir corrente eléctrica

siemens [S] = [A]/[V] = [Ω^{-1}]

Potência [P]

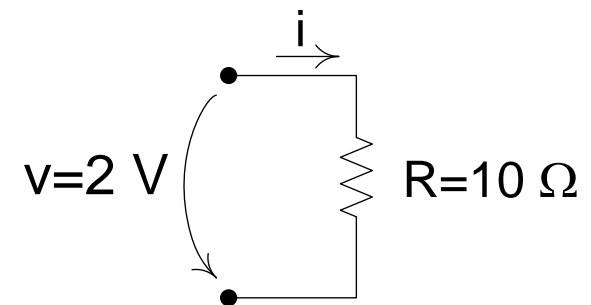
- P (W) é potencia e reflecte a capacidade de um dispositivo gerar trabalho ou dissipar potência

$$P = v \cdot i$$

Numa resistência, a potência dissipada é sempre positiva e é dada por:

$$P = v^2 / R$$

$$P = R \cdot i^2$$



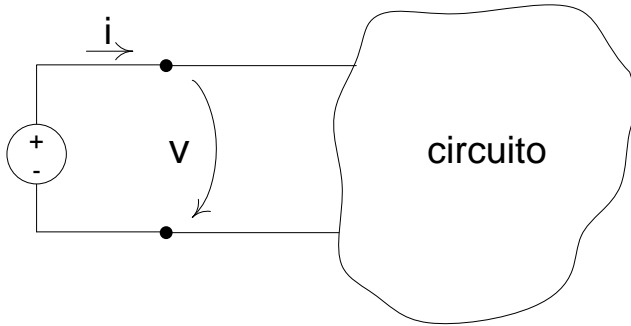
$$p_{diss} = \frac{v^2}{R} = \frac{2^2}{10} = 0.4\text{ W} = 400\text{ mW}$$

$$i = \frac{v}{R} = \frac{2}{10} = 0.2\text{ A} = 200\text{ mA}$$

watt [W] = [A]·[V]

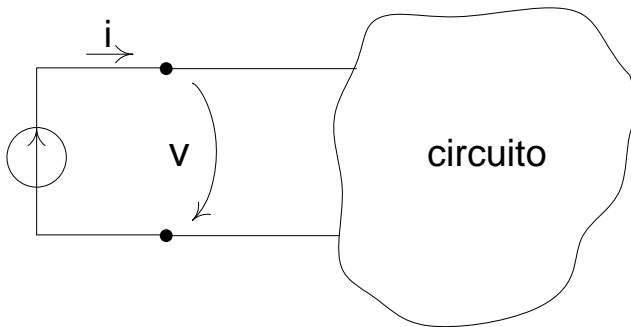
Fontes independentes

➤ Fonte de tensão ideal



- impõe tensão v com valor fixo
- define o valor de v e a polaridade
- o valor de i depende de v e do circuito

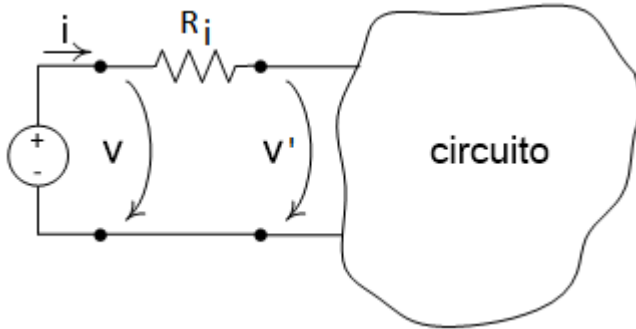
➤ Fonte de corrente ideal



- impõe corrente i com valor fixo
- define o valor de i e o sentido da corrente
- o valor de v depende de i e do circuito

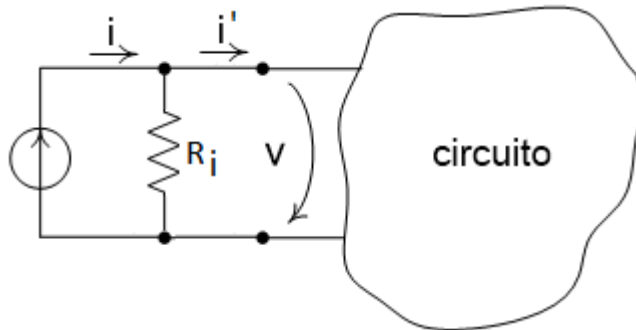
Fontes independentes

➤ Fonte de tensão não-ideal



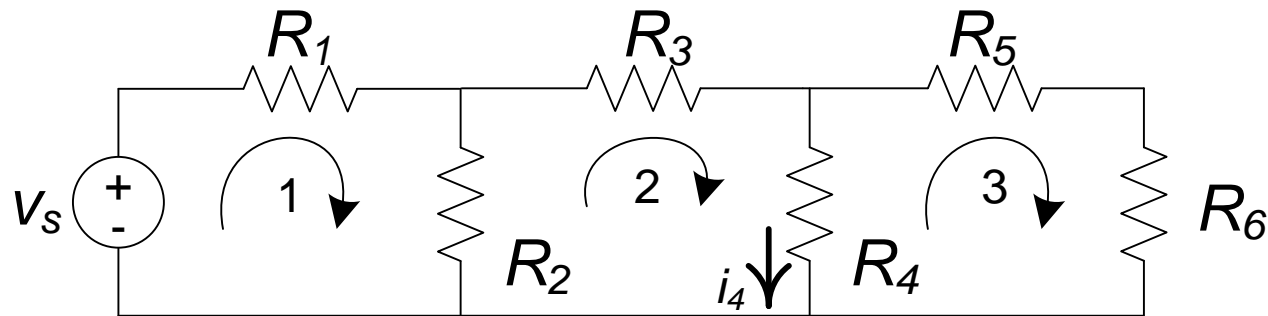
- Inclui uma resistência interna R_i em série com a fonte de tensão v

➤ Fonte de corrente não-ideal



- Inclui uma resistência interna R_i em paralelo com a fonte de corrente i

Elementos de um circuito



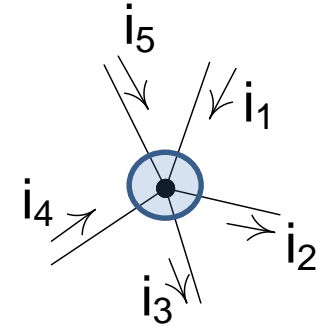
- **Circuito**: conjunto de elementos interligados através de fios condutores que se admitem ideais
- **Nó**: ponto de interligação de dois ou mais elementos
- **Ramo**: porção de circuito com um só elemento
- **Malha**: uma malha é um caminho fechado que não contem no seu interior outro caminho também fechado

Leis de Kirchhoff

Lei das correntes (KCL) – Lei do nós (1ª lei)

- a soma das correntes que entram num nó é zero

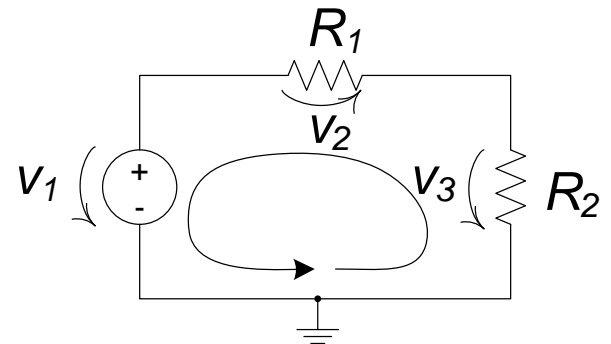
$$\sum_{j=1}^N i_j = 0 \Leftrightarrow i_1 - i_2 - i_3 + i_4 + i_5 = 0$$



Lei das tensões (KVL) – Lei das malhas (2ª lei)

- a soma das tensões numa malha (fechada) é zero

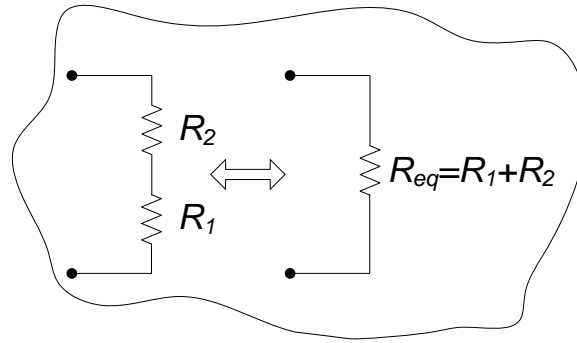
$$\sum_{j=1}^N v_j = 0 \Leftrightarrow +v_1 - v_2 - v_3 = 0$$



Associação de resistências

➤ em série

$$R_{eq} = \sum_{i=1}^N R_i$$

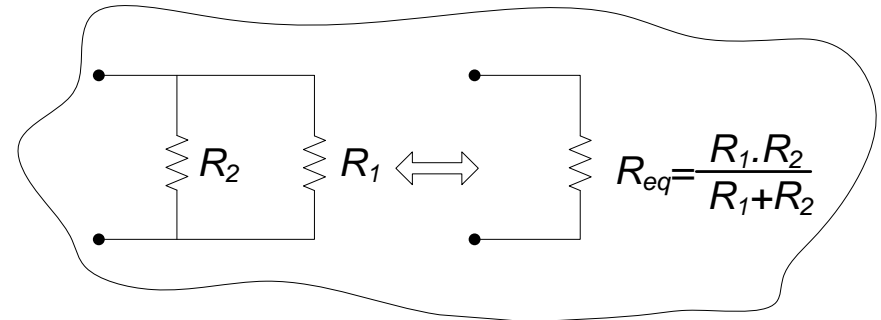


➤ em paralelo

$$\frac{1}{R_{eq}} = \frac{1}{R_1} + \frac{1}{R_2} \Leftrightarrow R_{eq} = \frac{R_1 \cdot R_2}{R_1 + R_2}$$

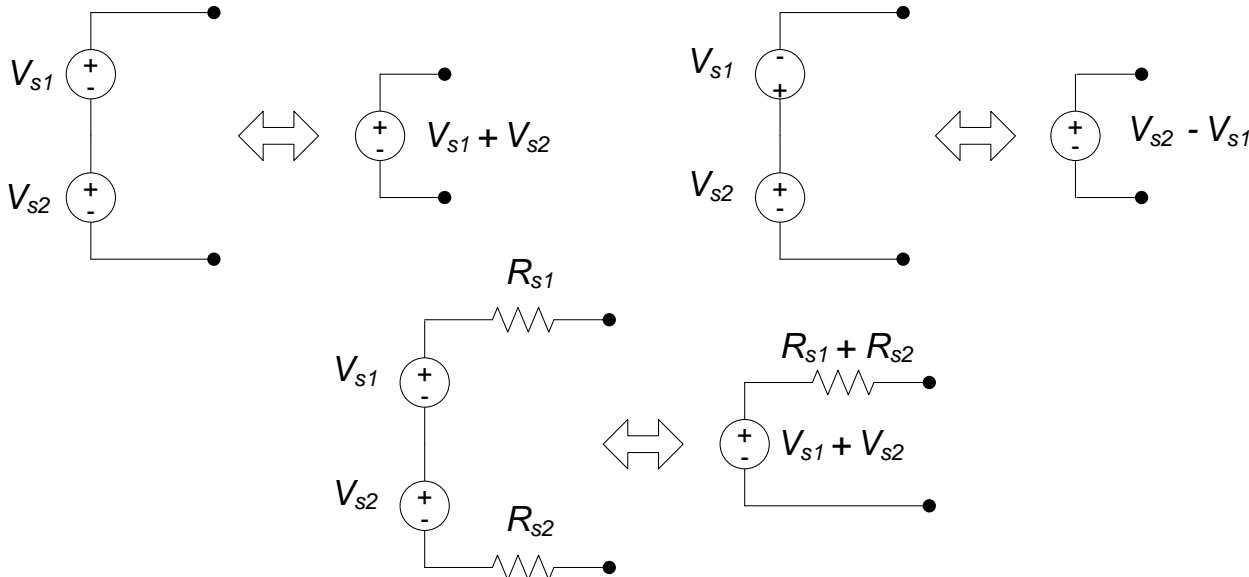
$$G_{eq} = G_1 + G_2$$

$$\frac{1}{R_{eq}} = \sum_{i=1}^N \frac{1}{R_i}$$

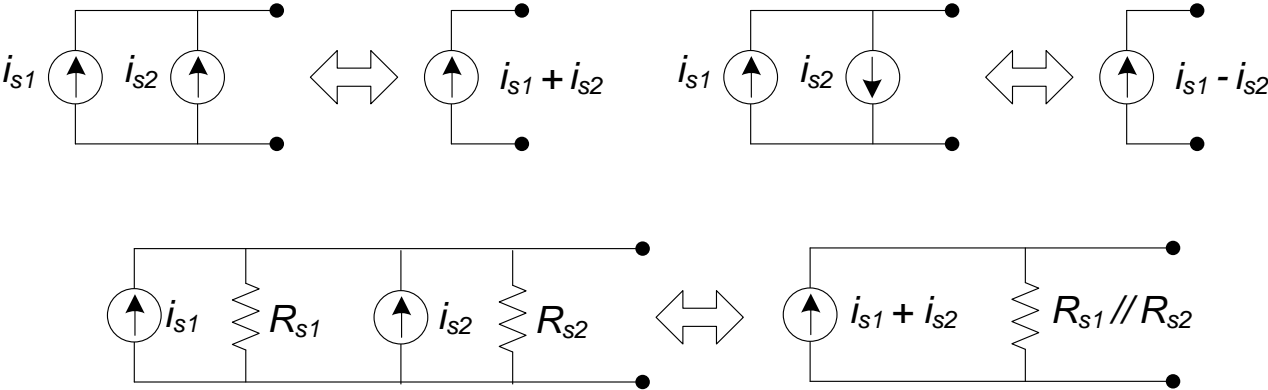


Associação de fontes

➤ de tensão (em **série**)



➤ de corrente (em **paralelo**)



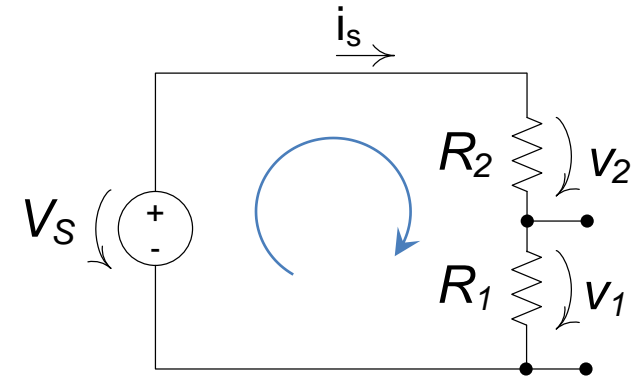
Divisor de tensão

Aplicando a lei das malhas e a lei de Ohm

- circulando no sentido horário

$$v_1 + v_2 - V_s = 0 \Leftrightarrow V_s = v_1 + v_2 \text{ (KVL)}$$

$$v_2 = i_s \cdot R_2; v_1 = i_s \cdot R_1 \quad \Leftrightarrow$$

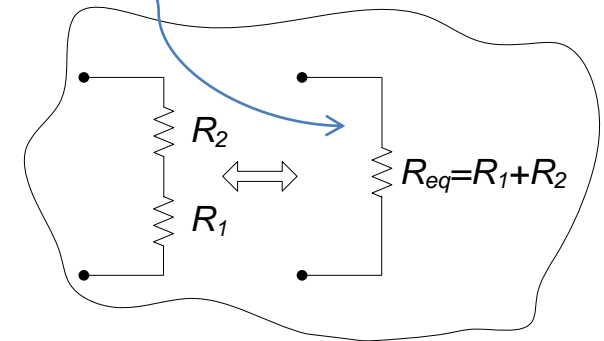


- resulta:

$$V_s = v_2 + v_1 = i_s \cdot R_2 + i_s \cdot R_1 = i_s(R_2 + R_1) = i_s \cdot R_{eq}$$

$$V_s = i_s(R_1 + R_2) \Leftrightarrow i_s = \frac{V_s}{R_1 + R_2} \quad \Leftrightarrow$$

$$v_1 = i_s \cdot R_1 = V_s \frac{R_1}{R_1 + R_2}$$



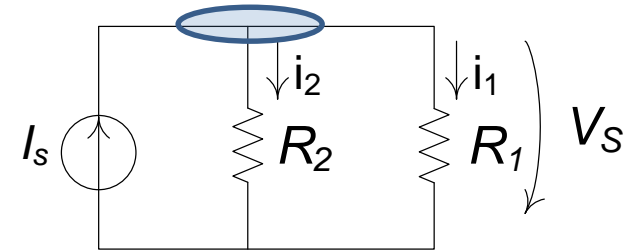
Divisor de corrente

Aplicando a lei dos nós

- considerando positivas as correntes que saem do nó:

$$-I_s + i_1 + i_2 = 0 \Leftrightarrow I_s = i_1 + i_2 \text{ (KCL)}$$

$$v_s = R_2 \cdot i_2 = R_1 \cdot i_1 \Rightarrow \frac{i_2}{i_1} = \frac{R_1}{R_2} \quad \Leftrightarrow$$



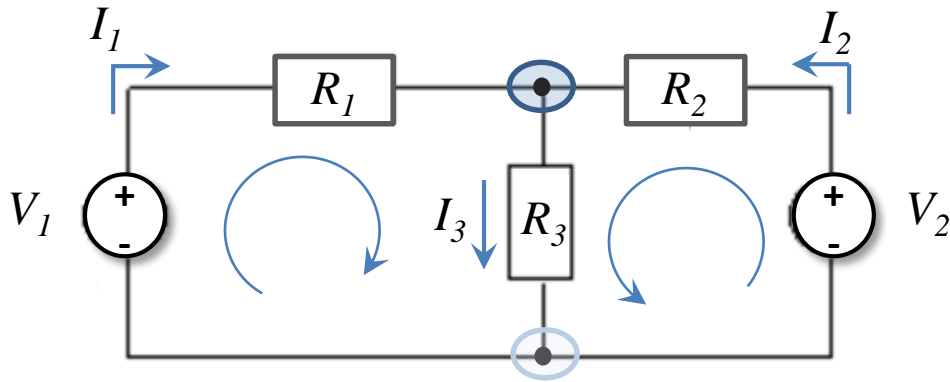
- resulta:

$$I_s = i_1 + i_2 = i_1 + \frac{R_1}{R_2} i_1 = i_1 \left(1 + \frac{R_1}{R_2} \right) = i_1 \frac{R_1 + R_2}{R_2} \Rightarrow i_1 = I_s \frac{R_2}{R_1 + R_2}$$

$$i_2 = I_s \frac{R_1}{R_1 + R_2}$$

Análise de circuitos (exemplo)

regras para aplicar as leis de Kirchhoff

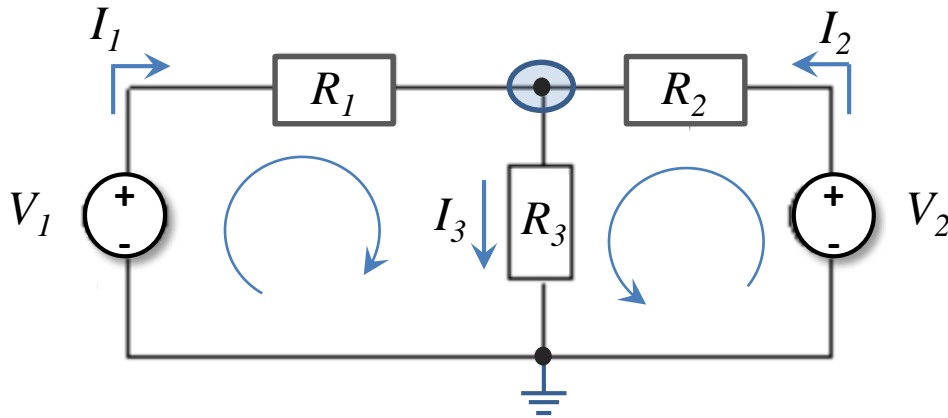


➤ ... primeiro

- ① *Definir os sentidos das correntes em cada ramo do circuito*
- ② *Definir o sentido de circulação nas malhas*
- ③ *Definir os nós relevantes do circuito*

Análise de circuitos

regras para aplicar as leis de Kirchhoff

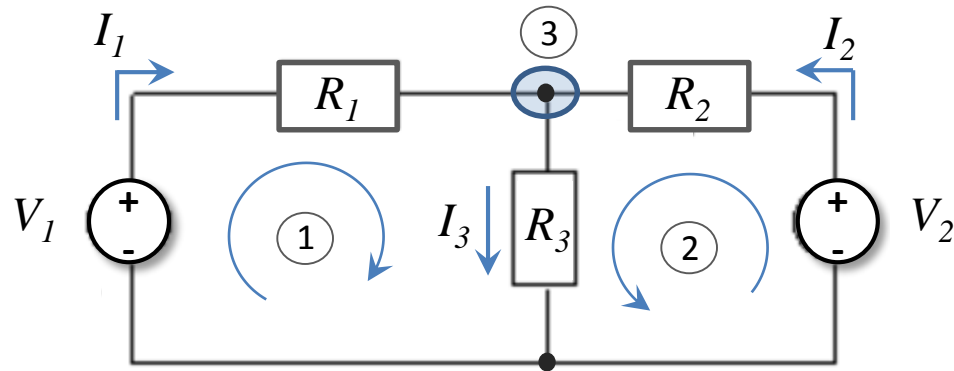


➤ ... quando um circuito tem mais do que uma fonte:

- ① *Aplicar a lei das malhas a todas as malhas que não contenham fontes de corrente*
- ② *Aplicar a lei dos nós a todos os nós menos um (normalmente a todos menos ao nó de massa ou terra)*

Análise de circuitos

... quando um circuito tem mais do que uma fonte

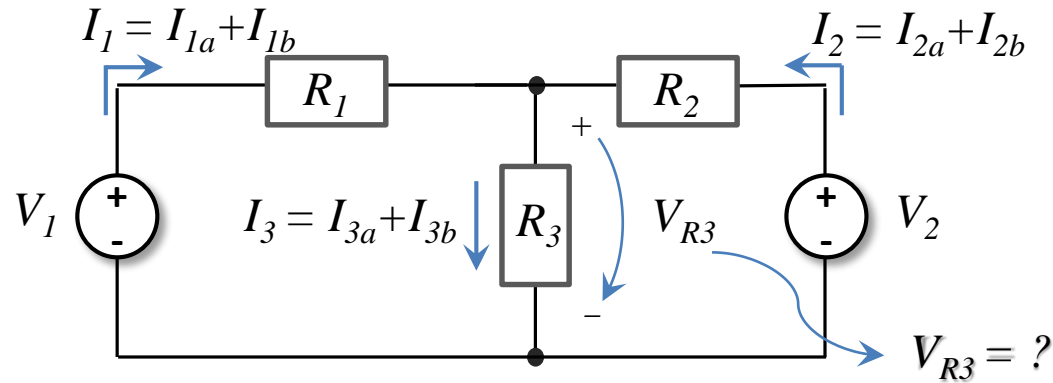


➤ ... aplicar as leis de Kirchhoff e resolver o sistema de equações

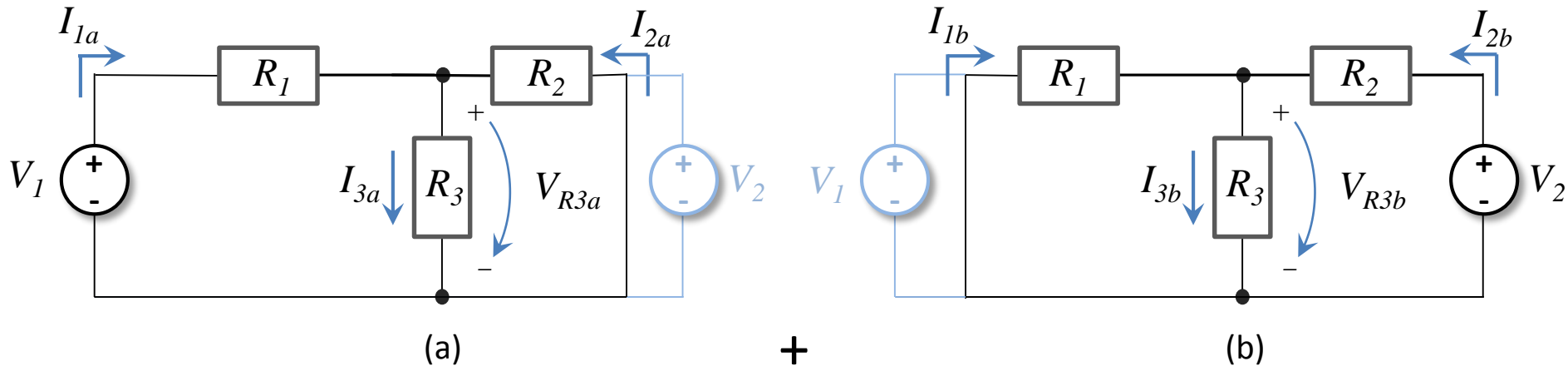
$$\left\{ \begin{array}{ll} \textcircled{1} & -V_1 + R_1 I_1 + R_3 I_3 = 0 \quad (KVL) \\ \textcircled{2} & -V_2 + R_2 I_2 + R_3 I_3 = 0 \quad (KVL) \\ \textcircled{3} & I_3 = I_1 + I_2 \quad (KCL) \end{array} \right.$$

Teorema da sobreposição

... alternativamente podemos aplicar o teorema da sobreposição



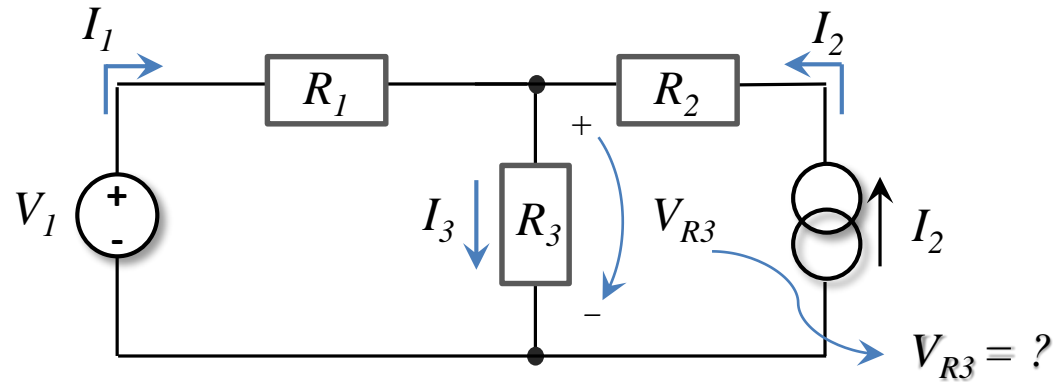
➤ num sistema linear com várias fontes podemos considerar o efeito isolado de cada uma sobre qualquer corrente ou tensão anulando todas as outras:



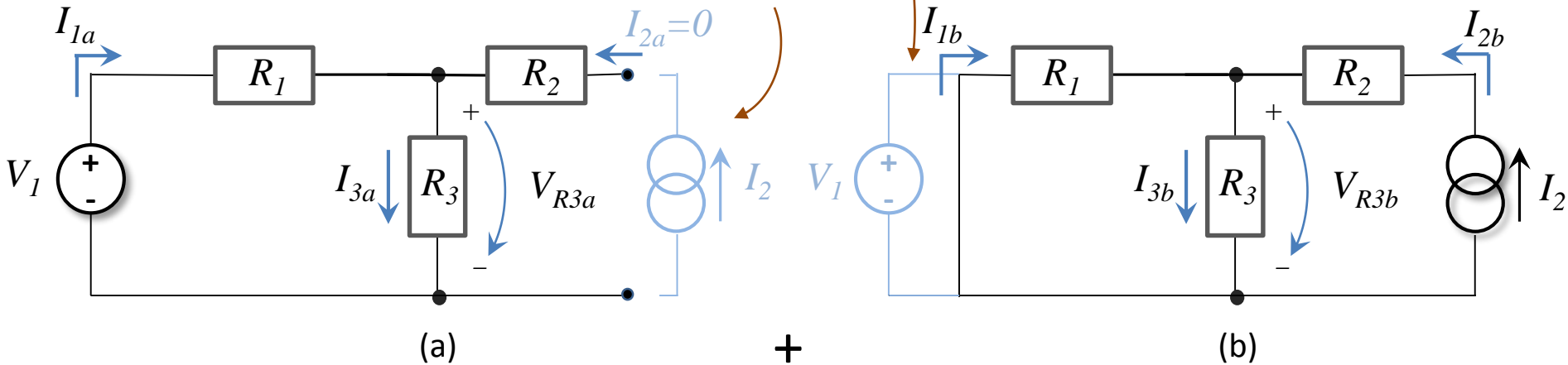
$$V_{R3} = V_{R3a} + V_{R3b}$$

Teorema da sobreposição

... exemplo com fontes de corrente e de tensão independentes



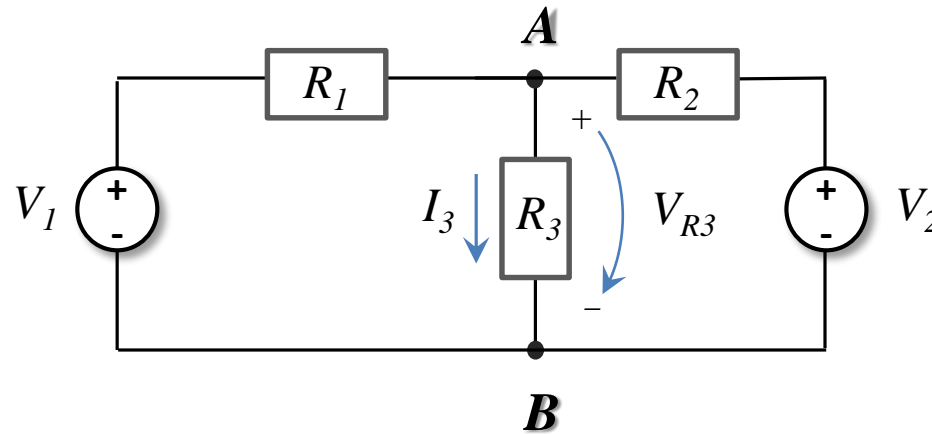
➤ anular uma fonte: $\begin{cases} V = 0 \text{ (curto-circuito)} \\ I = 0 \text{ (circuito aberto)} \end{cases}$



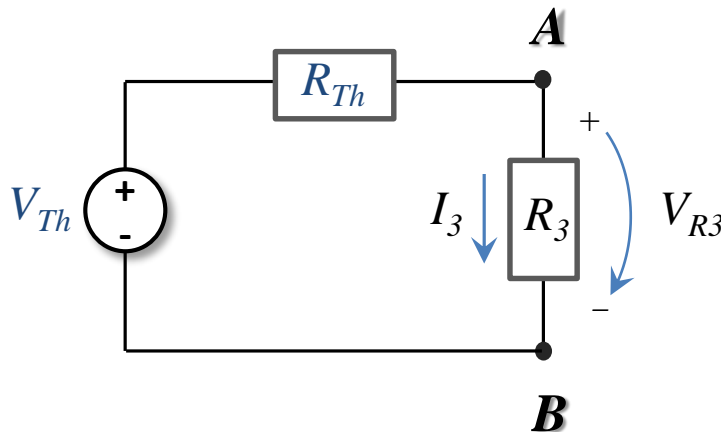
$$V_{R3} = V_{R3a} + V_{R3b}$$

Teorema de Thévenin

... designa-se como circuito equivalente de Thévenin aos terminais AB



- ...o circuito equivalente composto por uma fonte de tensão V_{Th} e uma resistência equivalente R_{Th} que permite analisar o comportamento aos terminais AB

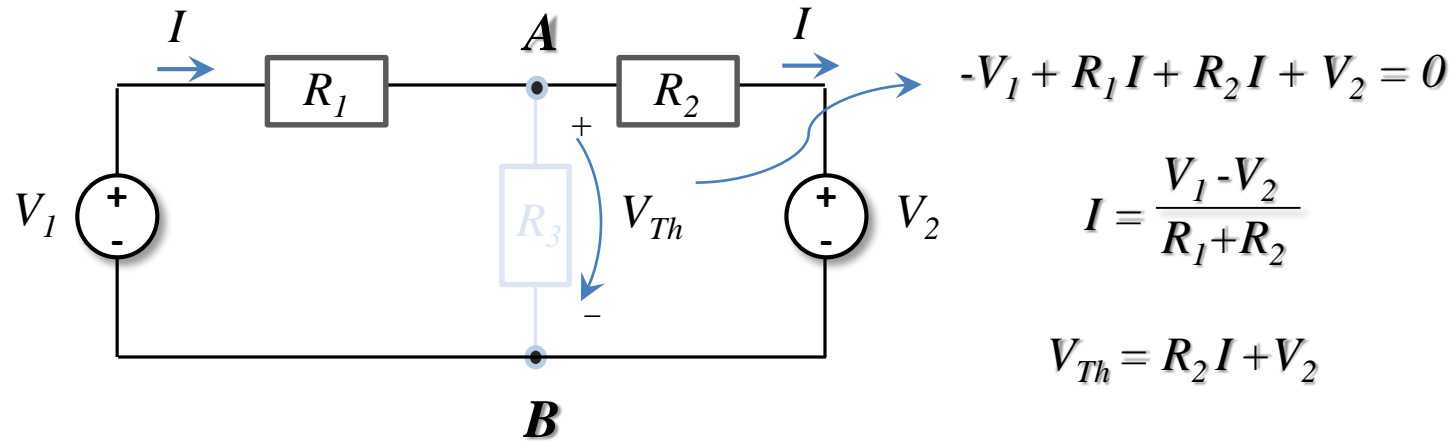


$$V_{Th} = ?$$

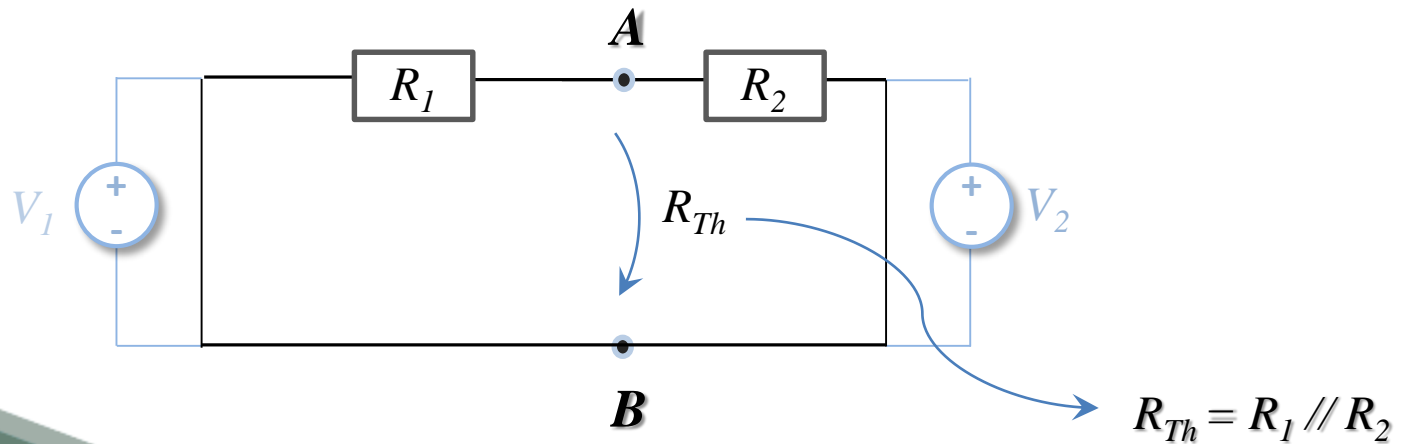
$$R_{Th} = ?$$

Teorema de Thévenin

... V_{Th} é dada pela tensão aos terminais AB (em aberto)

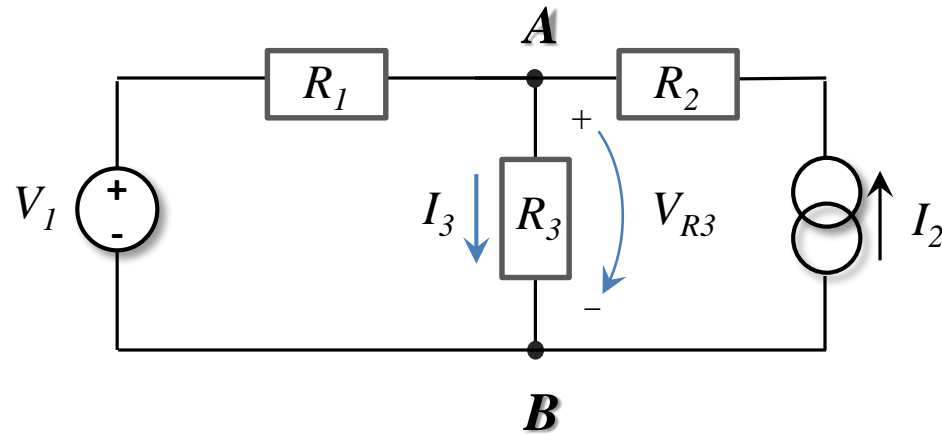


➤ R_{Th} é a impedância equivalente aos terminais AB (em aberto) (calculada anulando as fontes independentes)

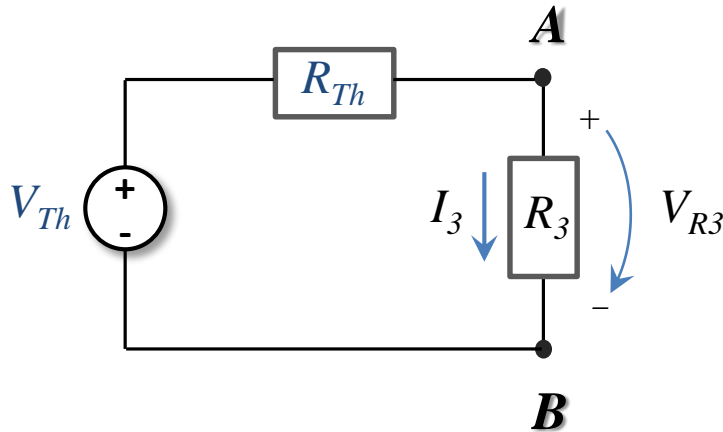


Teorema de Thévenin

... exemplo com fontes de corrente e de tensão independentes



➤ o circuito equivalente de Thévenin aos terminais AB, será:

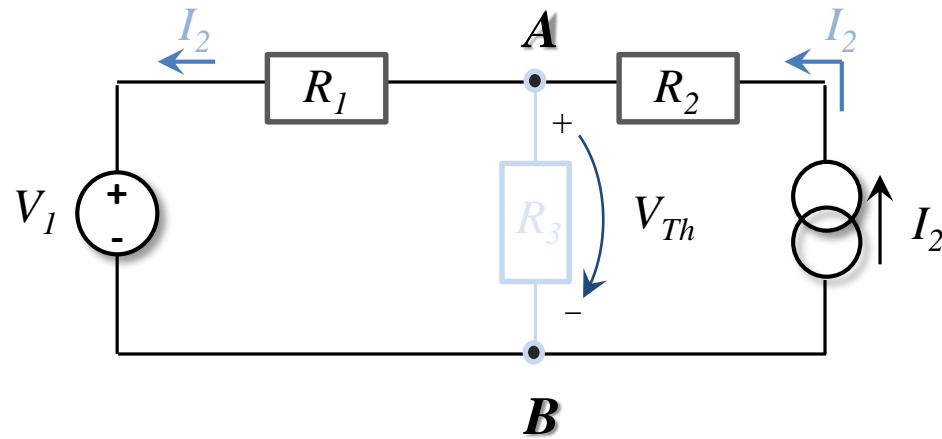


$$V_{Th} = ?$$

$$R_{Th} = ?$$

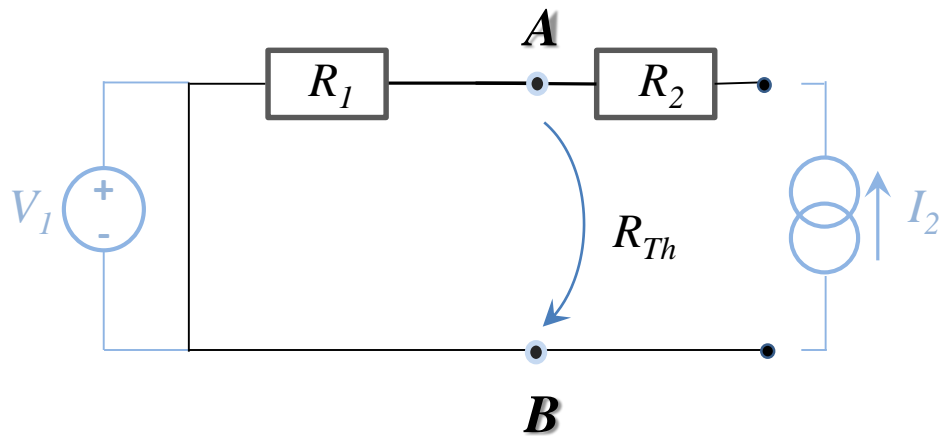
Teorema de Thévenin

... cálculo de V_{Th}



$$V_{Th} = R_1 I_2 + V_1$$

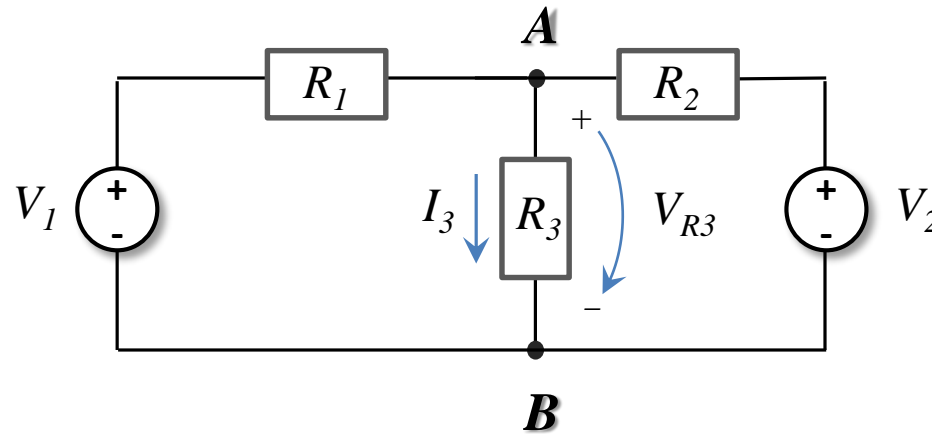
... e de R_{Th}



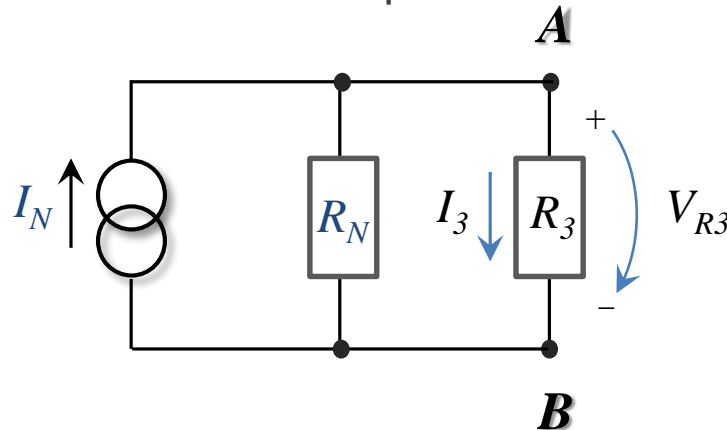
$$R_{Th} = R_1$$

Teorema de Norton

... designa-se como circuito equivalente de Norton aos terminais AB



- o circuito composto por uma fonte de corrente I_N e uma impedância equivalente R_N que permite analisar o comportamento do circuito original aos terminais AB

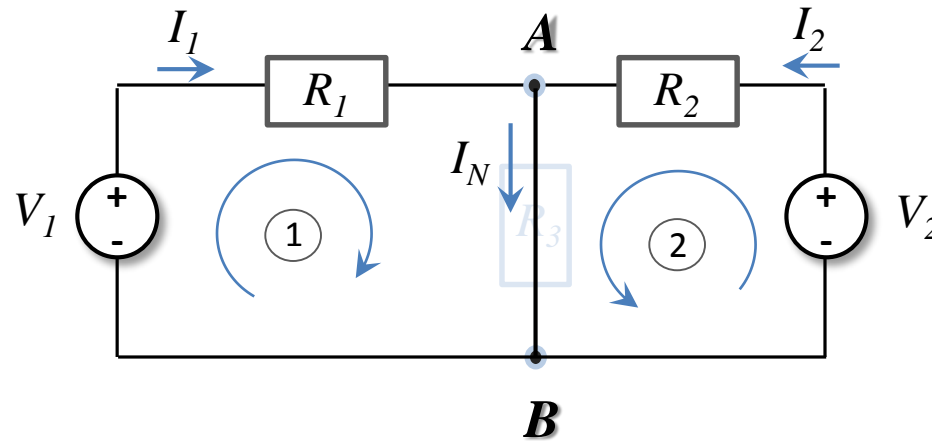


$$I_N = ?$$

$$R_N = ?$$

Teorema de Norton

... I_N é dada pela corrente aos terminais AB (em curto-circuito)

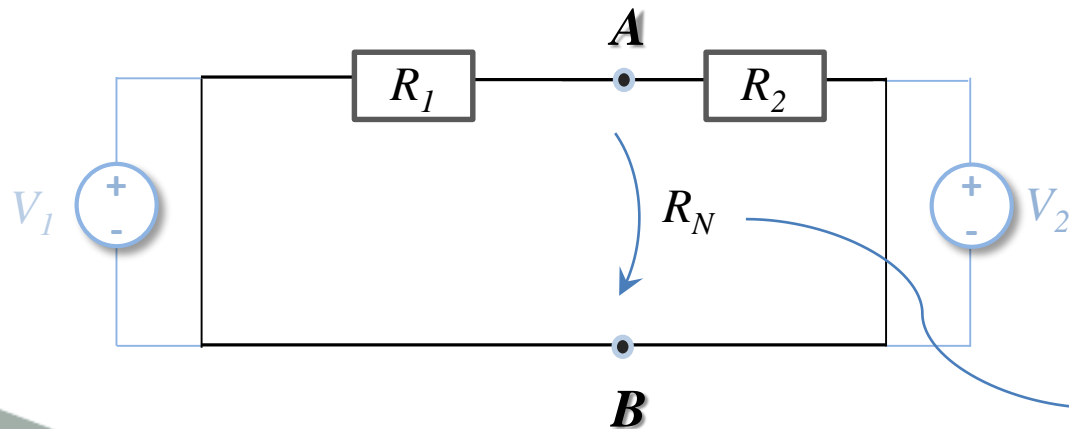


$$\textcircled{1} \quad -V_1 + R_1 I_1 = 0$$

$$\textcircled{2} \quad -V_2 + R_2 I_2 = 0$$

$$I_N = I_1 + I_2$$

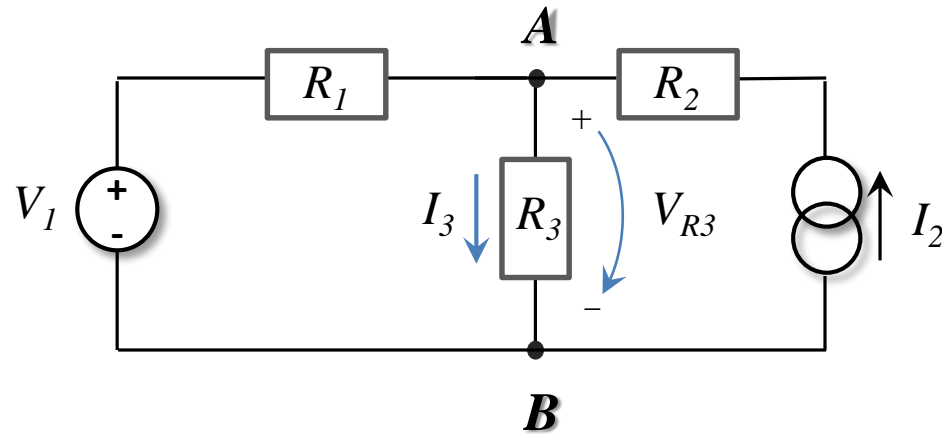
➤ R_N é a impedância equivalente aos terminais AB (em aberto)
(é igual à resistência equivalente de Thévenin)



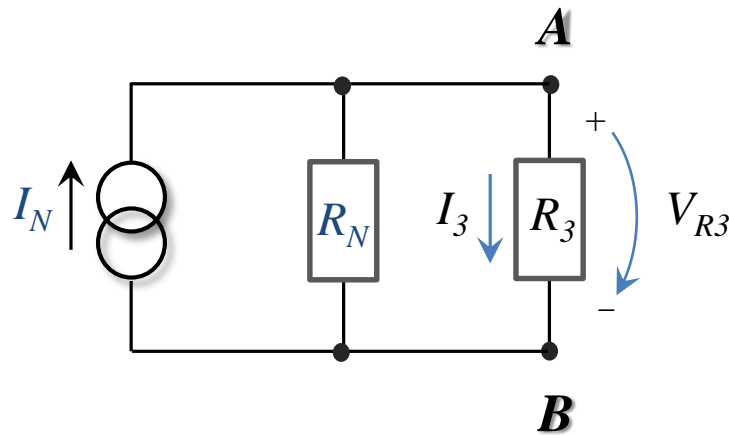
$$R_N = R_1 // R_2$$

Teorema de Norton

... exemplo com fontes de corrente e de tensão independentes



➤ o circuito equivalente de Norton aos terminais AB, será:

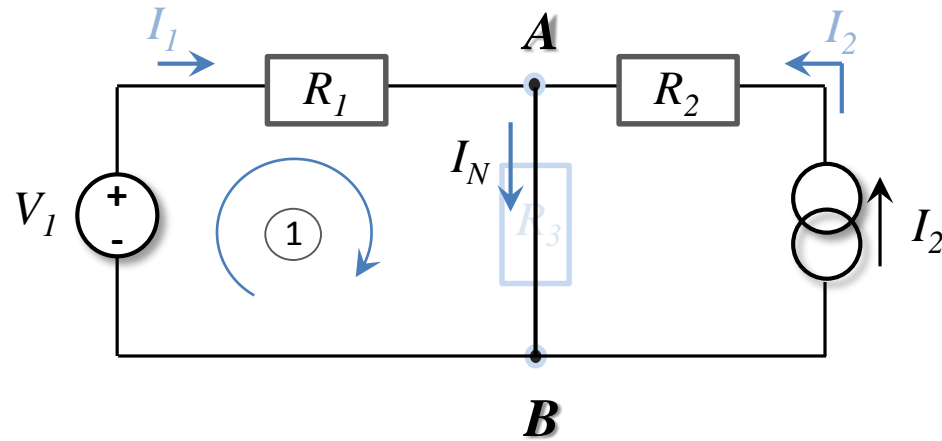


$$I_N = ?$$

$$R_N = ?$$

Teorema de Norton

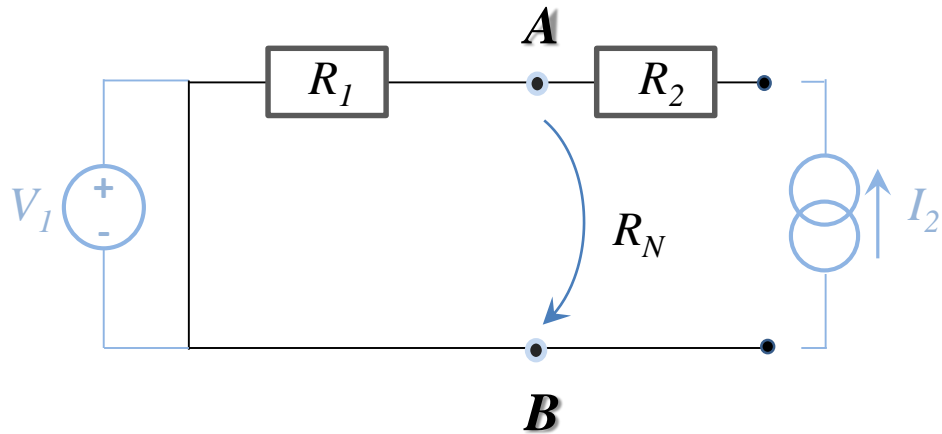
... cálculo de I_N



$$\textcircled{1} \quad -V_1 + R_1 I_1 = 0$$

$$I_N = V_1 / R_1 + I_2$$

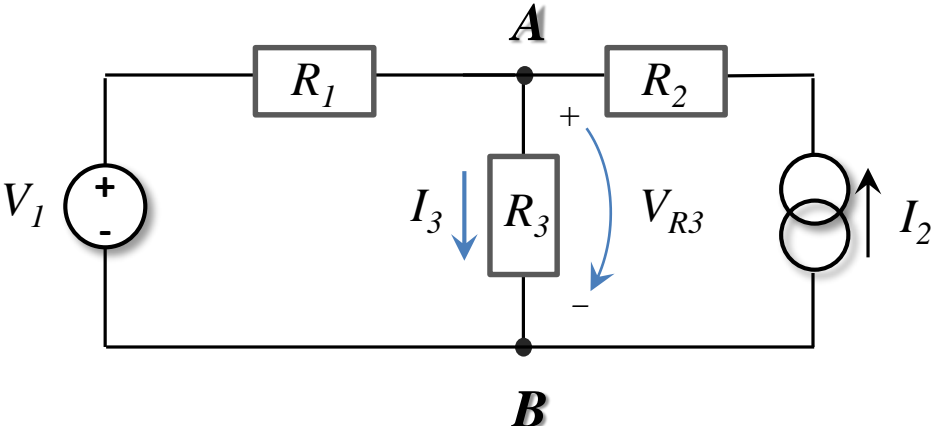
... e de R_N



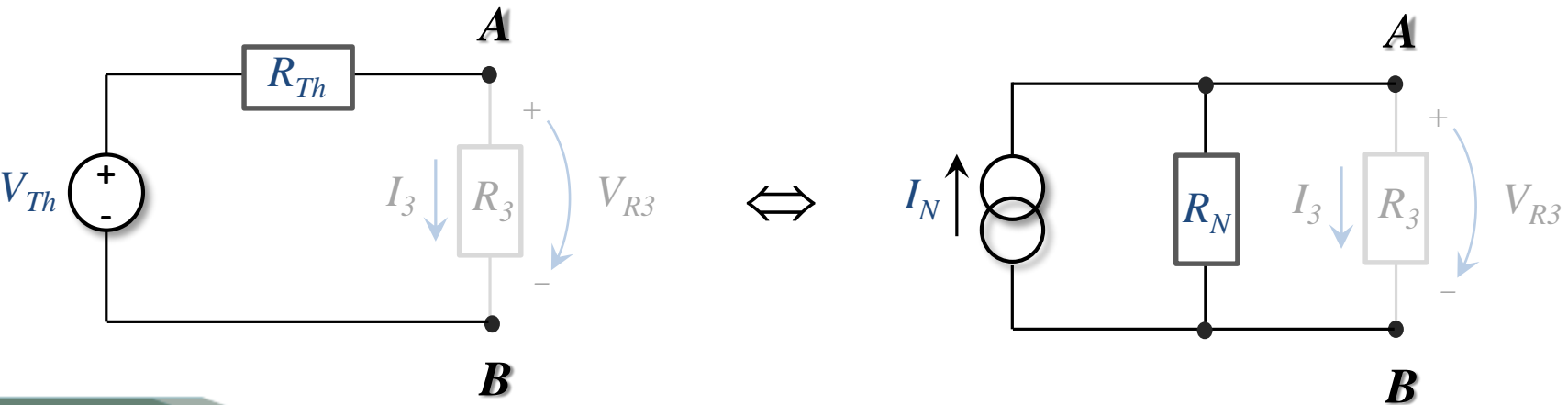
$$R_N = R_1$$

Circuitos equivalentes de Thévenin e Norton

... para qualquer circuito (exemplo)



➤ ... equivalência entre os circuitos de **Thévenin** e de **Norton** aos terminais AB:

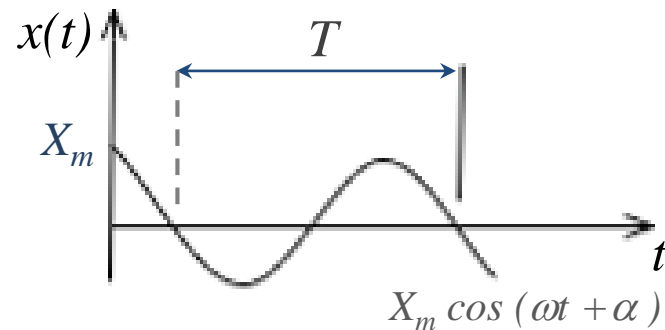


$$\begin{cases} I_N = V_{Th} / R_{Th} \\ R_{Th} = R_N \end{cases}$$

Regime forçado sinusoidal

- Para estudar a resposta de um circuito em corrente alternada (AC) é necessário definir um modelo de análise para um estímulo sinusoidal

$$x(t) = X_m \cos(\omega t + \alpha)$$



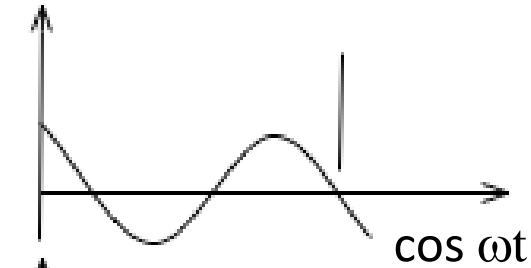
- $x(t)$ – valor instantâneo do sinal
- X_m – amplitude ou valor máximo
- ω – frequência angular, $\omega = 2\pi f$, $f = 1/T$ (T é o período)
- α – fase na origem dos tempos ($t = 0$)

$$x(t) = X_m \cos(\omega t + \alpha)$$

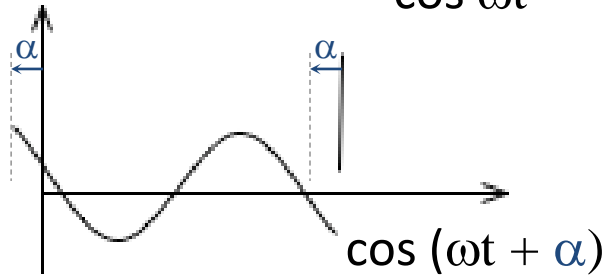
Regime forçado sinusoidal

- O valor da fase pode ser nulo, positivo ou negativo, representando respectivamente por:

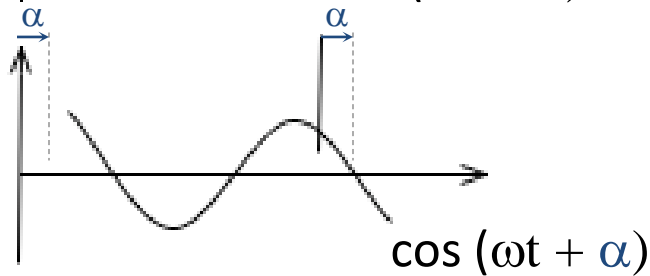
- $\alpha = 0$ (em fase)



- $\alpha > 0$ (avanço)



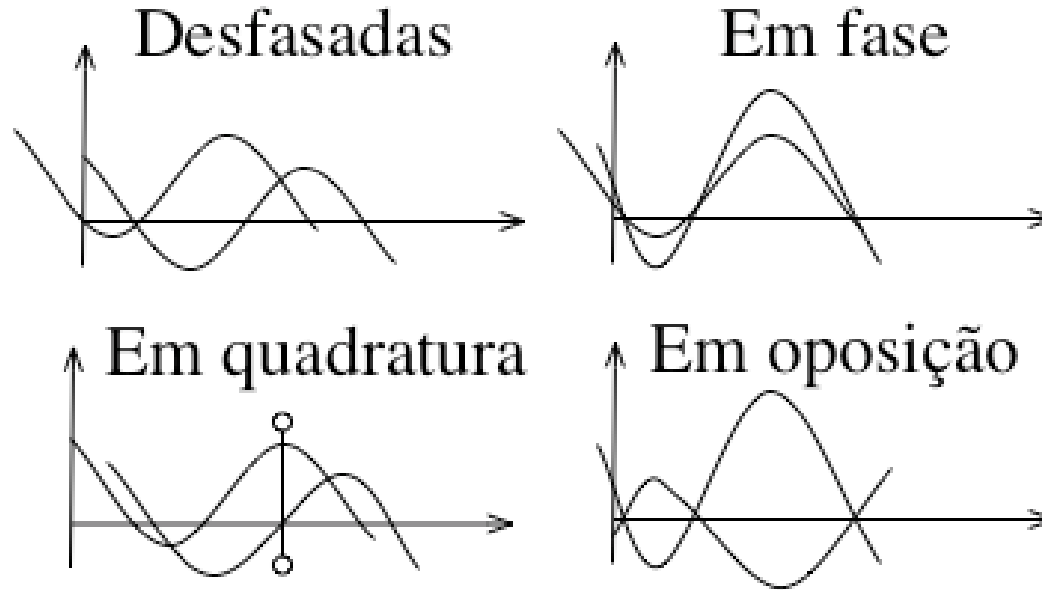
- $\alpha < 0$ (atraso)



$$x(t) = X_m \cos(\omega t + \alpha)$$

Regime forçado sinusoidal

- Definições comuns para a relação entre duas ondas:



$$x(t) = X_m \cos(\omega t + \alpha)$$

Valor médio e valor eficaz

- O valor médio de um sinal sinusoidal é nulo

$$x_{av} = \frac{1}{T} \int_0^T x(t) dt = 0$$

- O valor eficaz de um sinal sinusoidal é dado por

$$X_{ef} = \sqrt{(x)_{av}^2} = \left[\frac{1}{T} \int_0^T x^2(t) dt \right]^{1/2} = \frac{X_m}{\sqrt{2}}$$

$$x(t) = \sqrt{2} X_{ef} \cos(\omega t + \alpha)$$

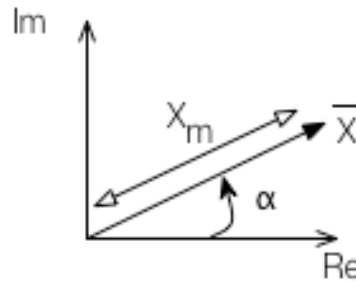
Notação complexa

- A notação complexa é uma forma de representar sinais sinusoidais e resulta da utilização da famosa **fórmula de Euler**:

$$e^{j\theta} = \cos \theta + j \sin \theta$$

$$x(t) = \text{Re}[\bar{X}e^{j\omega t}]$$

$$\bar{X} = X_m e^{j\alpha}$$



- Amplitude complexa
- Diagrama vectorial

$$x(t) = X_m \cos(\omega t + \alpha)$$

Notação complexa

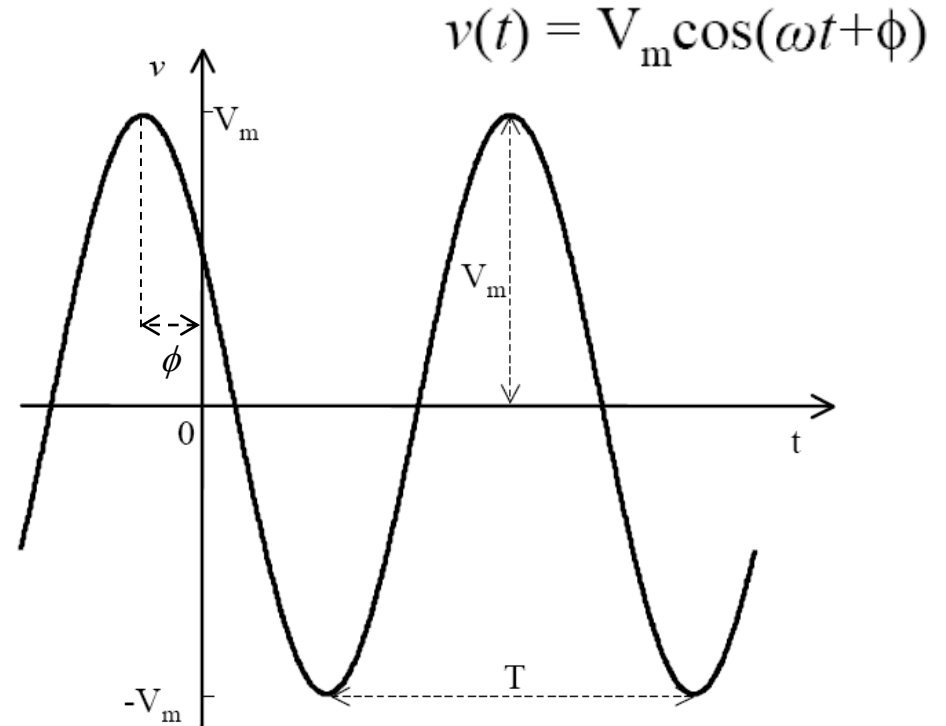
V_m – amplitude

ω – frequência angular [rad/s]

t – tempo [s]

ϕ – fase [rad]

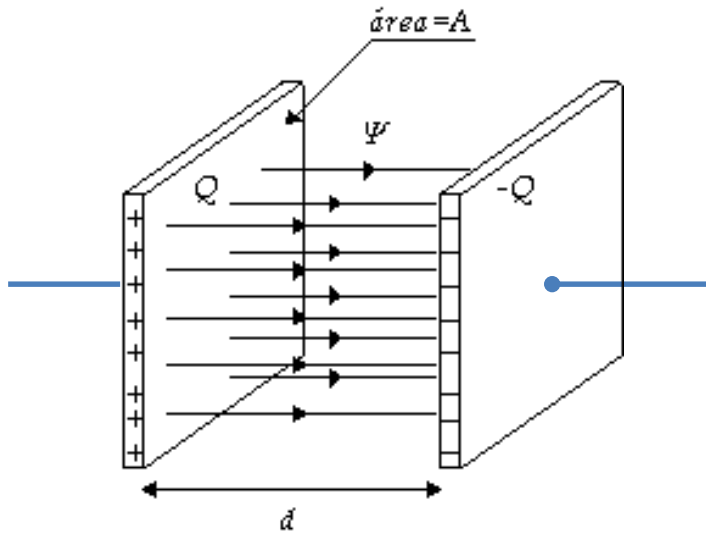
f – frequência [Hz]



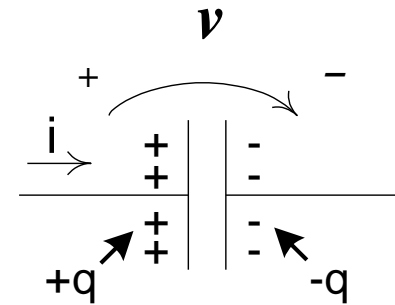
$$\bar{V} = V_m \angle \phi = V_m e^{j\phi} \quad \xrightarrow{\text{Dom. Tempo}} \quad v(t) = \text{Re} \left\{ V_m e^{j\omega t + \phi} \right\}$$

Condensador [C]

- Condensador plano (ou de placas)



$$C = \epsilon \frac{A}{d}$$



- ϵ é a constante dielétrica do isolante
- A é a área das placas
- d é a distância entre as placas

- O valor da capacidade C (F) de um condensador, é função da constante dielétrica do material isolante ϵ (F/m), da distância entre as placas d (m), e da área da sua secção A (m²)

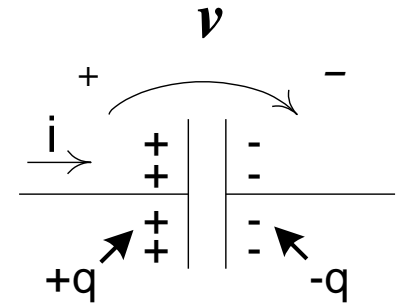
$$\text{farad [F]} = [\text{C}]/[\text{V}]$$

Condensador

- Num condensador linear, a constante C é a constante de proporcionalidade entre Q e v

$$Q = C \cdot v$$

$$C = \varepsilon \frac{A}{d}$$



$$\left. \begin{array}{l} q(t) = C \cdot v(t) \\ i(t) = \frac{dq(t)}{dt} \end{array} \right\} \Rightarrow i(t) = C \frac{dv(t)}{dt}$$

$$I = CSV \Rightarrow \frac{V}{I} = \frac{1}{SC} = Z_C$$

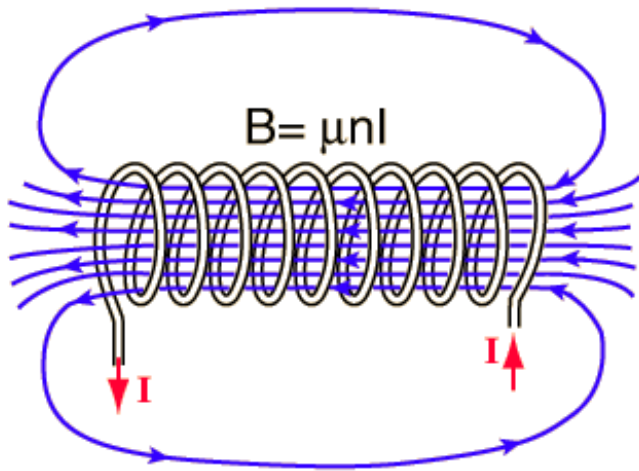
$$\bar{Z}_C = \frac{1}{j\omega C} = \frac{1}{j2\pi fC}$$

energia armazenada num condensador

$$E_C(t) = \frac{1}{2} C \cdot v^2(t) \quad [\text{J}]$$

Bobine [L]

- Indutância de um solenóide



$$L = \frac{\mu \cdot N^2 \cdot A}{l}$$

- μ (H/m) é a permeabilidade do núcleo
- l (m) é o comprimento do solenóide
- A (m²) é a área de uma espira
- N é o número de espiras

- Valor da indutância L (H) ou coeficiente de auto-indução de uma bobine formada por um fio condutor enrolado num núcleo magnético

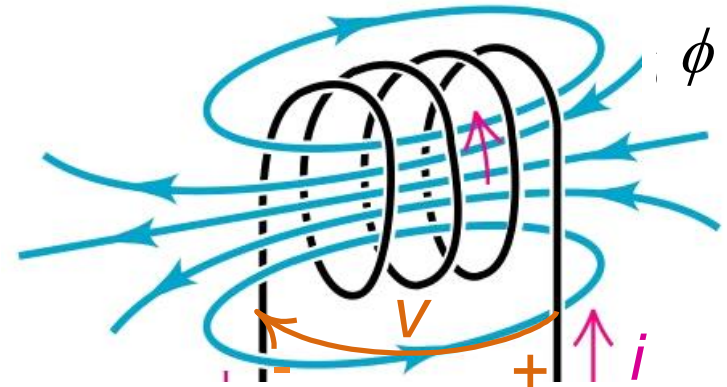
$$\text{henry [H]} = [\text{Wb}]/[\text{A}]$$

Bobine

- Numa bobine linear, a constante L é a constante de proporcionalidade entre o fluxo magnético ϕ e a corrente i

$$\phi = L \cdot i$$

$$\left. \begin{array}{l} \phi(t) = L \cdot i(t) \\ v(t) = \frac{d\phi(t)}{dt} \end{array} \right\} \Rightarrow v(t) = L \frac{di(t)}{dt}$$



$$V = LSI \Rightarrow \frac{V}{I} = SL = Z_L$$

$$\bar{Z}_L = j\omega L = j2\pi fL$$

energia armazenada numa bobine

$$E_L(t) = \frac{1}{2} L \cdot i^2(t) \quad [\text{J}]$$

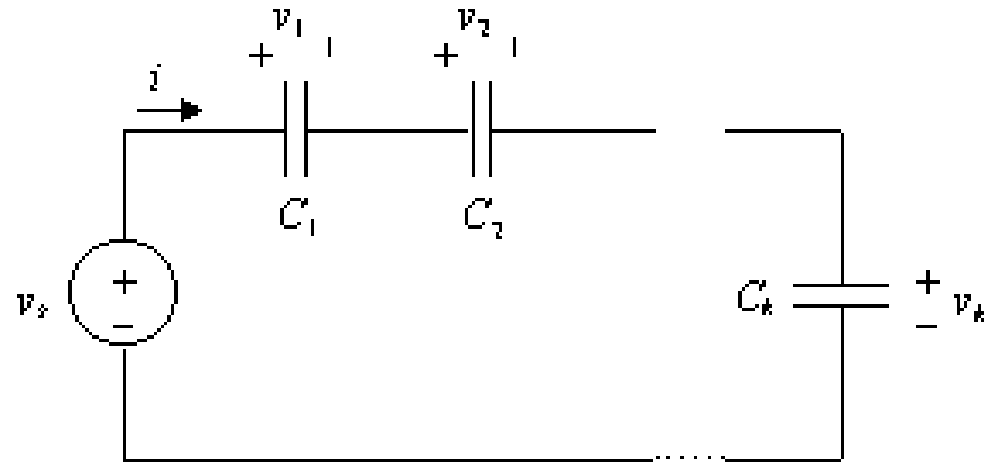
Associação de condensadores

➤ em série

$$v_s = v_1 + v_2 + \dots + v_k$$

$$v_s = \left(\frac{1}{C_1} + \frac{1}{C_2} + \dots + \frac{1}{C_k} \right) \int^t i(\tau) d\tau$$

$$C_{\text{série}} = \frac{1}{\left(\frac{1}{C_1} + \frac{1}{C_2} + \dots + \frac{1}{C_k} \right)}$$

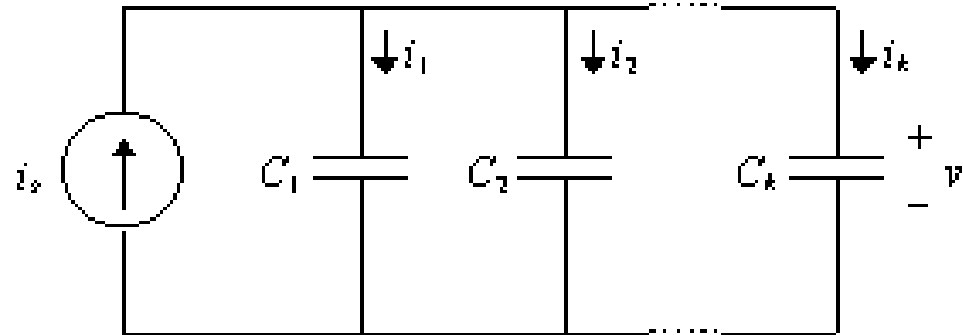


➤ em paralelo

$$i_s = i_1 + i_2 + \dots + i_k$$

$$i_s = C_1 \frac{dv}{dt} + C_2 \frac{dv}{dt} + \dots + C_k \frac{dv}{dt}$$

$$C_{\text{paralelo}} = C_1 + C_2 + \dots + C_k$$



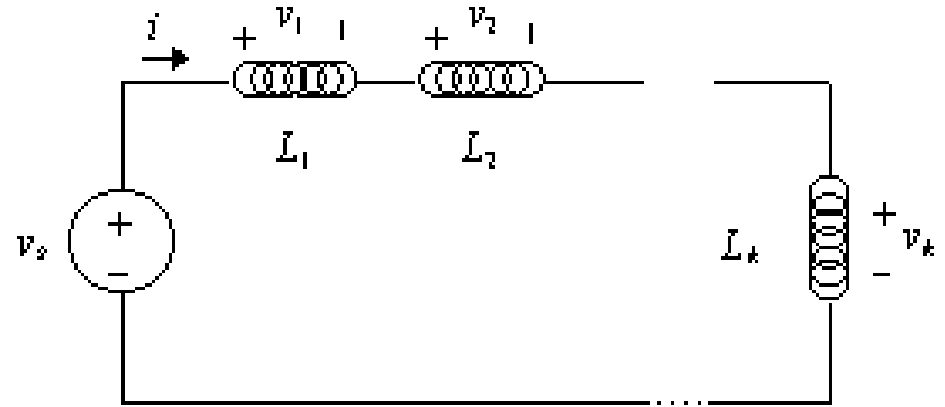
Associação de bobines

➤ em série

$$v_s = v_1 + v_2 + \dots + v_k$$

$$v_s = L_1 \frac{di}{dt} + L_2 \frac{di}{dt} + \dots + L_k \frac{di}{dt}$$

$$L_{\text{série}} = L_1 + L_2 + \dots + L_k$$

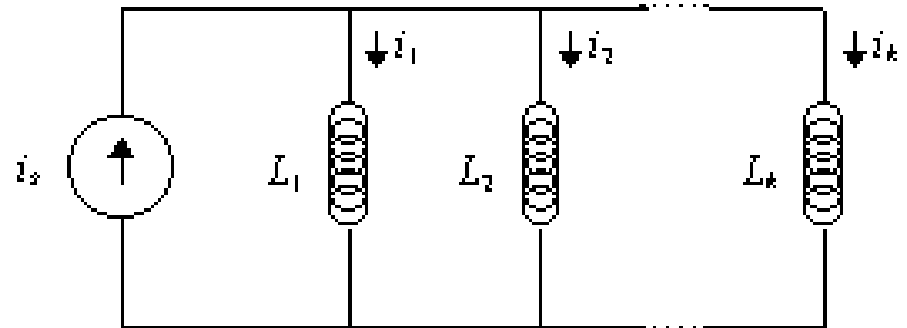


➤ em paralelo

$$i_s = i_1 + i_2 + \dots + i_k$$

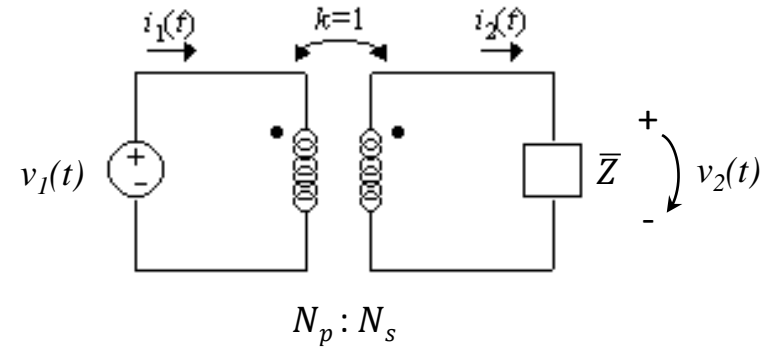
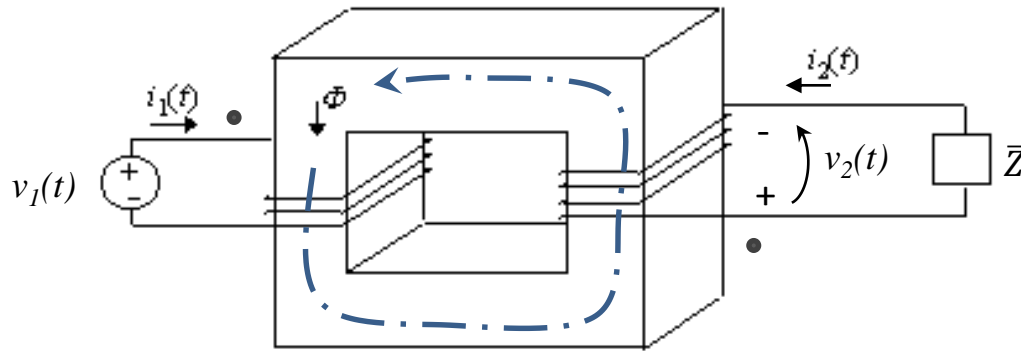
$$i_s(t) = \left(\frac{1}{L_1} + \frac{1}{L_2} + \dots + \frac{1}{L_k} \right) \int^t v(\tau) d\tau$$

$$L_{\text{paralelo}} = \frac{1}{\left(\frac{1}{L_1} + \frac{1}{L_2} + \dots + \frac{1}{L_k} \right)}$$



Transformador

- é um dispositivo formado pelo acoplamento de duas bobinas através de um núcleo de elevada permeabilidade magnética



- Um **transformador ideal** transfere energia (ou potência) entre circuitos separados galvanicamente, permitindo controlar os valores (e sentidos) da corrente e da tensão de acordo com as seguintes equações:

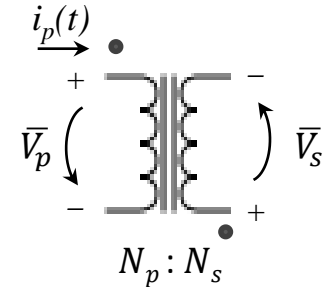
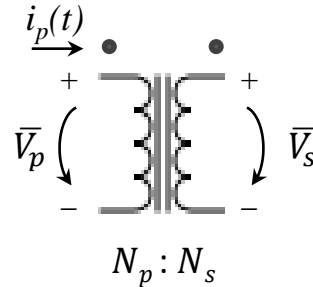
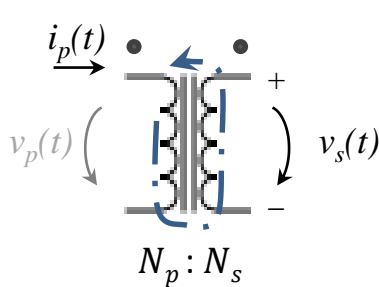
$$v_2 = \frac{N_2}{N_1} v_1 \quad \wedge \quad i_2 = \frac{N_1}{N_2} i_1$$

- Símbolo eléctrico:

$$p_1 = p_2 = i_1 \cdot v_1 = i_2 \cdot v_2$$

Transformador

- Convenção:
o ponto do lado esquerdo convencionou a entrada de corrente no primário que origina tensão positiva no ponto do lado direito do secundário



- num transformador ideal não há perdas e o acoplamento é perfeito ($k=1$)

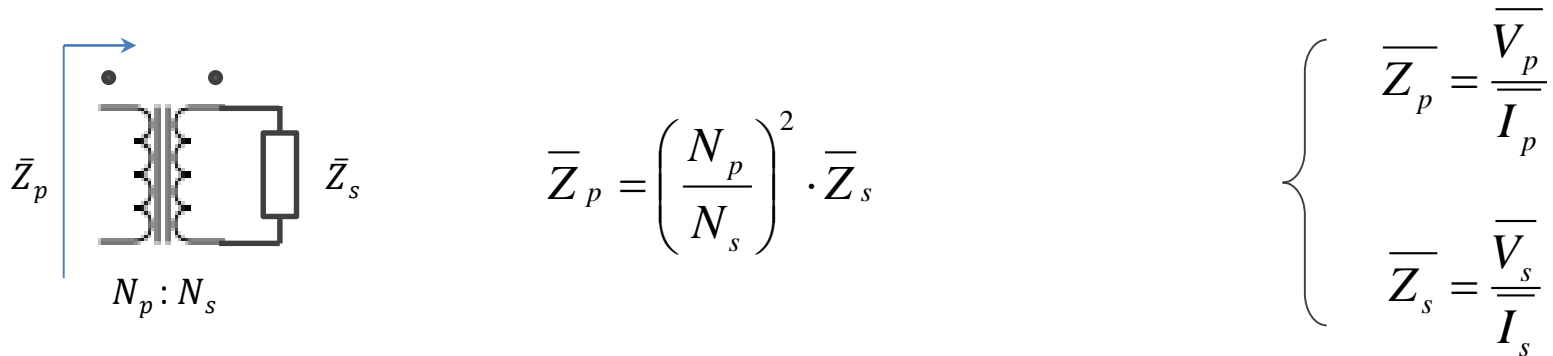
$$\bar{V}_s = \frac{N_s}{N_p} \cdot \bar{V}_p \quad \wedge \quad \bar{I}_s = \frac{N_p}{N_s} \cdot \bar{I}_p$$

$$p_p = p_s = i_p \cdot v_p = i_s \cdot v_s$$

Transformador

➤ Adaptação de impedância:

Impedância equivalente vista do primário \bar{Z}_p



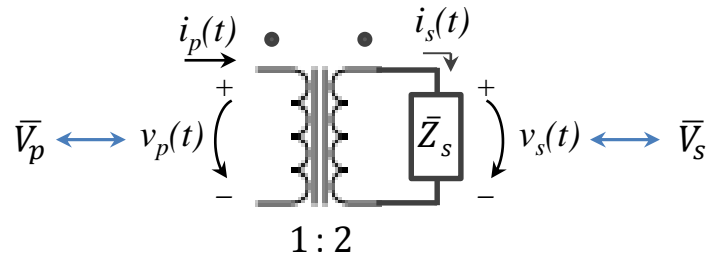
... dado que:

$$\bar{Z}_p = \frac{\bar{V}_p}{\bar{I}_p} = \frac{\frac{N_p}{N_s} \cdot \bar{V}_s}{\frac{N_s}{N_p} \cdot \bar{I}_s} = \left(\frac{N_p}{N_s} \right)^2 \cdot \bar{Z}_s \quad \Leftrightarrow \quad \bar{V}_s = \frac{N_s}{N_p} \cdot \bar{V}_p \quad \wedge \quad \bar{I}_s = \frac{N_p}{N_s} \cdot \bar{I}_p$$

$$p_p = p_s = i_p \cdot v_p = i_s \cdot v_s$$

Transformador

- exemplo de um transformador ideal (duplicador de tensão – *step-up*):

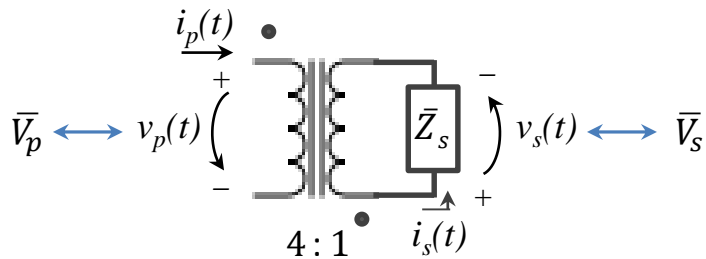


$$\bar{V}_s = 2 \cdot \bar{V}_p \quad \longleftrightarrow \quad v_s(t) = 2 \cdot v_p(t)$$

$$\bar{I}_s = \frac{1}{2} \cdot \bar{I}_p \quad \longleftrightarrow \quad i_s(t) = \frac{1}{2} \cdot i_p(t)$$

$$\bar{Z}_p = \left(\frac{1}{2}\right)^2 \cdot \bar{Z}_s$$

- exemplo de um transformador ideal *step-down* com inversão de polaridade



$$\bar{V}_s = \frac{1}{4} \cdot \bar{V}_p \quad \longleftrightarrow \quad v_s(t) = \frac{1}{4} \cdot v_p(t)$$

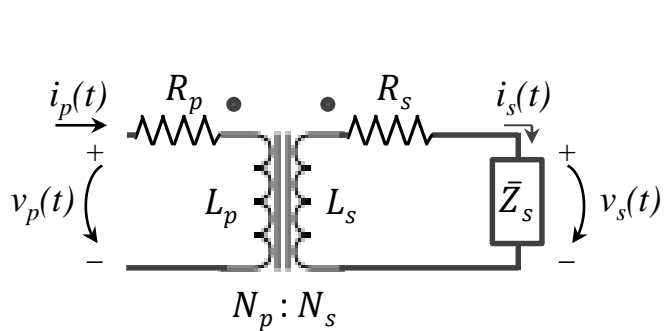
$$\bar{I}_s = 4 \cdot \bar{I}_p \quad \longleftrightarrow \quad i_s(t) = 4 \cdot i_p(t)$$

$$\bar{Z}_p = (4)^2 \cdot \bar{Z}_s$$

$$p_p = p_s = i_p \cdot v_p = i_s \cdot v_s$$

Transformador

- exemplo de um transformador não-ideal



$$v_p = L_p \frac{\partial i_p}{\partial t} \longleftrightarrow L_p - \text{Coef. auto - indução (prim.)}$$

$$v_s = L_s \frac{\partial i_s}{\partial t} \longleftrightarrow L_s - \text{Coef. auto - indução (secund.)}$$

$$\left\{ \begin{array}{l} v_s = L_M \frac{\partial i_p}{\partial t} \\ v_p = L_M \frac{\partial i_s}{\partial t} \end{array} \right. \longleftrightarrow L_M - \text{Coef. indução mútua}$$

- Perdas por efeito de Joule

R_p – resistência (prim.)

R_s – resistência (secund.)

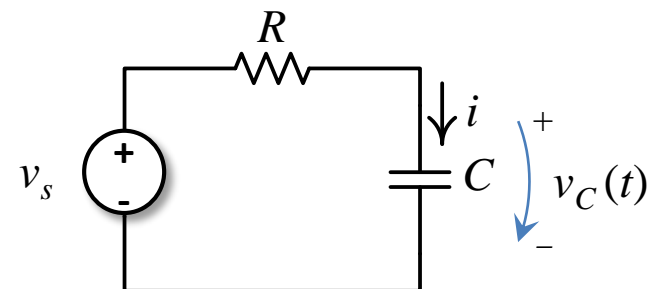
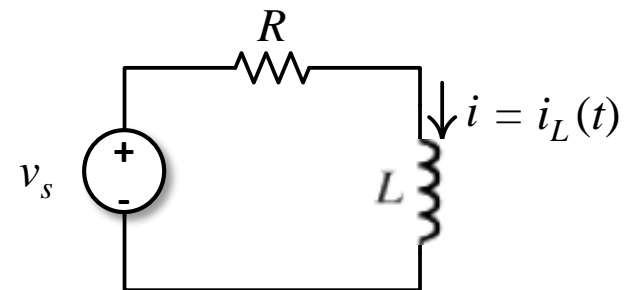
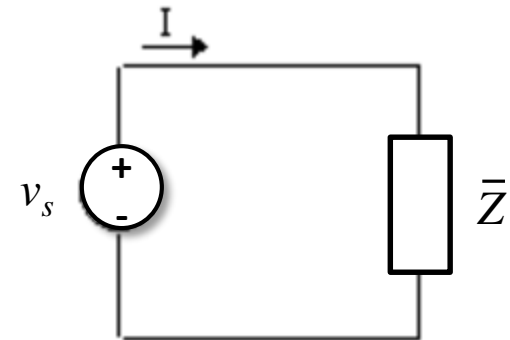
$$k = \frac{L_M}{\sqrt{L_p L_s}} \longleftrightarrow k - \text{Coef. de acoplamento}$$

Regime forçado sinusoidal

- Quando um circuito é sujeito a um estímulo, partindo de um determinado conjunto de condições iniciais, este reage segundo a sobreposição de dois comportamentos: a resposta forçada e a resposta transitória (ou natural)

$$i(t) = i_{\text{forçado}}(t) + i_{\text{natural}}(t)$$

- a resposta forçada (permanente ou estacionária) é a que prevalece após a estabilização da resposta transitória (transiente ou natural)
- a resposta transitória depende do circuito e do estado inicial dos condensadores e das bobinas, e geralmente ocorre durante um curto espaço de tempo



Resposta transitória

- Num exemplo simples, em que a impedância da carga seja uma malha RC ou RL a resposta transitória é dada pela solução da equação diferencial de 1ª ordem (a resposta natural não depende da fonte)

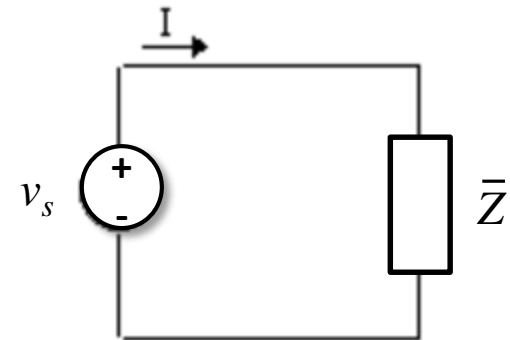
$$\frac{df(t)}{dt} + \frac{1}{\tau} f(t) = 0$$

- carga indutiva (RL)

$$\frac{di_L(t)}{dt} + \frac{R}{L} i_L(t) = 0 \quad \tau = L/R$$

- carga capacitiva (RC)

$$\frac{dv_C(t)}{dt} + \frac{1}{RC} v_C(t) = 0 \quad \tau = RC$$



$$i_L(t) = \underbrace{i_{L \text{ forçado}}}_{\text{solução forçada}} + \underbrace{B e^{-\frac{1}{\tau} t}}_{\text{solução natural}}$$

$$v_C(t) = \underbrace{v_{c \text{ forçado}}}_{\text{solução forçada}} + \underbrace{B e^{-\frac{1}{\tau} t}}_{\text{solução natural}}$$

$$f(t) = f_{\text{forçado}}(t) + f_{\text{natural}}(t)$$

Resposta forçada

- Assumindo que o estímulo é uma fonte de tensão sinusoidal, a resposta forçada também será sinusoidal, conduzindo à seguinte equação:

$$k \frac{df(t)}{dt} + f(t) = A \cos(\omega t)$$

- Carga indutiva (RL)

$$L \cdot \frac{di_L(t)}{dt} + R \cdot i_L(t) = A \cos(\omega t) \Rightarrow i_L(t) = \frac{A}{\sqrt{R^2 + (\omega L)^2}} \cos(\omega t + \phi) + \underbrace{B e^{-\frac{R}{L}t}}_{\text{solução natural}}$$

$\phi = -\tan^{-1}\left(\frac{\omega L}{R}\right)$

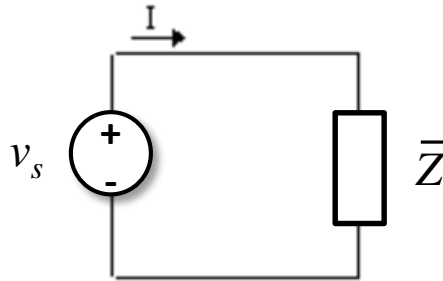
- Carga capacitiva (RC)

$$RC \cdot \frac{dv_C(t)}{dt} + v_C(t) = A \cos(\omega t) \Rightarrow v_C(t) = \frac{A}{\sqrt{R^2(\omega C)^2 + 1}} \cos(\omega t + \phi) + \underbrace{B e^{-\frac{1}{RC}t}}_{\text{solução natural}}$$

$\phi = -90^\circ + \tan^{-1}\left(\frac{1}{R \cdot \omega C}\right)$

Resposta forçada

➤ o mesmo circuito pode ser estudado no domínio da notação complexa, sendo a resposta forçada dada por:



➤ Carga indutiva (RL)

$$\bar{I}_L = \frac{\bar{V}}{R + j\omega L}$$

↔

$$i_L(t) = \frac{A}{\sqrt{R^2 + (\omega L)^2}} \cos(\omega t + \phi) + \underbrace{B e^{-\frac{R}{L}t}}_{\text{solução natural}}$$

$$\phi = -\tan^{-1}\left(\frac{\omega L}{R}\right)$$



➤ Carga capacitiva (RC)

$$\bar{V}_C = \frac{1/j\omega C}{R + 1/j\omega C} \bar{V}$$

↔

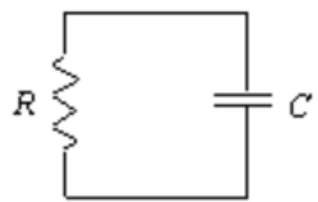
$$v_C(t) = \frac{A}{\sqrt{R^2(\omega C)^2 + 1}} \cos(\omega t + \phi) + \underbrace{B e^{-\frac{1}{RC}t}}_{\text{solução natural}}$$

$$\phi = -90^\circ + \tan^{-1}\left(\frac{1}{R \cdot \omega C}\right)$$

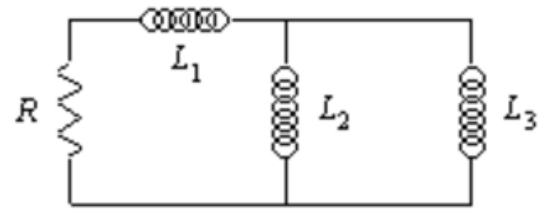


Exemplos de circuitos

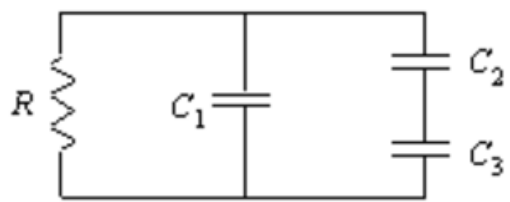
➤ 1ª ordem



(a) 1.ª ordem

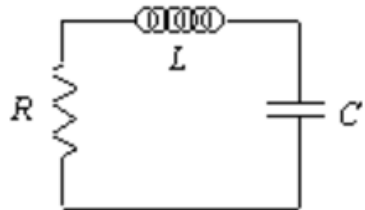


(b) 1.ª ordem

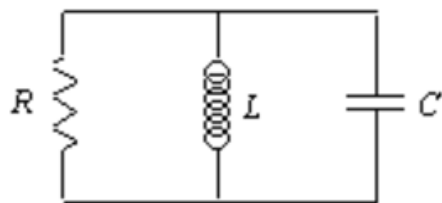


(c) 1.ª ordem

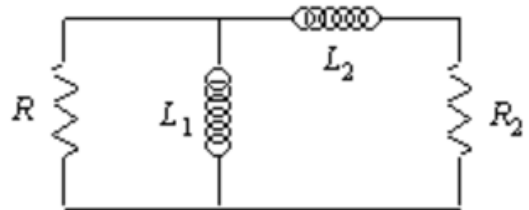
➤ 2ª ordem



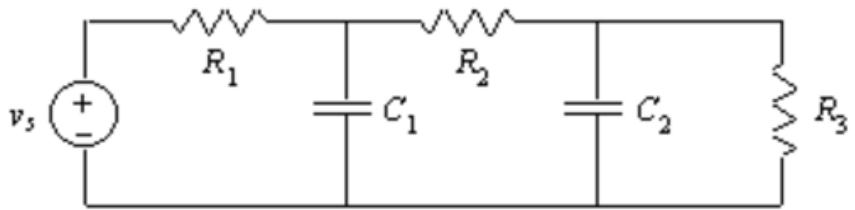
(d) 2.ª ordem



(e) 2.ª ordem



(f) 2.ª ordem

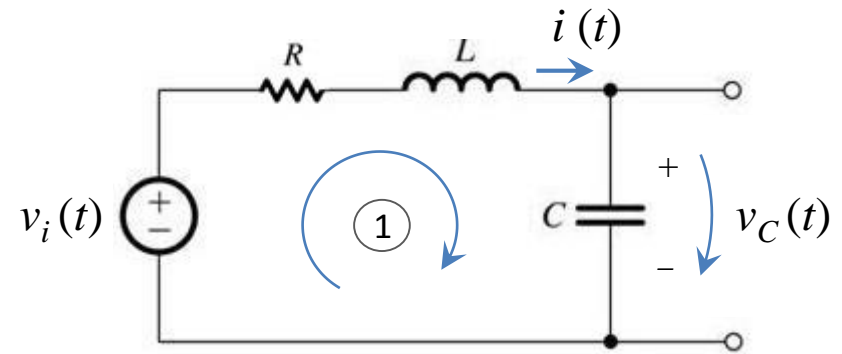


(g) 2.ª ordem

Circuito RLC série

- A análise do circuito RLC série resulta num sistema de segunda ordem

$$\frac{d^2 f(t)}{dt^2} + 2\alpha \frac{df(t)}{dt} + \omega_0^2 f(t) = v_i(t)$$



$$\frac{d^2 v_c(t)}{dt^2} + 2\alpha \frac{dv_c(t)}{dt} + \omega_0^2 v_c(t) = v_i(t)$$

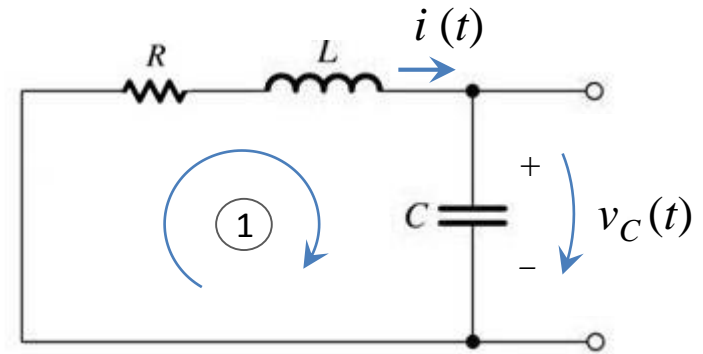
$$\begin{cases} -v_i(t) + Ri(t) + L \frac{di(t)}{dt} + v_C(t) = 0 & \textcircled{1} \\ i(t) = C \cdot \frac{dv_C(t)}{dt} \end{cases}$$

$$f(t) = f_{\text{forçado}}(t) + f_{\text{natural}}(t)$$

Circuito RLC série

➤ a resposta transitória é dada pela solução da equação homogénea (a resposta natural ou regime livre não depende da fonte)

$$\frac{d^2 f(t)}{dt^2} + 2\alpha \frac{df(t)}{dt} + \omega_0^2 f(t) = 0$$



➤ cuja solução é dada por:

$$\begin{cases} \omega_0 = \sqrt{1/LC} \\ 2\alpha = R/L \end{cases}$$

① $Ri(t) + L \frac{di(t)}{dt} + v_C(t) = 0$

$$\frac{dv_C^2(t)}{dt^2} + \frac{R}{L} \frac{dv_C(t)}{dt} + \frac{1}{LC} v_C(t) = 0$$

$f_{\text{natural}}(t)$
solução natural

$$f_{\text{natural}}(t) = \begin{cases} A_1 e^{s_1 t} + A_2 e^{s_2 t} & , \alpha > \omega_0 \\ (A_1 + A_2 t) e^{s_1 t} & , \alpha = \omega_0 \\ A e^{-\alpha t} \cdot \cos(\sqrt{\omega_0^2 - \alpha^2} \cdot t + \phi) & , \alpha < \omega_0 \end{cases}$$

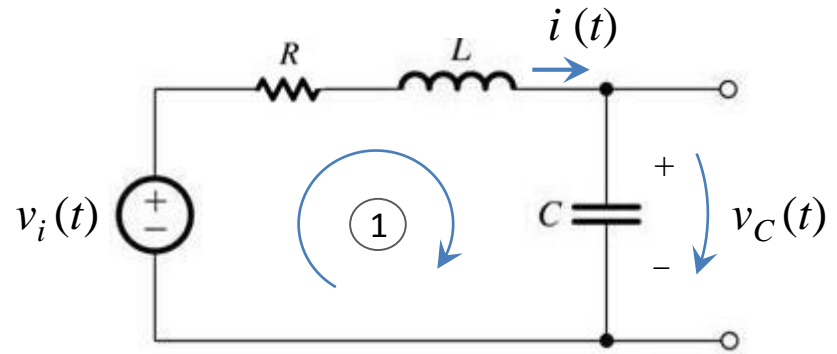
$$\begin{cases} s_1 = -\alpha + \sqrt{\alpha^2 - \omega_0^2} \\ s_2 = -\alpha - \sqrt{\alpha^2 - \omega_0^2} \end{cases}$$

$$f(t) = f_{\text{forçado}}(t) + f_{\text{natural}}(t)$$

Circuito RLC série

- à resposta transitória soma-se a solução particular da equação diferencial (ou solução do regime forçado)

$$\frac{d^2 f(t)}{dt^2} + 2\alpha \frac{df(t)}{dt} + \omega_0^2 f(t) = v_i(t)$$



- cuja solução é dada por:

$$\underbrace{f_{\text{forçado}}(t)}_{\text{solução particular}} = \frac{A}{\sqrt{R^2 + (\omega L - 1/\omega C)^2}} \cos(\omega t + \phi)$$

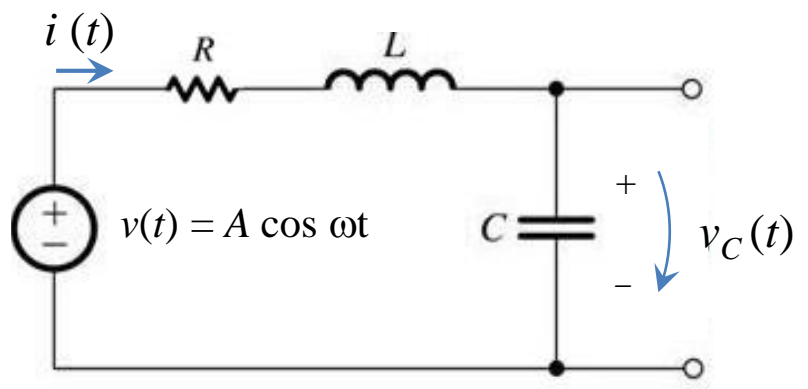
$$\textcircled{1} \quad LC \frac{dv_C^2(t)}{dt^2} + RC \cdot \frac{dv_C(t)}{dt} + v_C(t) = A \cos(\omega t)$$

$$\phi = -\tan^{-1} \left(\frac{\omega L - 1/\omega C}{R} \right)$$

$$f(t) = f_{\text{forçado}}(t) + f_{\text{natural}}(t)$$

Circuito RLC série

- a resposta total ou solução geral é dada pela soma das duas soluções regime livre + regime forçado



$$\underbrace{v_C(t)}_{\text{solução natural}} = \begin{cases} A_1 e^{s_1 t} + A_2 e^{s_2 t} & , \alpha > \omega_0 \\ (A_1 + A_2 t) e^{s_1 t} & , \alpha = \omega_0 \\ A e^{-\alpha t} \cdot \cos(\sqrt{\omega_0^2 - \alpha^2} \cdot t + \phi) & , \alpha < \omega_0 \end{cases}$$

$$\begin{cases} s_1 = -\alpha + \sqrt{\alpha^2 - \omega_0^2} \\ s_2 = -\alpha - \sqrt{\alpha^2 - \omega_0^2} \end{cases}$$

- a solução geral é dada por:

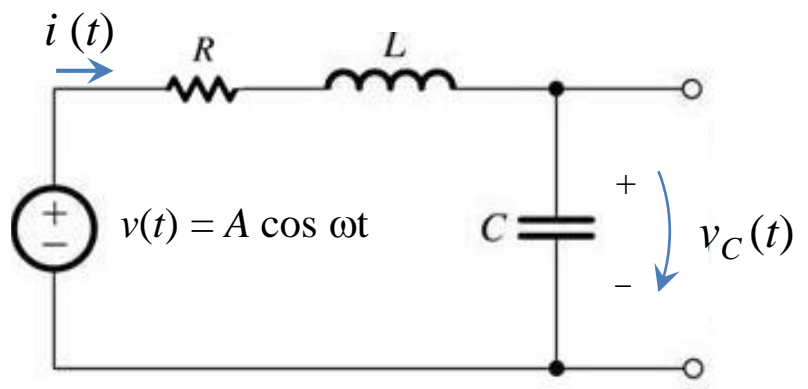
$$\underbrace{v_C(t)}_{\text{solução particular}} = \frac{A}{\sqrt{R^2 + (\omega L - 1/\omega C)^2}} \cos(\omega t + \phi)$$

$$\phi = -\tan^{-1}\left(\frac{\omega L - 1/\omega C}{R}\right)$$

$$v_C(t) = v_{C\text{forçado}}(t) + v_{C\text{natural}}(t)$$

Circuito RLC série

- o mesmo circuito pode ser estudado usando a notação complexa, sendo a resposta forçada dada por:



- Análise complexa (exemplo): $\bar{V}(t) = A \cdot \ell^{j0} = A \angle 0^\circ \quad \leftrightarrow \quad v(t) = A \cos(\omega t)$

$$\bar{I} = \frac{\bar{V}}{R + j\omega L + 1/j\omega C} \quad \leftrightarrow \quad i(t) = \frac{A}{\sqrt{R^2 + (\omega L - 1/\omega C)^2}} \cos(\omega t + \phi) + \underbrace{i_{\text{natural}}(t)}_{\text{solução natural}}$$

$$\phi = -\tan^{-1} \left(\frac{\omega L - 1/\omega C}{R} \right)$$

Impedância complexa [\bar{Z}]

- A resposta forçada de um circuito genérico, pode ser obtida através da aplicação da metodologia de análise de circuitos resistivos, usando a seguinte tabela:

Dispositivo	Domínio do tempo	Transformada Laplace	Notação complexa	Impedância (\bar{Z})	
				Laplace	complexa
Resistência	$v(t) = Ri(t)$	$V(s) = RI(s)$	$\bar{V} = R\bar{I}$	R	R
Condensador	$i(t) = C \frac{dv(t)}{dt}$	$I(s) = sCV(s)$	$\bar{V} = \frac{1}{j\omega C} \cdot \bar{I}$	$\frac{1}{sC}$	$\frac{1}{j\omega C}$
Bobina	$v(t) = L \frac{di(t)}{dt}$	$V(s) = sLI(s)$	$\bar{V} = j\omega L \cdot \bar{I}$	sL	$j\omega L$

Semicondutores

➤ Metais, não-metais e semicondutores

(Grupo IV) | Si – Silício
Ge – Germânio

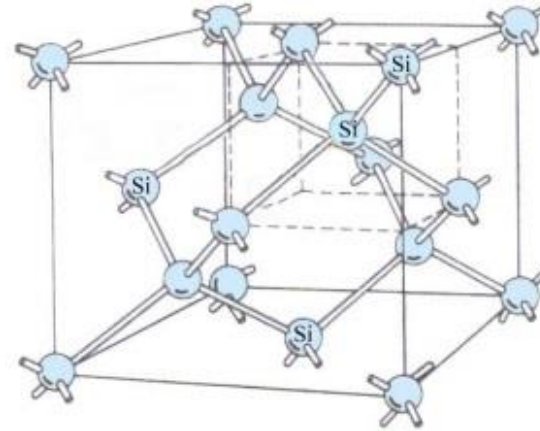
The periodic table is color-coded by groups: Metals (orange, yellow, pink, light blue), Non-metals (green), and Semiconductors (teal). A legend on the left defines these categories. A callout on the right points to Group IV, highlighting Silicon (Si) and Germanium (Ge) as semiconductors.

1	2	3	4	5	6	7	8	9	10	11	12	13	14	15	16	17	18
IA	IIA	IIIB	IVB	VB	VIB	VII B	VIII B	VIII B	VIII B	IB	IIB	IIIA	IVA	VA	VIA	VIIA	VIIIA
1 H Hidrogênio 1.00794	2 He Hélio 4.002602											5 B Boro 10.811	6 C Carbono 12.0107	7 N Nitrogênio 14.00674	8 O Oxigênio 15.9994	9 F Fluor 18.9984032	10 Ne Neônio 20.1797
3 Li Lítio 6.941	4 Be Berílio 9.012182											13 Al Alumínio 26.9815385	14 Si Silício 28.0855	15 P Fósforo 30.973761	16 S Enxofre 32.066	17 Cl Cloro 35.453	18 Ar Argônio 39.948
11 Na Sódio 22.989770	12 Mg Magnésio 24.3050											31 Ga Gálio 69.723	32 Ge Germânio 72.64	33 As Arsênio 74.92160	34 Se Selênio 78.96	35 Br Bromo 79.904	36 Kr Criptônio 83.796
19 K Potássio 39.0983	20 Ca Cálcio 40.078	21 Sc Escândio 44.955910	22 Ti Titânio 47.867	23 V Vanádio 50.9415	24 Cr Cromo 51.9961	25 Mn Manganês 54.938048	26 Fe Ferro 55.8457	27 Co Cobalto 58.933200	28 Ni Níquel 58.6934	29 Cu Cobre 63.546	30 Zn Zinco 65.409	49 In Índio 114.818	50 Sn Estanho 118.710	51 Sb Antimônio 121.760	52 Te Telúrio 127.60	53 I Iodo 126.90447	54 Xe Xenônio 131.293
37 Rb Rubídio 85.4678	38 Sr Estrôncio 87.62	39 Y Ítrio 88.90585	40 Zr Zircônio 91.224	41 Nb Níbio 92.90638	42 Mo Molibdênio 95.94	43 Tc Tecnécio (98)	44 Ru Rutênio 101.07	45 Rh Ródio 102.90550	46 Pd Paládio 106.42	47 Ag Prata 107.8682	48 Cd Cádmio 112.411	81 Tl Tálio 204.3833	82 Pb Chumbo 207.2	83 Bi Bismuto 208.98038	84 Po Polônio (209)	85 At Astato (210)	86 Rn Radônio (222)
55 Cs Césio 132.90545	56 Ba Bário 137.327	57 to 71 Lantanídeos	72 Hf Háfnio 178.49	73 Ta Tântalo 180.9479	74 W Tungstênio 183.84	75 Re Rênio 186.207	76 Os Ósmio 190.23	77 Ir Índio 192.217	78 Pt Platina 195.078	79 Au Ouro 196.96655	80 Hg Mercúrio 200.59	113 Uub Ununbium (284)	114 Uuq Ununquárium (289)	115 Uup Ununpentium (288)	116 Uuh Ununhexium (292)	117 Uus Ununseptium (293)	118 Uuo Ununoctium (294)
87 Fr Frâncio (223)	88 Ra Rádio (226)	89 to 103 Atinídeos	104 Rf Rutherfordio (261)	105 Db Dúbnio (262)	106 Sg Seabórgio (266)	107 Bh Bório (264)	108 Hs Háscio (269)	109 Mt Meitnério (268)	110 Ds Darmatádio (271)	111 Rg Roentgenio (272)	112 Uub Ununbium (285)	113 Uut Ununtrium (284)	114 Uuq Ununquárium (289)	115 Uup Ununpentium (288)	116 Uuh Ununhexium (292)	117 Uus Ununseptium (293)	118 Uuo Ununoctium (294)

Material semiconductor

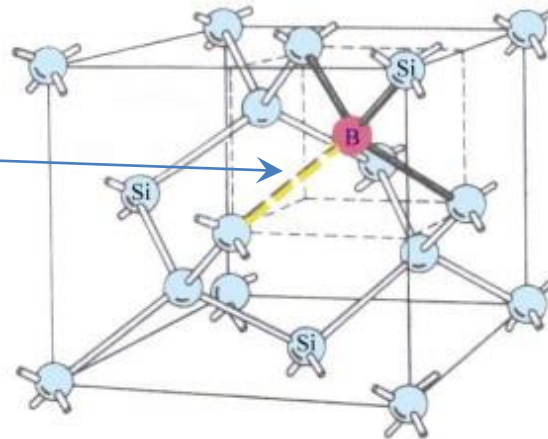
➤ Estrutura cristalina intrínseca de silício (sem impurezas)

- Isolador a 0K
- Bom condutor a 300K (ionizado)



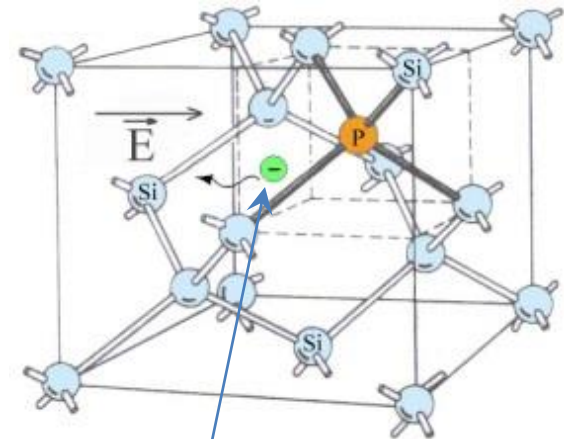
➤ Estrutura dopada

B – átomos **Boro**



(+) lacuna
Tipo P

P – átomos **Fósforo**



(-) electrão livre
Tipo N

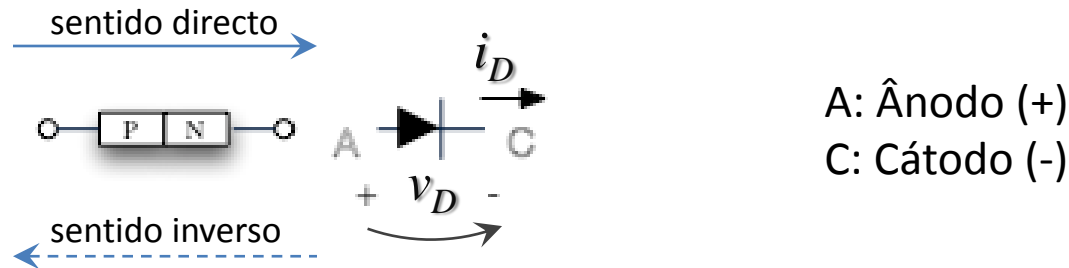
Díodo de junção bipolar

➤ Junção PN

União entre materiais semicondutores do tipo P e N

Região onde os materiais se unem -> zona de depleção

Zona de transição (criada por processo de fabrico)



... análise simplificada:

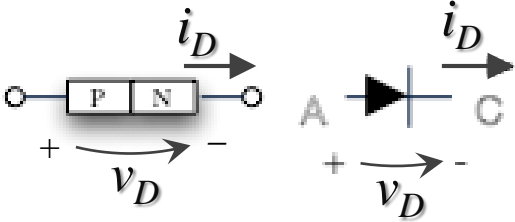
➤ Comporta-se como um interruptor direccional

ON Deixa passar corrente num sentido (directo)

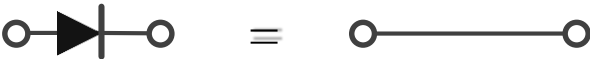
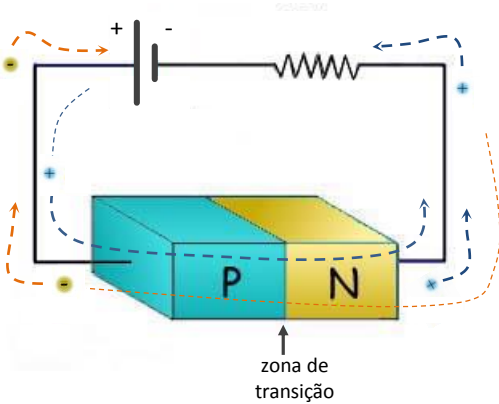
OFF Não permite passagem de corrente no outro sentido (inverso)

Díodo de junção bipolar

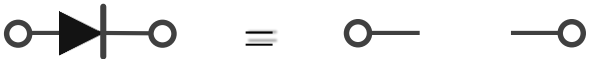
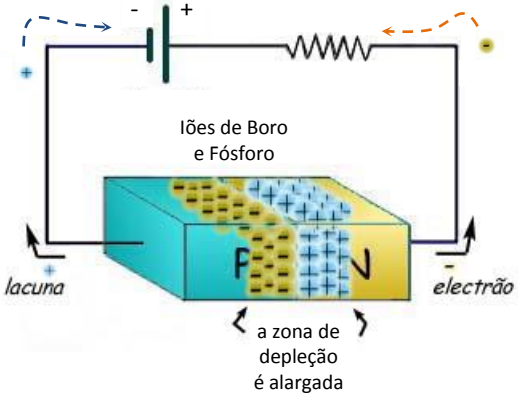
➤ zonas de funcionamento:
ON / OFF



ON (polarização directa)
Permite passagem de corrente



OFF (polarização inversa)
Não permite passagem de corrente



Díodos e LEDs

➤ Vários tipos:

LED (díodo emissor de luz)

Fotodíodo

Díodos Zener

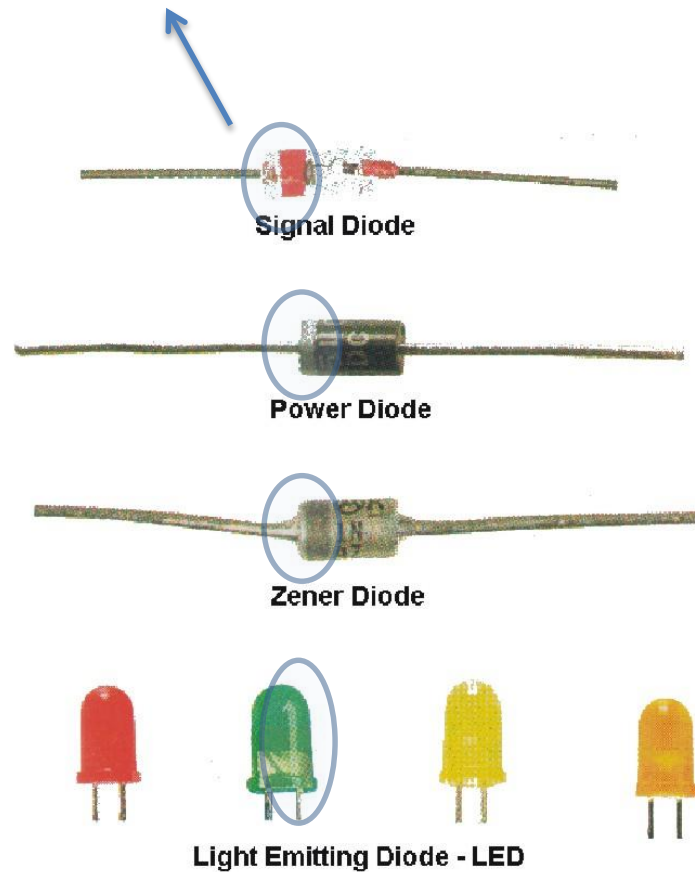
➤ Aplicações

Reguladores e limitadores

Rectificadores

- Rectificação de sinal alternado
- Conversão AC→DC

Linha desenhada indica o cátodo (-)



Característica Corrente-Tensão

➤ Característica não-linear composta por 3 zonas:

- **Directa**

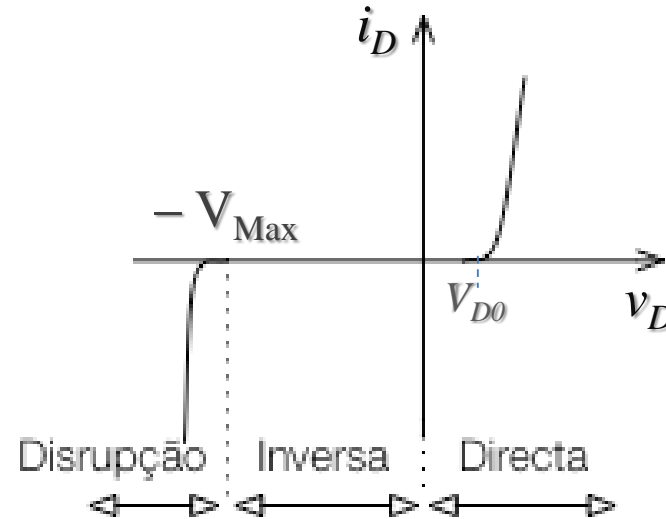
$$(v_D > 0)$$

- **Inversa**

$$(-V_{\text{Max}} < v_D < 0)$$

- **Disrupção**

$$(v_D < -V_{\text{Max}})$$



Característica Corrente-Tensão

➤ Equação do díodo

I_S corrente de saturação ($\approx 10^{-15} A$)

n coef. de emissão ($1 < n < 2$)

V_T tensão térmica ($25mV @ 20^\circ C$)

k c^{te} Boltzmann ($1.38 \cdot 10^{-23} J/K$)

T Temperatura ($T_{[K]} = T_{[^\circ C]} + 273.15$)

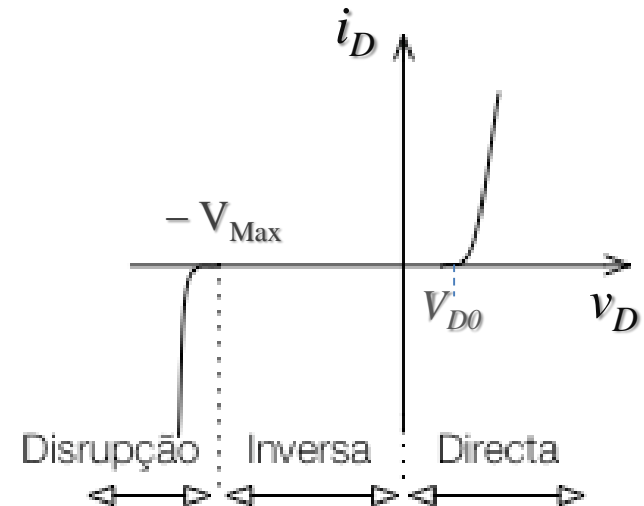
q carga electrão ($1.609 \cdot 10^{-19} C$)

$$i_D = I_S \cdot \left(e^{\frac{v_D}{nV_T}} - 1 \right)$$

$$V_T = \frac{kT}{q}$$

... aproximações:

- Zona directa: $i_D \approx I_S \cdot e^{\frac{v_D}{nV_T}}$
- Zona Inversa: $i_D \approx -I_S$



Característica Corrente-Tensão

- Dependência com a temperatura:

I_S (duplica com cada variação de $+5^\circ\text{C}$)

V_T (25mV @ 20°C)

$$i_D = I_S \cdot \left(e^{\frac{v_D}{nV_T}} - 1 \right)$$

- ... para corrente constante:

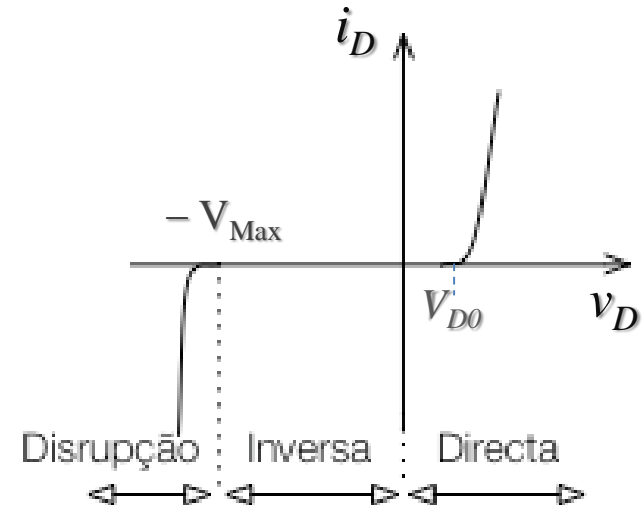
v_D diminui 2mV por cada $\Delta T = +1^\circ\text{C}$

$$V_T = \frac{kT}{q}$$

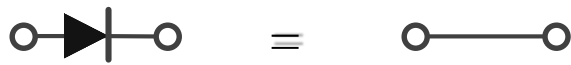
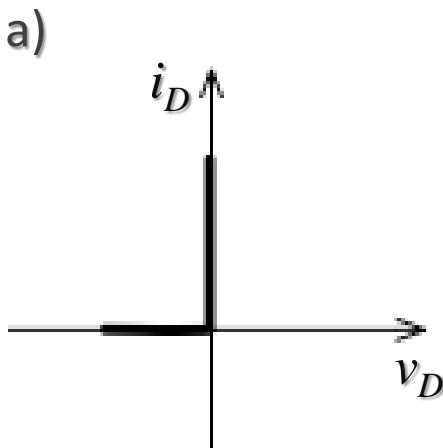
- Análise de circuitos com díodos:

Característica $i_D(v_D)$ não-linear (pouco útil)

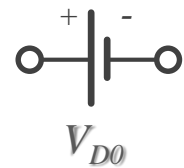
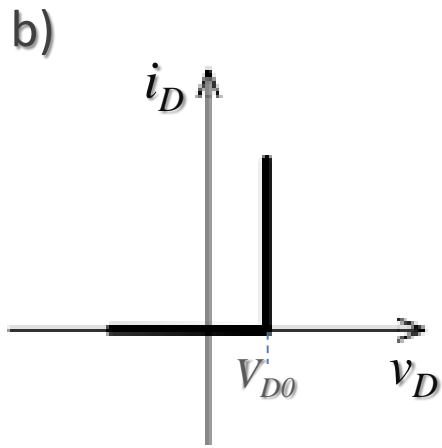
Utilizam-se modelos lineares por troços



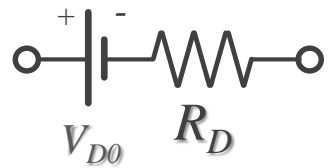
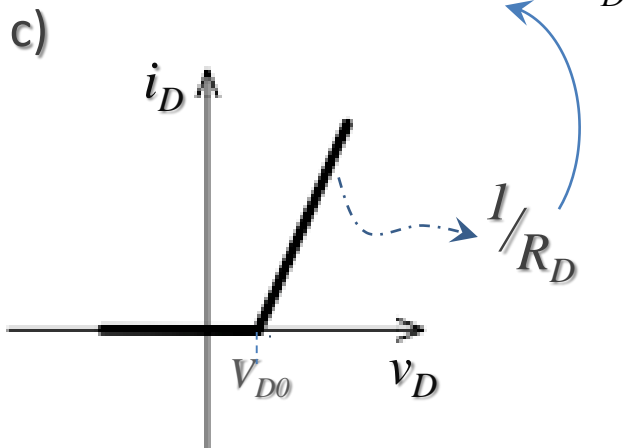
Modelos lineares por troços



a) Ideal
ON: curto-circuito
OFF: circuito-aberto



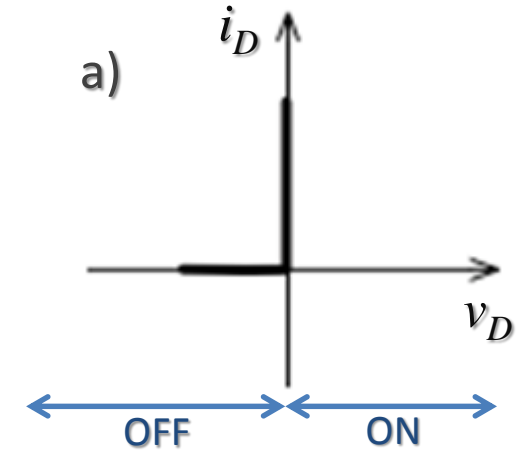
b) Fonte tensão
ON: $v_D = V_{D0}$
OFF: $v_D < V_{D0}$



c) Fonte tensão + R
ON: $v_D = V_{D0} + R_D i_D$
OFF: $v_D < V_{D0}$

Modelo Ideal

- Modelo com dois estados possíveis
ON / OFF



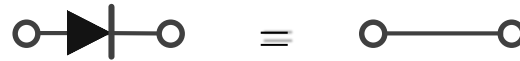
ON – Díodo em condução

Díodo substituído por **curto-circuito**

$$v_D = 0$$

$$i_D > 0$$

(o valor da corrente é determinado pelo resto do circuito)



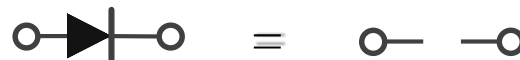
OFF – Díodo cortado

Díodo substituído por **circuito-aberto**

$$i_D = 0$$

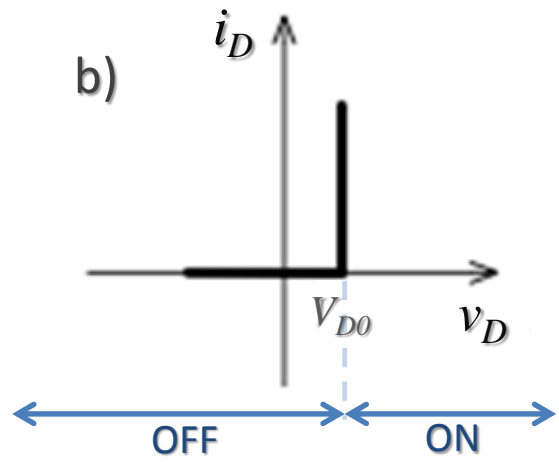
$$v_D < 0$$

(o valor da tensão é determinado pelo resto do circuito)



Modelo Fonte de tensão

- Modelo com dois estados possíveis
ON / OFF

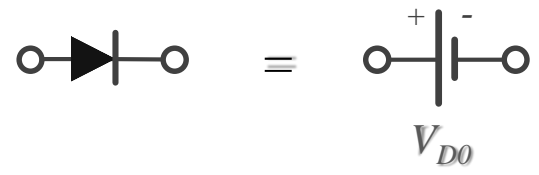


ON – Díodo em condução

Díodo substituído por **fonte de tensão V_{D0}**

$$v_D = V_{D0}$$
$$i_D > 0$$

(o valor da corrente é determinado pelo resto do circuito)

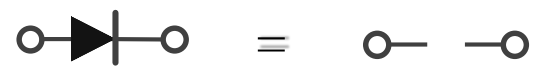


OFF – Díodo cortado

Díodo substituído por **circuito-aberto**

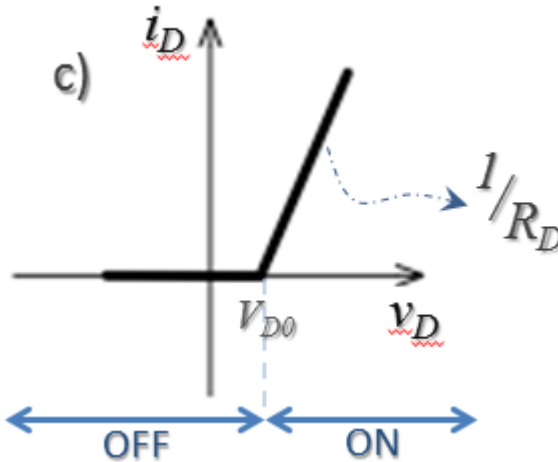
$$i_D = 0$$
$$v_D < 0$$

(o valor da tensão é determinado pelo resto do circuito)



Modelo Fonte de tensão + resistência

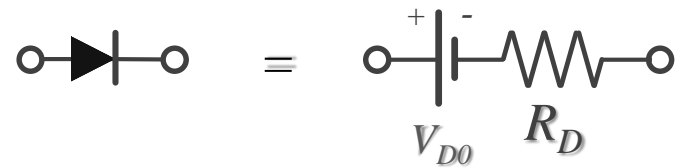
➤ Modelo com dois estados possíveis
ON / OFF



ON – Díodo em condução

Díodo substituído por **fonte de tensão V_{D0} em série com R_D**

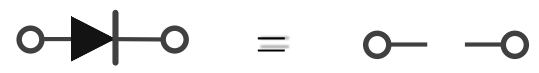
$v_D = V_{D0} + R_D i_D$ (o valor da corrente é determinado pelo resto do circuito)
 $i_D > 0$



OFF – Díodo cortado

Díodo substituído por **circuito-aberto**

$i_D = 0$ (o valor da tensão é determinado pelo resto do circuito)
 $v_D < 0$



$$R_D = \frac{\Delta v_D}{\Delta i_D} \neq \frac{v_D}{i_D}$$

Estratégia de análise

- Calcular I e V usando o modelo de diodo IDEAL:
 - Considerar uma hipótese de diodo **ON** ou **OFF**
 - Fazer a análise do circuito nessas condições
 - Validar a hipótese feita

Hipótese: **ON**

Validação: Confirma se $i_D > 0$

Hipótese: **OFF**

Validação: Confirma se $v_D < 0$

Díodo de Zener

- Especialmente concebido para funcionar na zona de disrupção

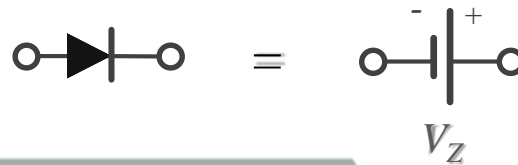
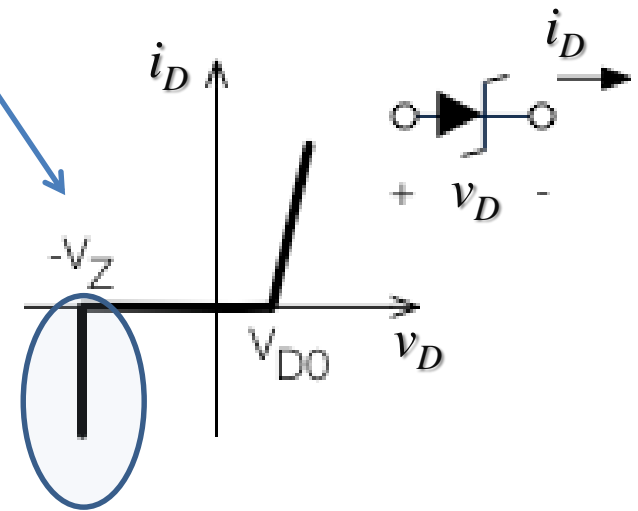
Nessa zona a característica é (praticamente) vertical

A tensão é aproximadamente constante e não depende:

- do valor da corrente
- da variação na tensão de alimentação

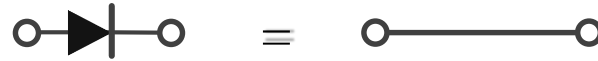
- A aplicação principal é como regulador de tensão

$$i_D < 0$$
$$v_D = -V_Z$$



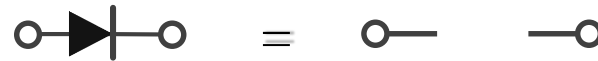
Rectificador de meia onda

➤ Díodo **ON**: curto-circuito



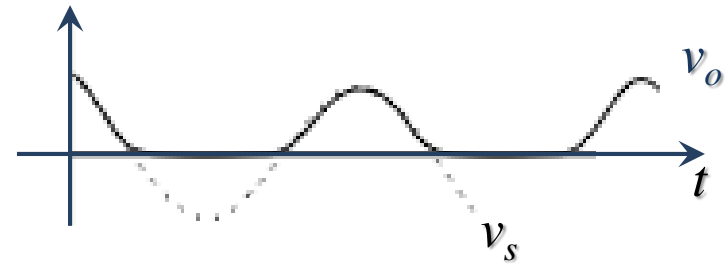
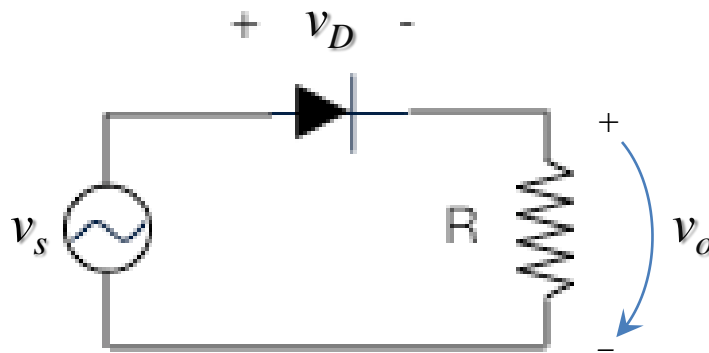
$$v_o = v_s$$

➤ Díodo **OFF**: circuito-aberto

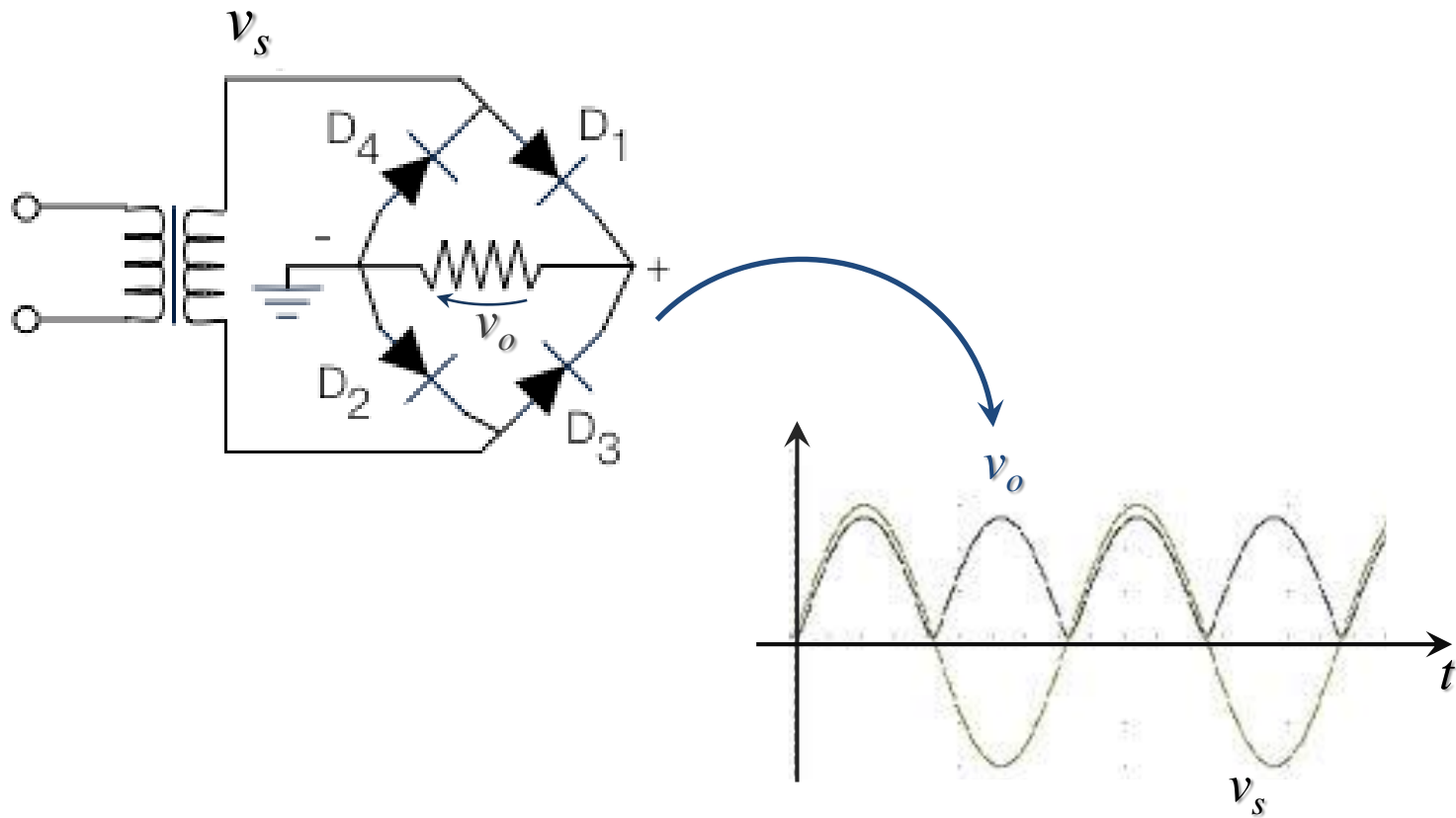


$$i_D = 0$$

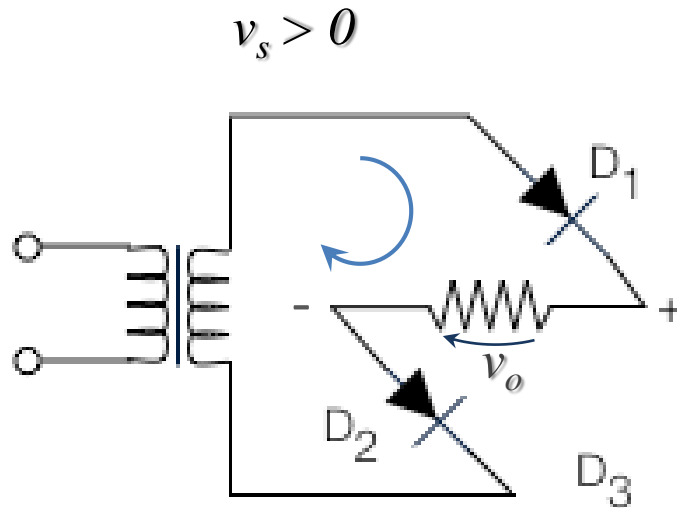
$$v_D = 0$$



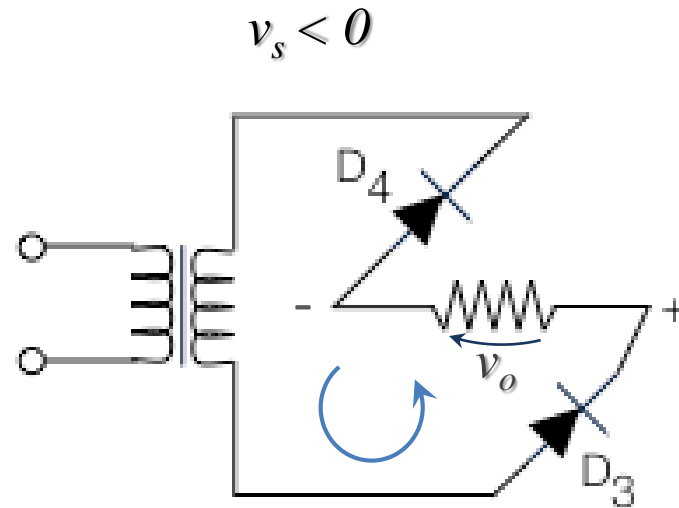
Rectificador de onda completa



Rectificador de onda completa



$$\text{KVL: } V_{D1} + v_o + V_{D2} - v_s = 0$$



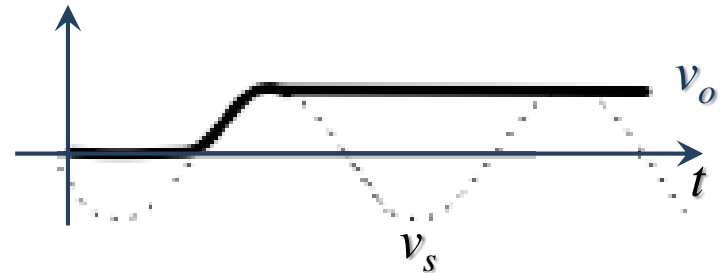
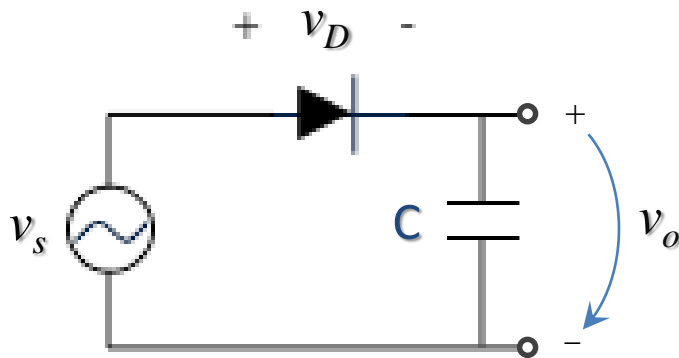
$$\text{KVL: } V_{D3} + v_o + V_{D4} + v_s = 0$$

➤ Considerando o modelo com fonte de tensão:

$$v_o = |v_s| - 2V_{D0}$$

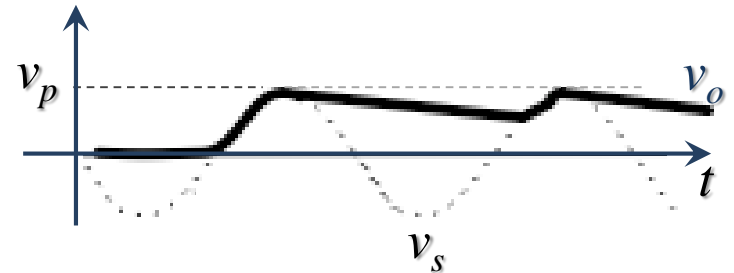
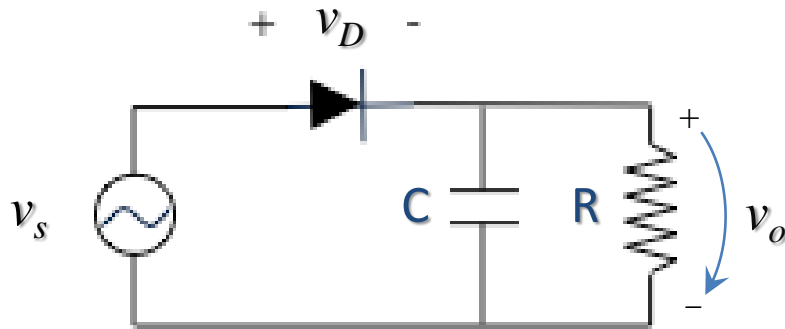
Detector de pico (rectificador com condensador)

- Quando o diodo está **ON** carrega o condensador **C**
- Quando o diodo corta, o condensador mantém a carga (idealmente) e portanto v_o é constante (mantém o valor)
- Na prática existe sempre uma carga que irá descarregar o condensador (corrente de fuga)



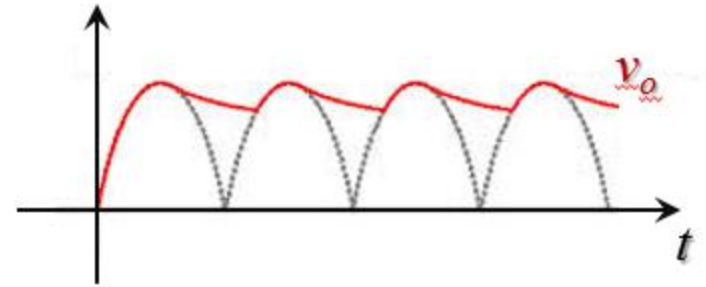
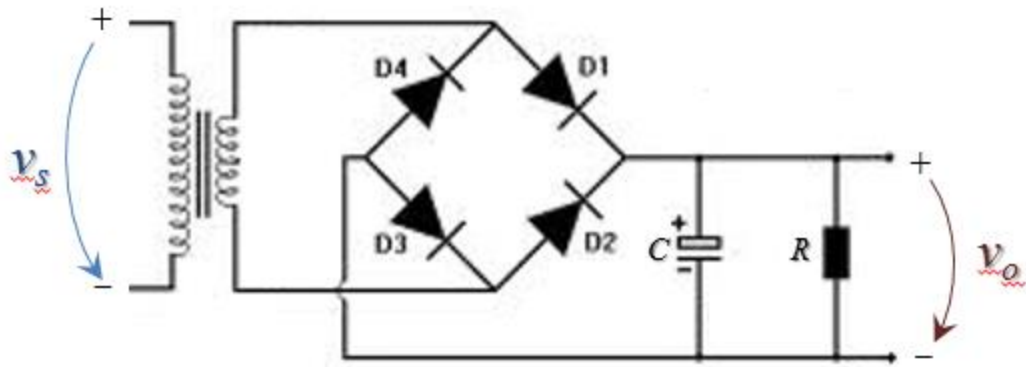
Detector de pico

- Díodo em condução: **C** carrega e $v_o \approx v_s$
- Díodo corta: **C** descarrega através de **R**
- O valor de **C** é escolhido em função da ondulação desejada:
 - C** muito alto -> a carga é lenta (pode não acompanhar v_s)
 - C** muito baixo -> descarga rápida (muita ondulação)



$$v_o(t) = V_P e^{-t/\tau}$$
$$\tau = RC$$

Conversor AC / DC



$$v_o(t) = V_P e^{-t/\tau}$$
$$\tau = RC$$

Estímulo sinusoidal

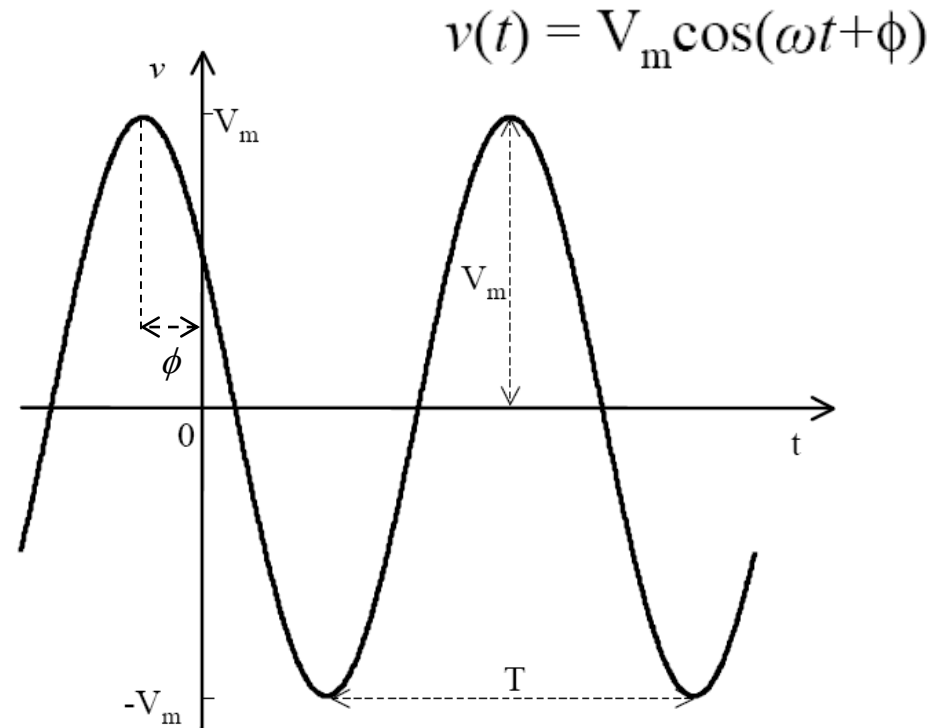
V_m – amplitude

ω – frequência angular [rad/s]

t – tempo [s]

ϕ – defasagem [rad]

f – frequência [Hz]



$$\bar{V} = V_m \angle \phi = V_m e^{j\phi}$$

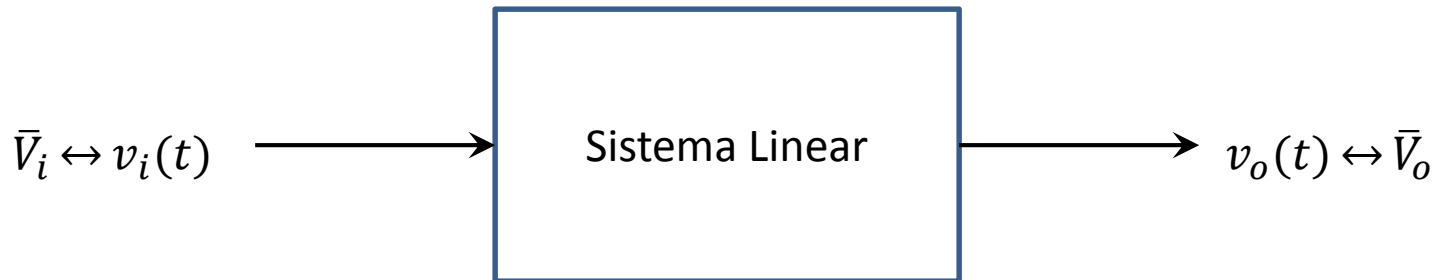
Dom. Tempo

$$\longrightarrow v(t) = \text{Re} \left\{ V_m e^{j\omega t + \phi} \right\}$$

Resposta em frequência

➤ Consideremos como **sistema linear** (SLIT) um circuito composto apenas por:

- Resistências
- Bobines
- Condensadores

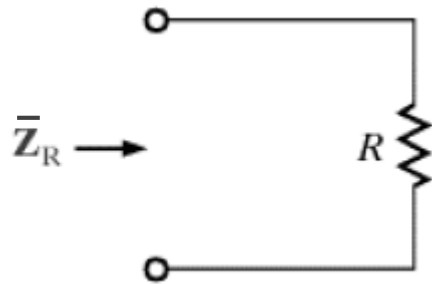


➤ Começemos por estudar o comportamento (ou resposta) em frequência dos componentes reactivos: o condensador e a bobine

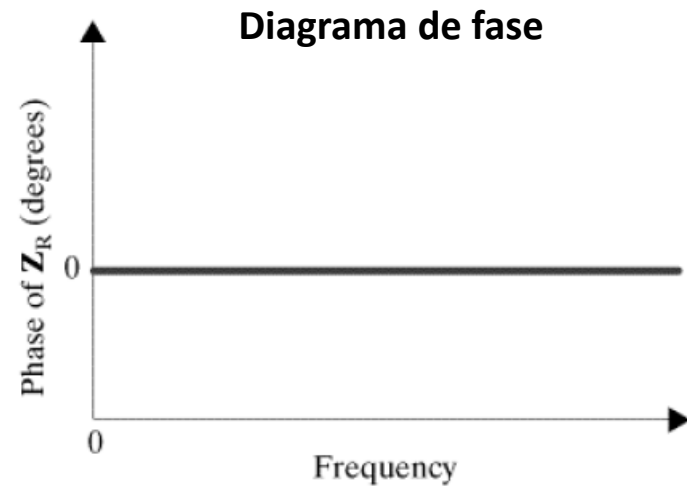
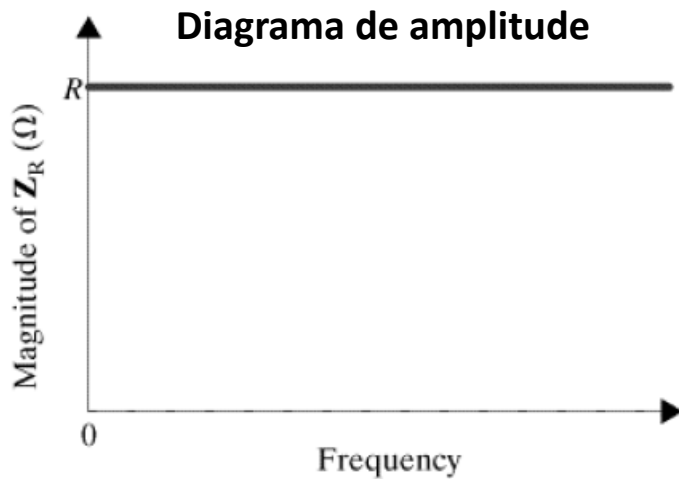
$$v(t) = V_m \cos(\omega t + \phi)$$

Resposta em frequência (resistância)

\bar{Z}_R : não depende da frequência

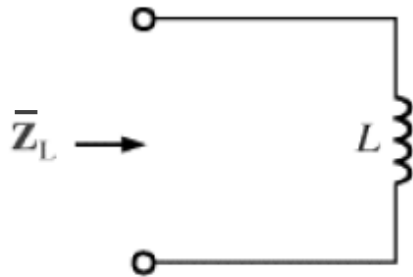


$$\bar{Z}_R = R = R \angle 0^\circ$$

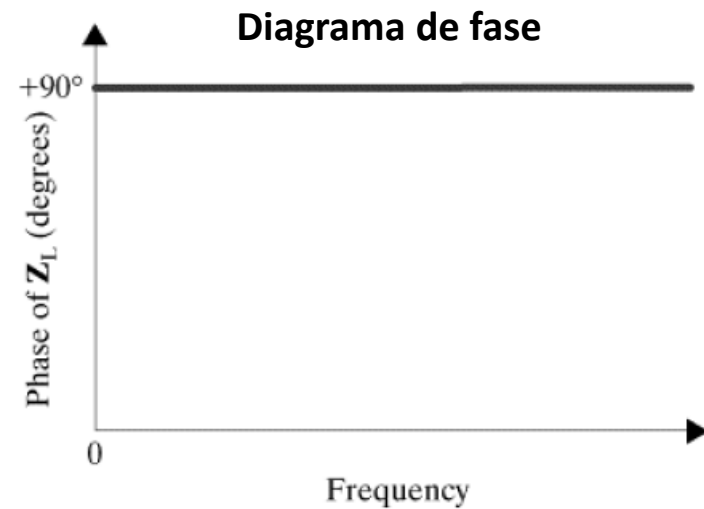
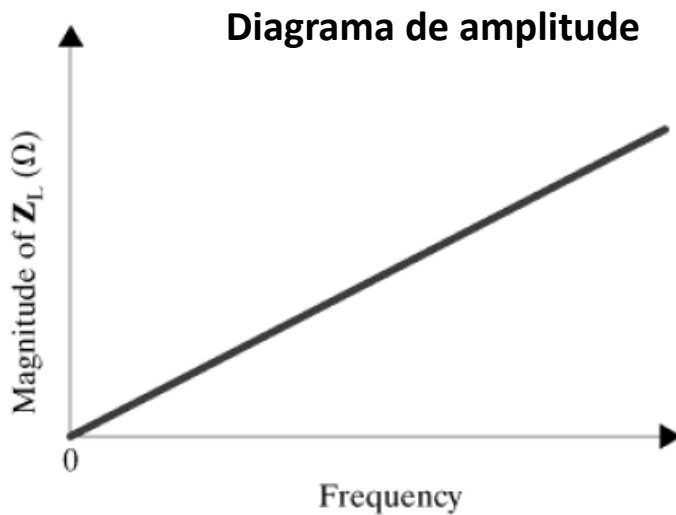


Resposta em frequência (bobine)

$|\bar{Z}_L|$: é proporcional à frequência

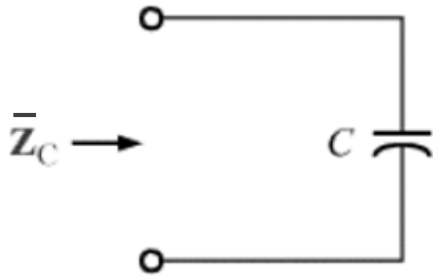


$$\bar{Z}_L = j\omega L = \omega L \angle 90^\circ$$

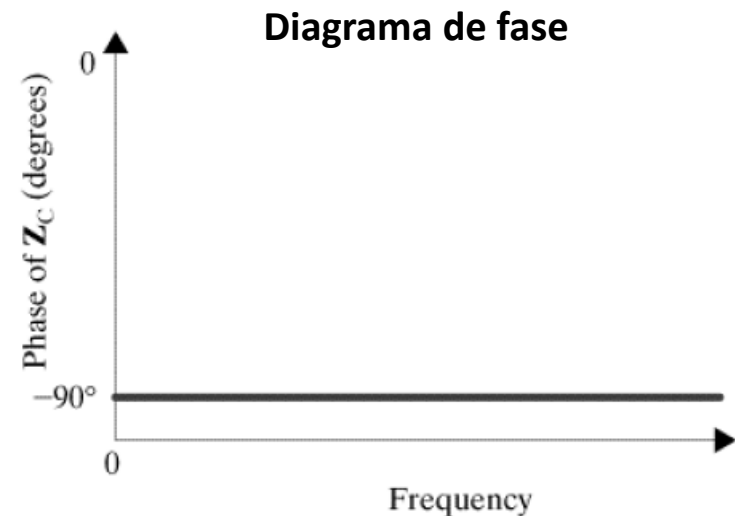
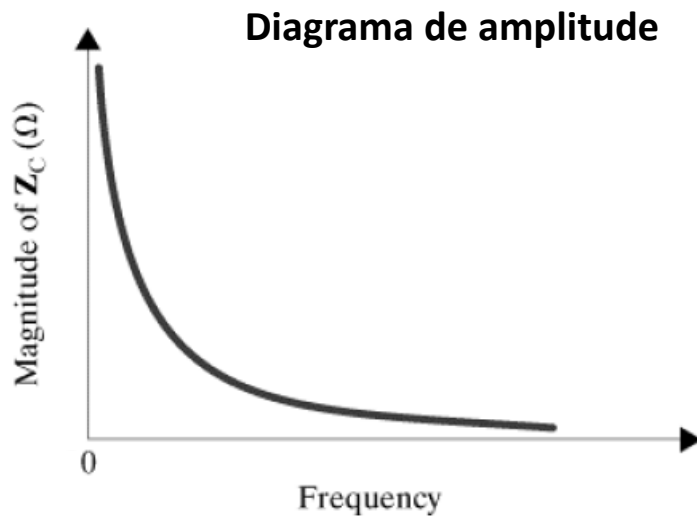


Resposta em frequência (condensador)

$|\bar{Z}_C|$: é inversamente proporcional à frequência



$$\bar{Z}_C = \frac{1}{j\omega C} = \frac{1}{\omega C} \angle -90^\circ$$



Transformada de Laplace

- Na análise de circuitos pode ser vantajoso utilizar a frequência complexa s , válida no domínio da **transformada de Laplace**

$$s = \sigma + j\omega$$

- No caso particular do regime forçado sinusoidal a frequência complexa s é simplesmente dada por:

$$s = j\omega$$

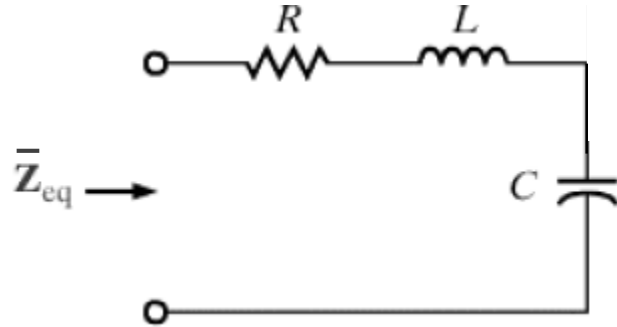
Impedância complexa

- A impedância complexa dos componentes lineares estudados no domínio da transformada de Laplace é dada pelas seguintes equações:

Dispositivo	Transformada Laplace	Notação complexa	Impedância (\bar{Z})	
			Laplace	complexa
Resistência	$V(s) = RI(s)$	$\bar{V} = \bar{Z}_R \cdot \bar{I}$	$Z_R = R$	$\bar{Z}_R = R$
Condensador	$V_C(s) = \frac{1}{sC} \cdot I_C(s)$	$\bar{V}_C = \bar{Z}_C \cdot \bar{I}_C$	$Z_C = \frac{1}{sC}$	$\bar{Z}_C = \frac{1}{j\omega C}$
Bobina	$V_L(s) = sL \cdot I_L(s)$	$\bar{V}_L = \bar{Z}_L \cdot \bar{I}_L$	$Z_L = sL$	$\bar{Z}_L = j\omega L$

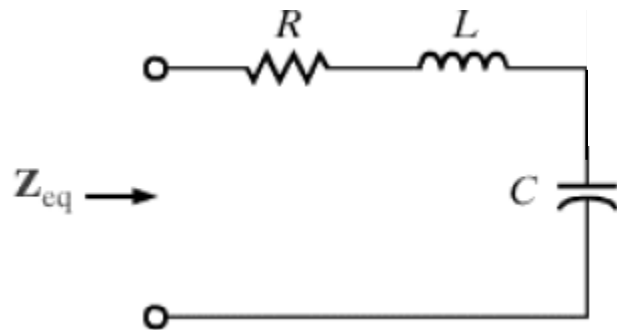
Impedância de uma carga RLC

- A impedância equivalente em notação complexa é dada por:



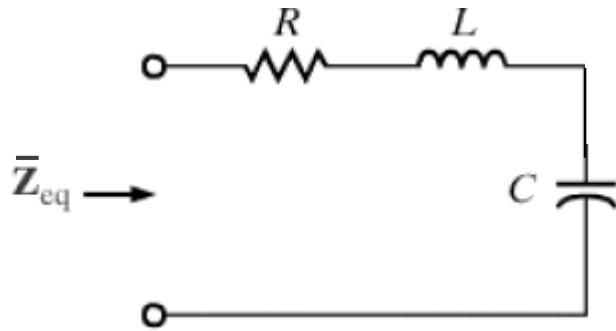
$$\begin{aligned}\bar{Z}_{eq} &= R + j\omega L + \frac{1}{j\omega C} \\ &= \frac{(j\omega)^2 LC + j\omega RC + 1}{j\omega C} \times \frac{-j}{-j} \\ &= \frac{\omega RC + j(\omega^2 LC - 1)}{\omega C}\end{aligned}$$

- Impedância equivalente no domínio da transformada de Laplace:



$$Z_{eq}(s) = \frac{s^2 LC + sRC + 1}{sC}$$

Impedância de uma carga RLC

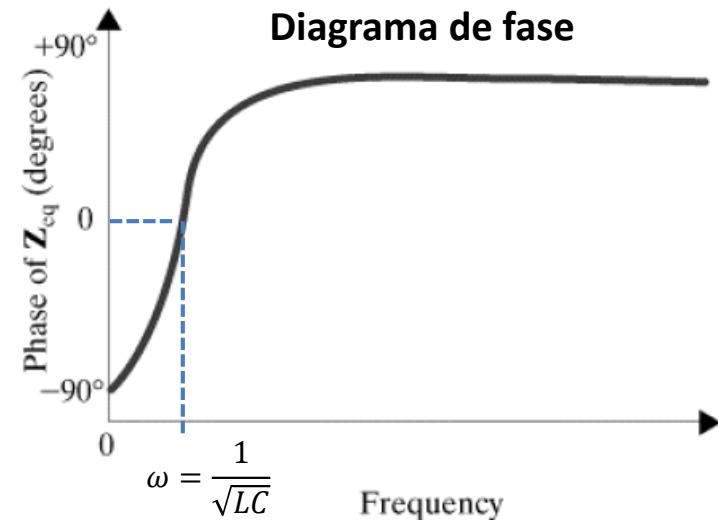
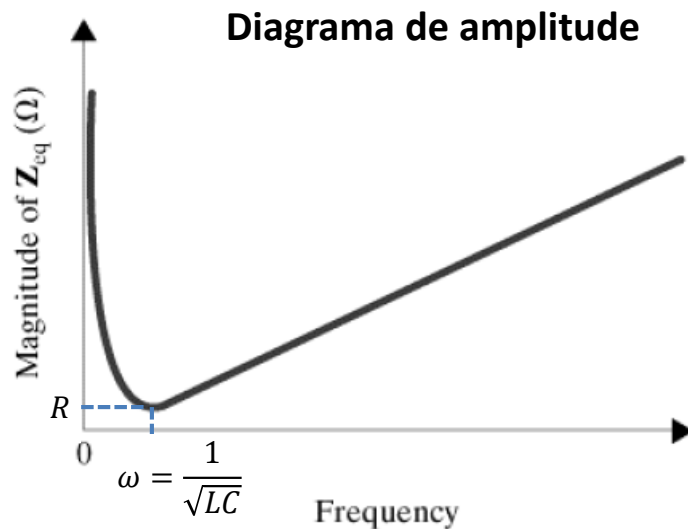


Not. Complexa $\bar{Z}_{eq} = \frac{\omega RC + j(\omega^2 LC - 1)}{\omega C}$

T. Laplace $Z_{eq}(s) = \frac{s^2 LC + sRC + 1}{sC}$

$$|\bar{Z}_{eq}| = \frac{\sqrt{(\omega RC)^2 + (1 - \omega^2 LC)^2}}{\omega C}$$

$$\angle \bar{Z}_{eq} = \tan^{-1} \left(\frac{\omega^2 LC - 1}{\omega RC} \right)$$



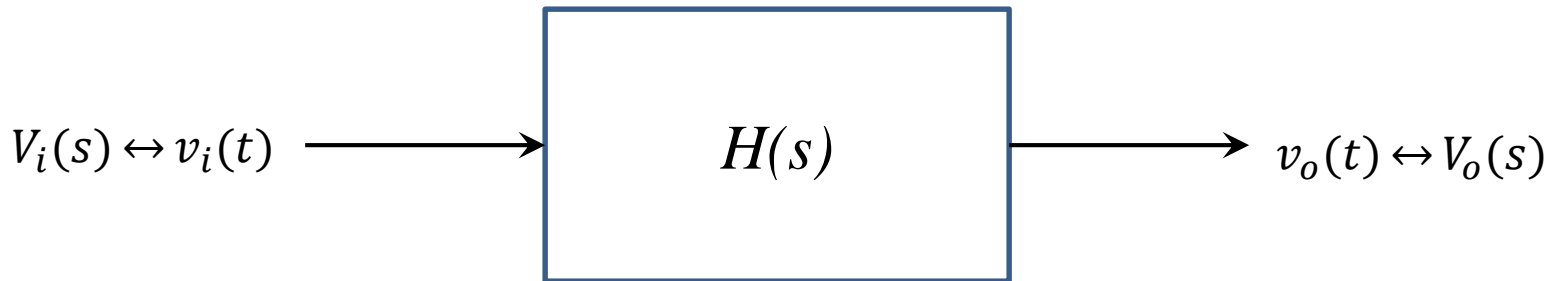
Funções de rede

- A função de rede $H(s)$ é o quociente entre duas grandezas eléctricas, é dada por:

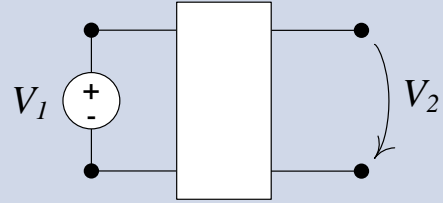
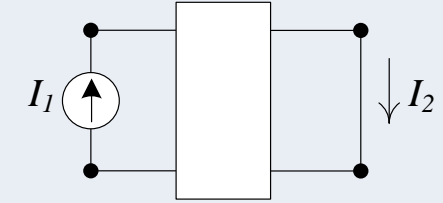
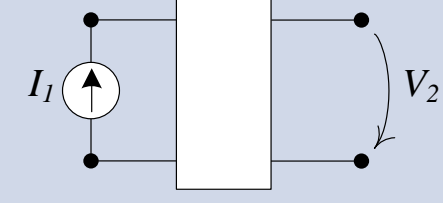
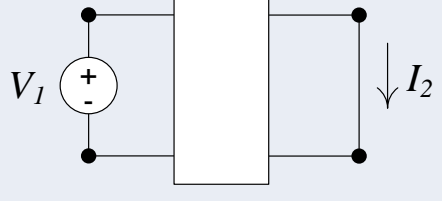
$$H(s) = \frac{V_o(s)}{V_i(s)}$$

$V_i(s)$ é a grandeza de excitação

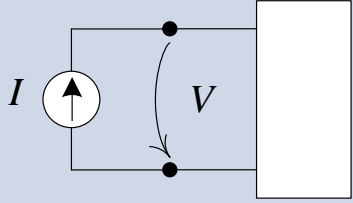
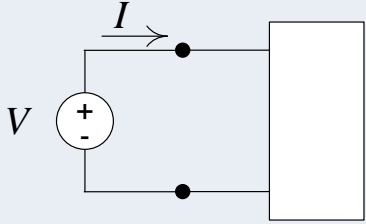
$V_o(s)$ é a grandeza de resposta



Funções de rede

Função de rede	$H(s)$	Diagrama
Ganho de tensão	$G_v(s) = \frac{V_2(s)}{V_1(s)}$	
Ganho de corrente	$G_i(s) = \frac{I_2(s)}{I_1(s)}$	
Transimpedância	$Z_T(s) = \frac{V_2(s)}{I_1(s)}$	
Transadmitância	$Y_T(s) = \frac{I_2(s)}{V_1(s)}$	

Funções de rede (um porto)

Função de rede	$H(s)$	Diagrama
Impedância	$Z(s) = \frac{V(s)}{I(s)}$	
Admitância	$Y(s) = \frac{I(s)}{V(s)}$	

Dependendo de a entrada e a saída do sistema linear serem em corrente ou em tensão

Função de transferência $H(s)$

➤ Pode mostrar-se que as funções de rede $H(s)$ são funções racionais de s com coeficientes reais de polinómios em s :

- os zeros de $H(s)$ são as raízes de $N(s)$ $N(s) \rightarrow N(z_i) = 0$
- os pólos de $H(s)$ são as raízes de $D(s)$ $D(s) \rightarrow D(p_i) = 0$

$$H(s) = \frac{N(s)}{D(s)} = \frac{a_m s^m + a_{m-1} s^{m-1} + \dots a_1 s + a_0}{b_n s^n + b_{n-1} s^{n-1} + \dots b_1 s + b_0}$$

$$H(s = z_i) = 0$$
$$H(s = p_i) = \infty$$

Função de transferência $H(s)$

➤ os coeficientes a_i e b_i são reais

- os pólos p_i e os zeros z_i são reais ou complexos conjugados
- A ordem da função de rede é igual à ordem do denominador $D(s)$ ou seja, ao número de pólos

$$H(s) = \frac{N(s)}{D(s)} = \frac{k_0 (s - z_1)(s - z_2) \dots (s - z_m)}{(s - p_1)(s - p_2) \dots (s - p_n)}$$

Forma factorizada
normalizada

$$= \frac{\underbrace{k_0 z_1 z_2 \dots z_m}_{K_0} (s/z_1 - 1)(s/z_2 - 1) \dots (s/z_m - 1)}{p_1 p_2 \dots p_n (s/p_1 - 1)(s/p_2 - 1) \dots (s/p_n - 1)}$$

$$H(s = z_i) = 0$$
$$H(s = p_i) = \infty$$

Diagrama de Bode

- Em regime forçado sinusoidal $s = j\omega$ pelo que $H(s)$ é dada por:

$$H(j\omega) = \text{Mag}(\omega) \cdot e^{j\phi(\omega)} = \text{Mag}(\omega) \angle \phi(\omega)$$

$\text{Mag}(\omega)$: diagrama de amplitude da função de transferência

$$\text{Mag}(\omega) = |H(j\omega)|$$

$\phi(\omega)$: diagrama de fase da função de transferência

$$\phi(\omega) = \arg(H(j\omega))$$

- A representação gráfica dos diagramas de amplitude e de fase em função de ω em escala logarítmica, designa-se diagrama de Bode

Diagrama de Bode

- Geralmente é mais fácil construir os diagramas a partir da forma factorizada normalizada

$$Mag(\omega) = |H(j\omega)| = \frac{|K_0| \cdot |j\omega/z_1 - 1| \cdot |j\omega/z_2 - 1| \dots |j\omega/z_m - 1|}{|j\omega/p_1 - 1| \cdot |j\omega/p_2 - 1| \dots |j\omega/p_n - 1|}$$

$$\phi(\omega) = \arg(H(j\omega))$$

$$\begin{aligned} &= \arg(K_0) + \arg(j\omega/z_1 - 1) + \arg(j\omega/z_2 - 1) + \dots + \arg(j\omega/z_m - 1) \\ &\quad - \arg(j\omega/p_1 - 1) - \arg(j\omega/p_2 - 1) - \dots - \arg(j\omega/p_n - 1) \end{aligned}$$

Decibel (dB)

➤ Usa-se para representar a relação entre duas grandezas eléctricas:

- ganho de potência

$$\left(\frac{P_o}{P_i}\right)_{dB} = 10 \cdot \log_{10} \left(\frac{P_o}{P_i}\right)$$

$P \propto V^2$ \rightarrow $\left(\frac{P_o}{P_i}\right)_{dB} = 10 \cdot \log_{10} \left(\frac{V_o^2}{V_i^2}\right) = 20 \cdot \log_{10} \left(\frac{V_o}{V_i}\right)$

$P \propto I^2$ \rightarrow $\left(\frac{P_o}{P_i}\right)_{dB} = 10 \cdot \log_{10} \left(\frac{I_o^2}{I_i^2}\right) = 20 \cdot \log_{10} \left(\frac{I_o}{I_i}\right)$

- ganho de tensão

$$\left(\frac{V_o}{V_i}\right)_{dB} = 20 \cdot \log_{10} \left(\frac{V_o}{V_i}\right)$$

- ganho de corrente

$$\text{ou } \left(\frac{I_o}{I_i}\right)_{dB} = 20 \cdot \log_{10} \left(\frac{I_o}{I_i}\right)$$

Decibel (dB)

- A utilização de dB para representar os diagramas de amplitude em diagramas de Bode permite converter:

produtos $\xrightarrow{\log}$ somas

divisões $\xrightarrow{\log}$ subtrações

$$G_{dB} = 20 \cdot \log_{10} G$$

$$\begin{aligned} \text{Mag}(\omega)_{dB} = & |K_0|_{dB} + |j\omega/z_1 - 1|_{dB} + |j\omega/z_2 - 1|_{dB} + \dots + |j\omega/z_m - 1|_{dB} \\ & - |j\omega/p_1 - 1|_{dB} - |j\omega/p_2 - 1|_{dB} - \dots - |j\omega/p_n - 1|_{dB} \end{aligned}$$

- Valores notáveis:

G	10^{-3}	10^{-2}	10^{-1}	$1/2$	$\frac{1}{\sqrt{2}}$	1	$\sqrt{2}$	2	10	10^2	10^3
G_{dB}	-60 dB	-40 dB	-20 dB	≈-6 dB	≈-3 dB	0 dB	≈3 dB	≈6 dB	20 dB	40 dB	60 dB

$$G = \frac{V_2}{V_1}$$

Diagrama de Bode

- Seja a função de rede (ou de transferência) $H(\omega)$:

$$\bar{H} = |H| \angle \theta = |H| e^{j\theta}$$

aplicando o logaritmo natural a ambos os lados resulta

$$\ln \bar{H} = \ln |H| + \ln e^{j\theta} = \ln |H| + j\theta$$

← fase

← módulo

- Os diagramas de Bode são gráficos semi-logarítmicos da **amplitude** (em decibel) e da **fase** (em graus) em função da frequência angular ω

$$|\bar{H}|_{dB} = 20 \log_{10} |\bar{H}| \quad \theta = \arg(\bar{H})$$

Diagrama de Bode

➤ a função de rede (ou de transferência) $H(\omega)$ é:

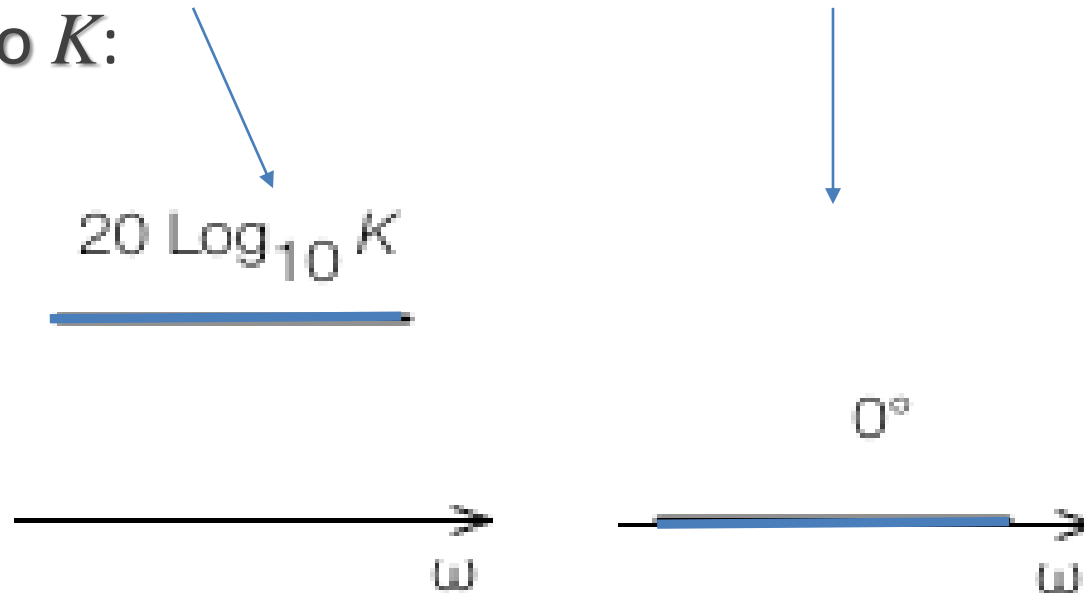
$$H(\omega) = \frac{K \cdot (j\omega)^{\pm 1} \cdot \left(1 + \frac{j\omega}{z_1}\right) \cdot \left[1 + j2\zeta_1 \frac{\omega}{\omega_z} + \left(\frac{j\omega}{\omega_z}\right)^2\right]}{\left(1 + \frac{j\omega}{p_1}\right) \cdot \left[1 + j2\zeta_2 \frac{\omega}{\omega_p} + \left(\frac{j\omega}{\omega_p}\right)^2\right]}$$

... nesta representação podem existir até 7 factores diferentes:

- ganho K
- pólo $(j\omega)^{-1}$ ou zero $(j\omega)$ **na origem**, (i.e. para $\omega=0$)
- pólo **simples** $(1+j\omega/p)$ ou um zero **simples**, $(1+j\omega/z)$
- pólo **quadrático** ou um zero **quadrático**

Diagrama de Bode

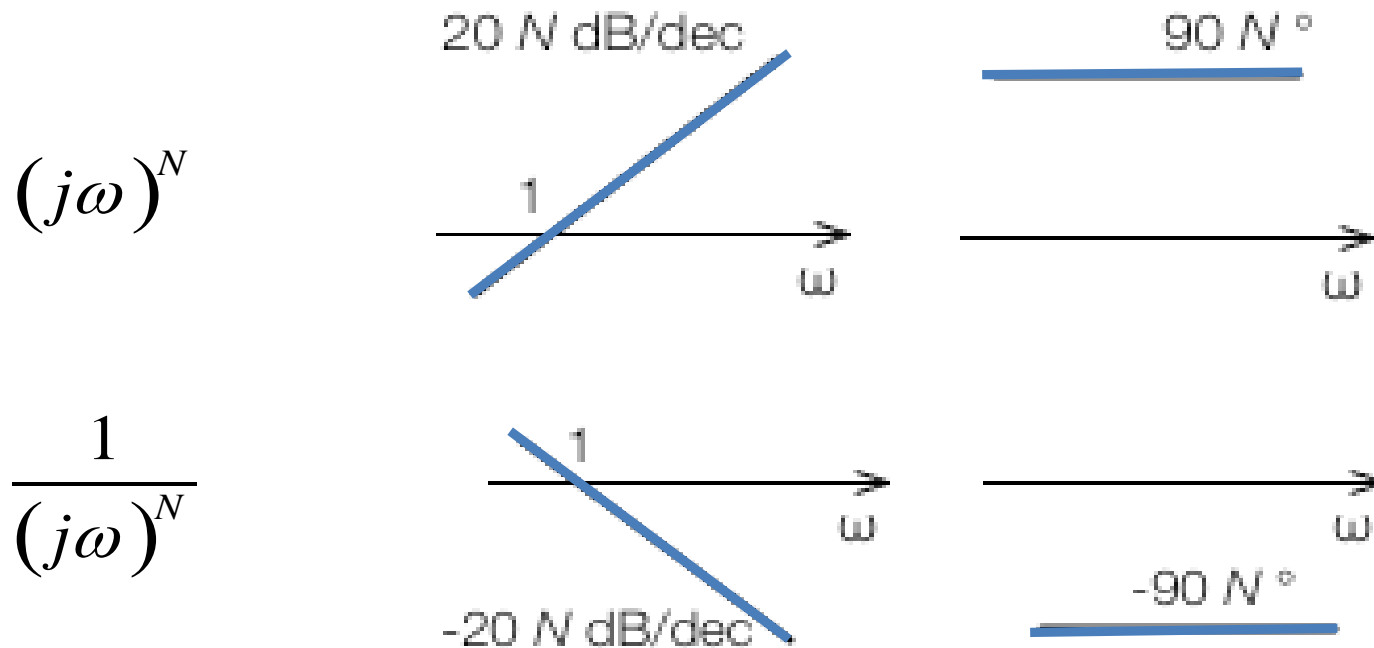
- diagrama de amplitude e diagrama de fase para o ganho K :



... se o valor do ganho K for negativo a amplitude mantem-se mas a fase passa a valer 180°

Diagrama de Bode

- Diagrama assintótico (de amplitude e fase) para zeros e pólos na origem (de ordem N):



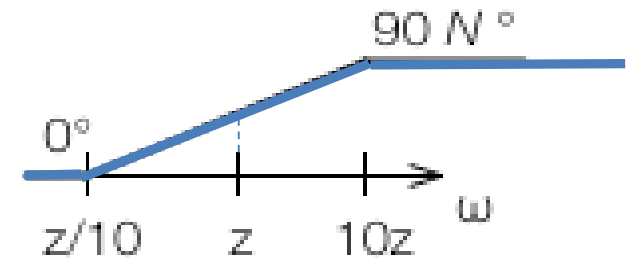
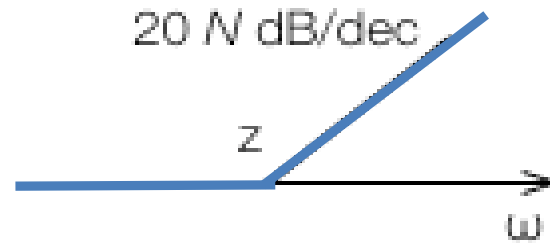
$$(j\omega)^N$$

$$\frac{1}{(j\omega)^N}$$

Diagrama de Bode

- Diagrama assintótico (de amplitude e fase) para zeros e pólos simples (de ordem N):

$$\left(1 + \frac{j\omega}{z}\right)^N$$



$$\frac{1}{\left(1 + \frac{j\omega}{p}\right)^N}$$

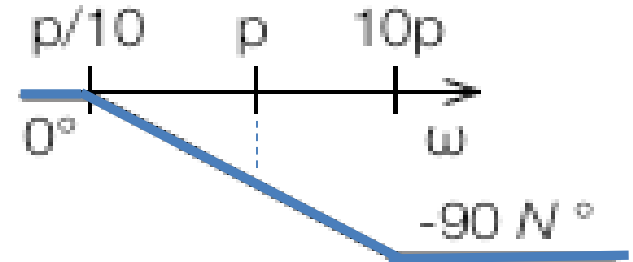
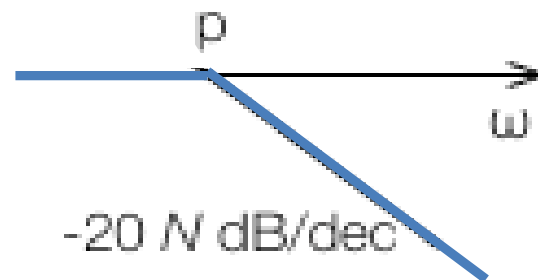
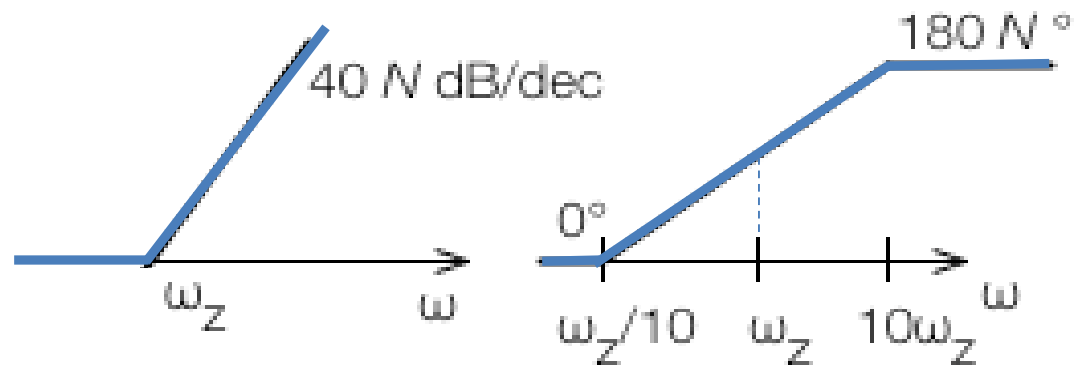


Diagrama de Bode

➤ Diagrama assímptótico (de amplitude e fase) para zeros e pólos quadráticos (de ordem N):

$$\left[1 + j2\zeta_1 \frac{\omega}{\omega_z} + \left(\frac{j\omega}{\omega_z} \right)^2 \right]^N$$



$$\frac{1}{\left[1 + j2\zeta_2 \frac{\omega}{\omega_p} + \left(\frac{j\omega}{\omega_p} \right)^2 \right]^N}$$

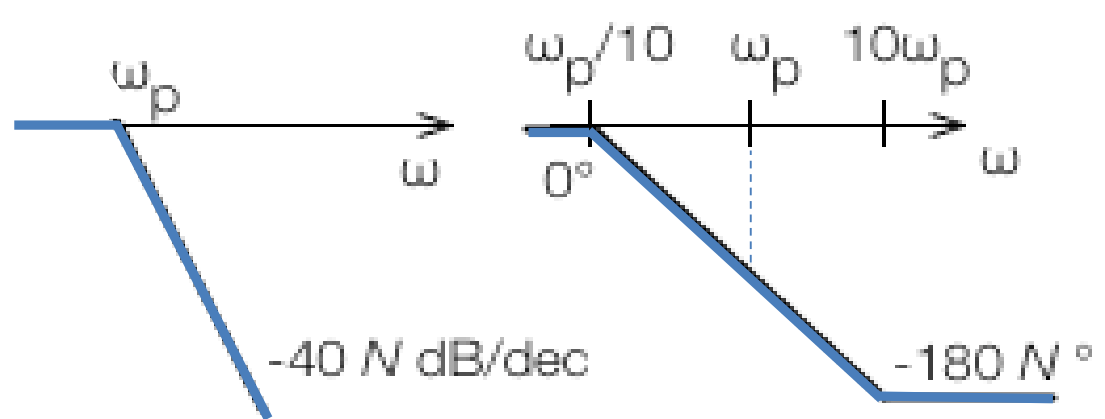


Diagrama de amplitude

- representa a amplitude da função de transferência $H(s)$ em decibel (dB) em função da frequência (escala logarítmica):

$$|H(j\omega)|_{dB} = 20 \log_{10} |H(j\omega)|$$

- o desenho aproximado do diagrama de Bode de amplitude é feito a partir do módulo dos pólos e zeros da função de transferência;
- o efeito dos zeros/pólos é sentido no declive da recta a traçar:
 - ⇒ N zeros com módulo $|\text{zero}_k| = \mathcal{M}$ adicionam à recta do diagrama de amplitude $+20 \cdot N$ dB por cada década, a partir do ponto $\omega = \mathcal{M}$.
 - ⇒ N polos com módulo $|\text{polo}_k| = \mathcal{M}$ adicionam à recta do diagrama de amplitude $-20 \cdot N$ dB por cada década, a partir do ponto $\omega = \mathcal{M}$.

Diagrama de fase

- representa a fase da função de transferência $H(s)$ em graus em função da frequência (escala logarítmica)

$$\text{Fase}(\omega) = \arctan \left(\frac{|\text{Imag} \{H(j\omega)\}|}{|\text{Real} \{H(j\omega)\}|} \right) + \begin{cases} 0 & , \text{ se } \text{Real} \{H(j\omega)\} \geq 0 \\ \pi & , \text{ se } \text{Real} \{H(j\omega)\} < 0 \end{cases}$$

- o desenho aproximado do diagrama de fase é feito a partir do valor da fase dos pólos e zeros da função de transferência;
- o efeito de cada zero e pólo é sentido apenas durante duas décadas, começando uma década antes e terminando uma década depois:
 - ⇒ N zeros com módulo $|\text{zero}_k| = \mathcal{M}$ e parte real negativa (localizados no semi-plano complexo esquerdo) adicionam à fase $+90 \times N$ graus ($+\pi/2 \times N$ radianos).
 - ⇒ N polos com módulo $|\text{polo}_k| = \mathcal{M}$ e parte real negativa (localizados no semi-plano complexo esquerdo) adicionam à fase $-90 \times N$ graus ($-\pi/2 \times N$ radianos).
- Começa-se a desenhar o diagrama a partir de $\omega = 0$ com:
 - ⇒ 0 graus se a função $H(s)$ tiver sinal positivo.
 - ⇒ 180 graus se a função $H(s)$ tiver sinal negativo.

Diagrama de Argand

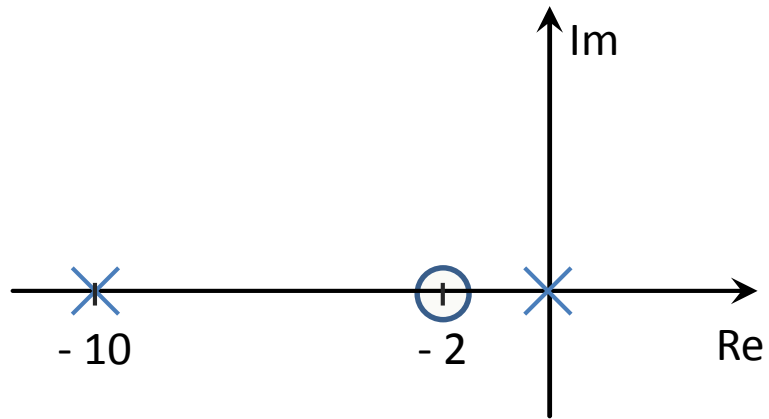
$$H(s) = \frac{4(s + 2)}{s \cdot (s + 10)}$$

Zeros:

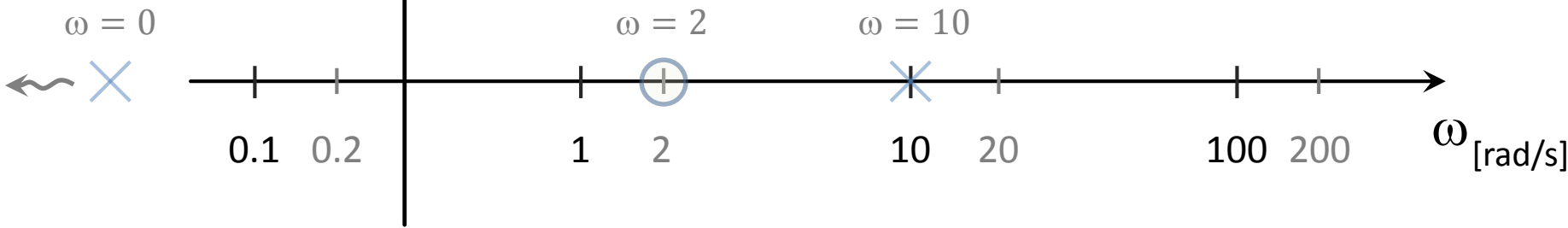
$$s = -2$$

Pólos:

$$\begin{cases} s = -10 \\ s = 0 \end{cases}$$

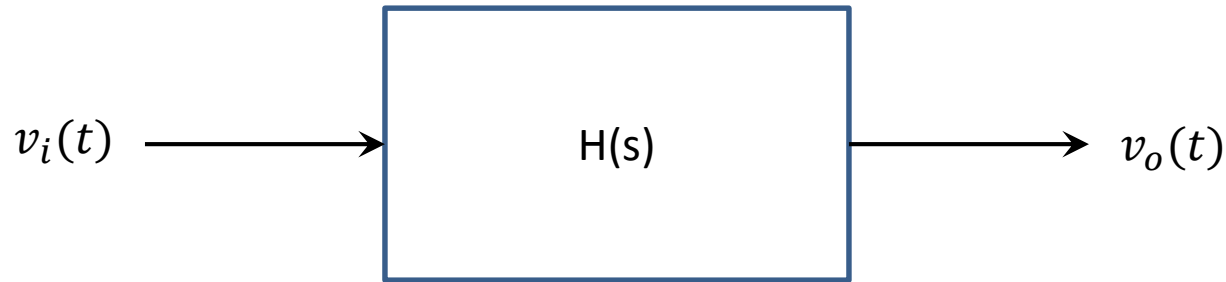


$$20 \cdot \log_{10}|H(j\omega)|$$



Filtros

- O caso mais comum das funções de rede são os filtros

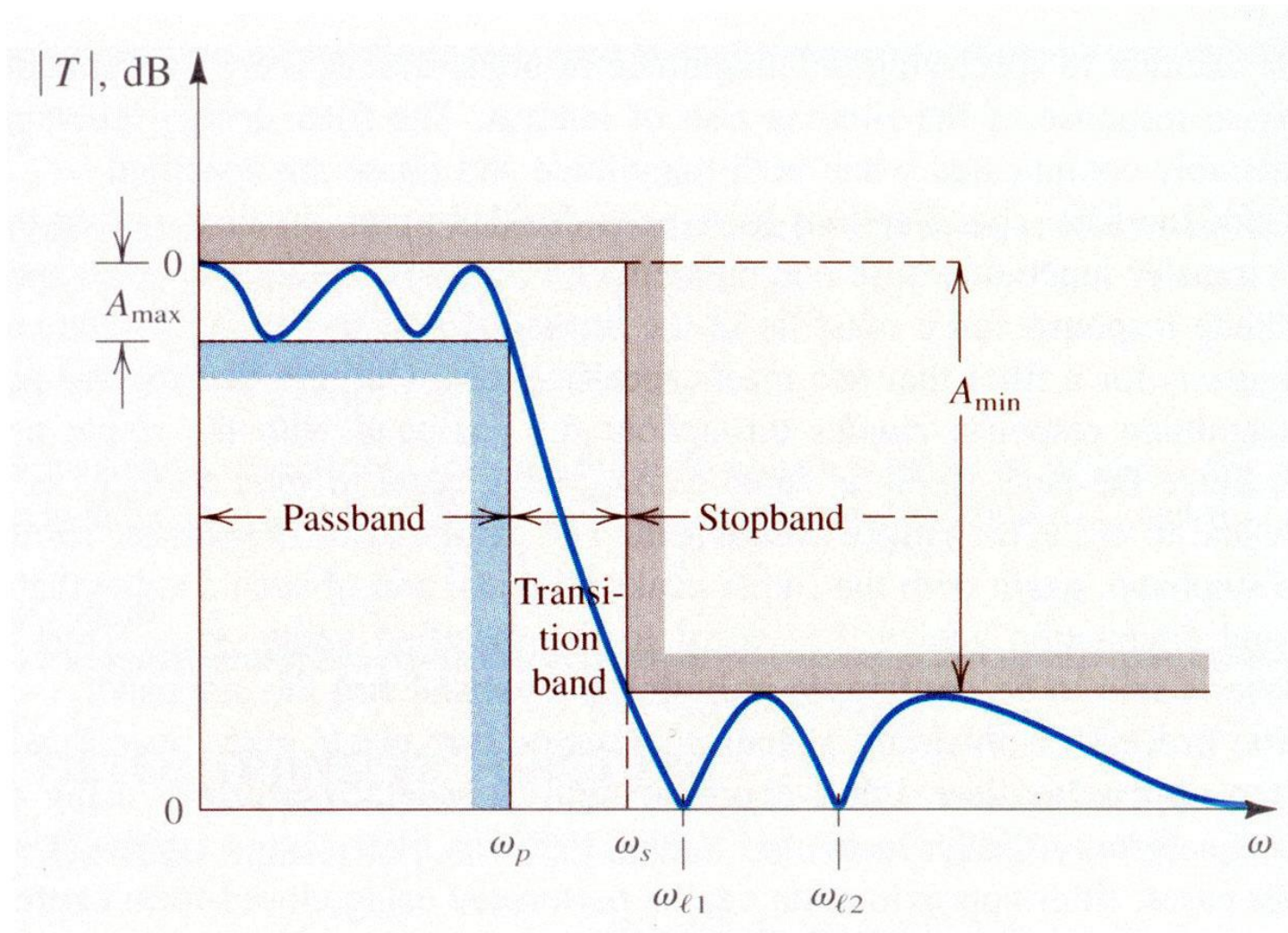


- **$H(s)$** representa a resposta em frequência do sistema (em amplitude e fase)

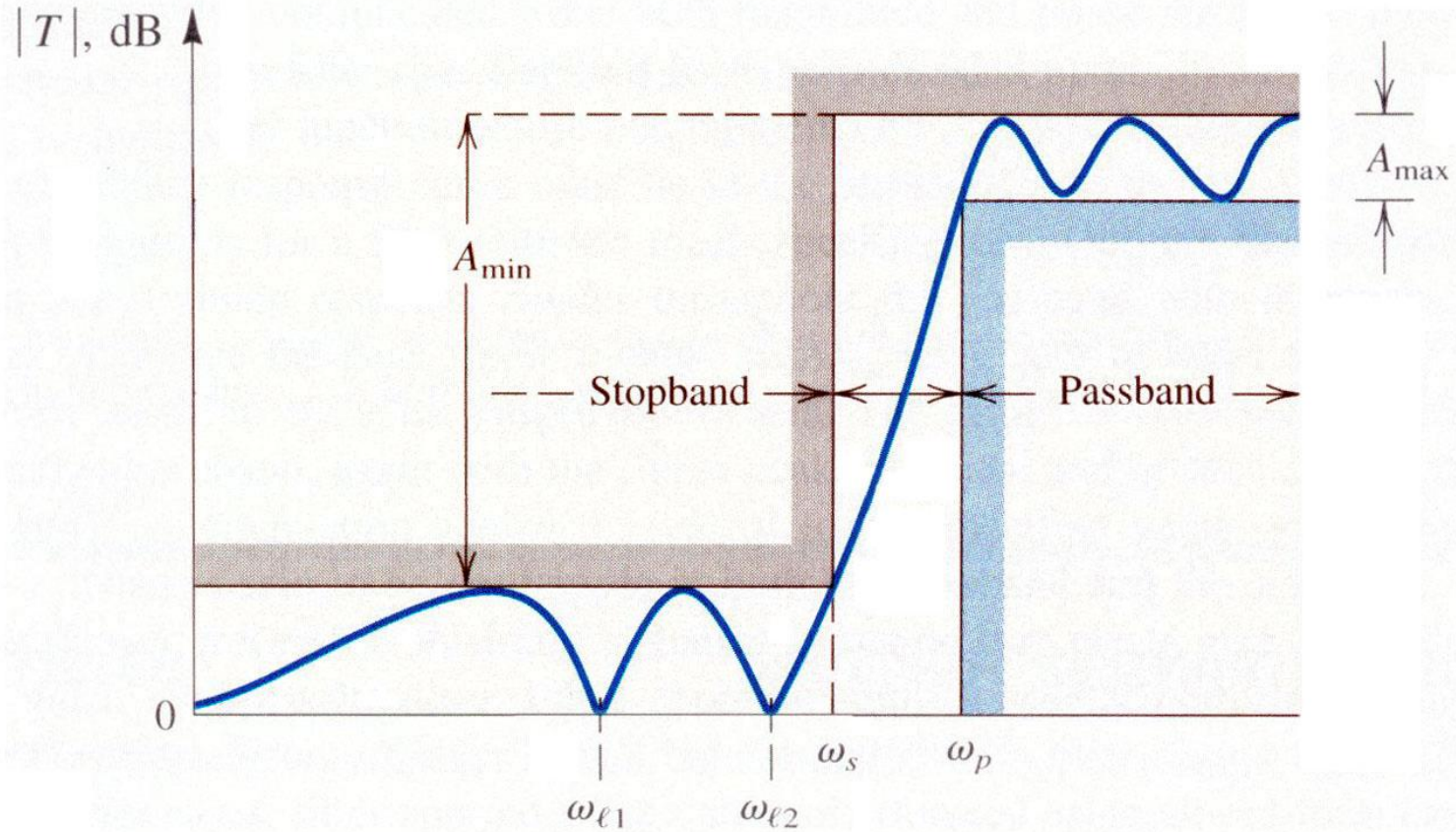
$$H(s) = K \frac{(s + z_1) \cdot (s + z_2) \cdots (s + z_M)}{(s + p_1) \cdot (s + p_2) \cdots (s + p_M)}$$

$$H(s) = \frac{V_o(s)}{V_i(s)}$$

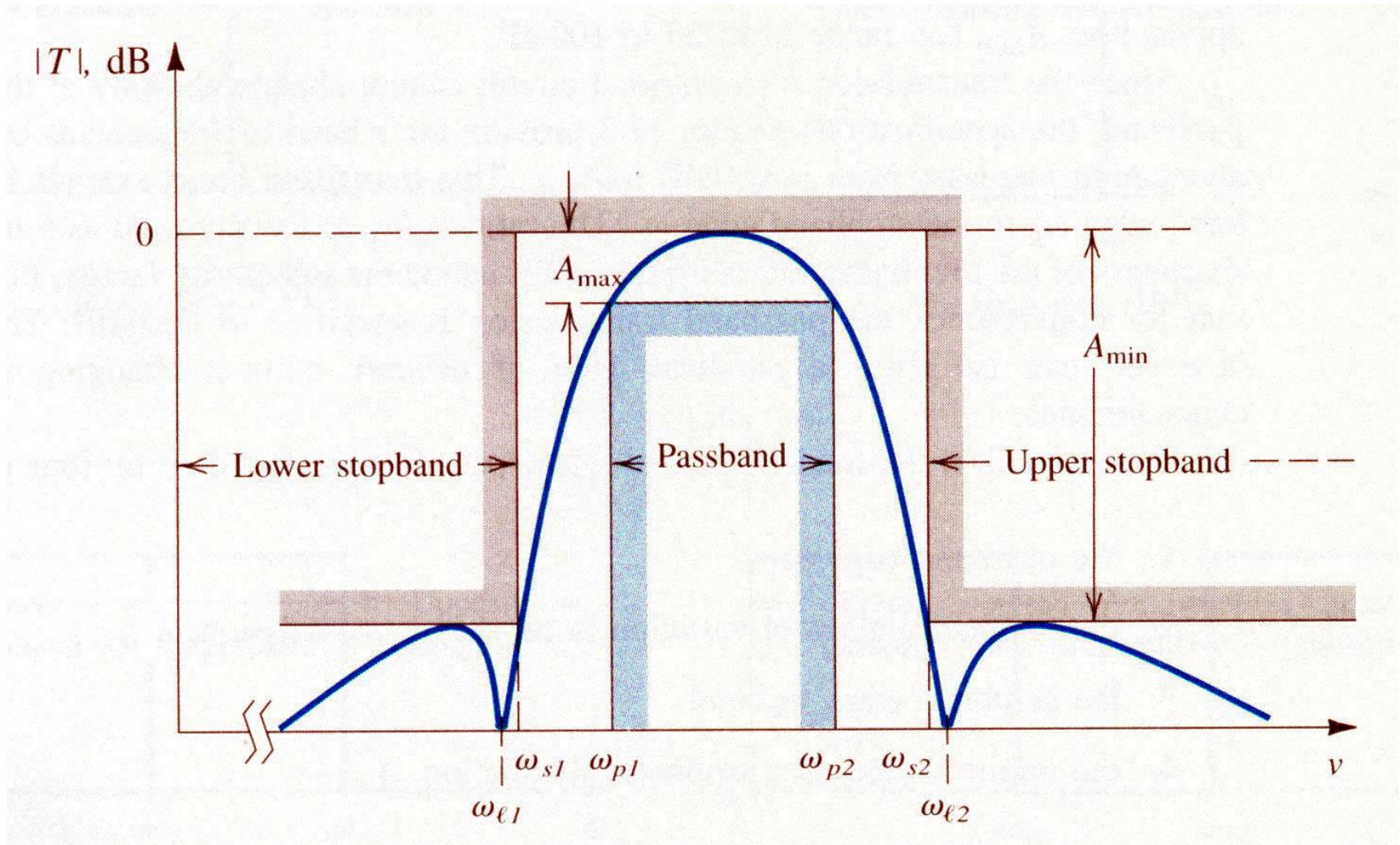
Filtros



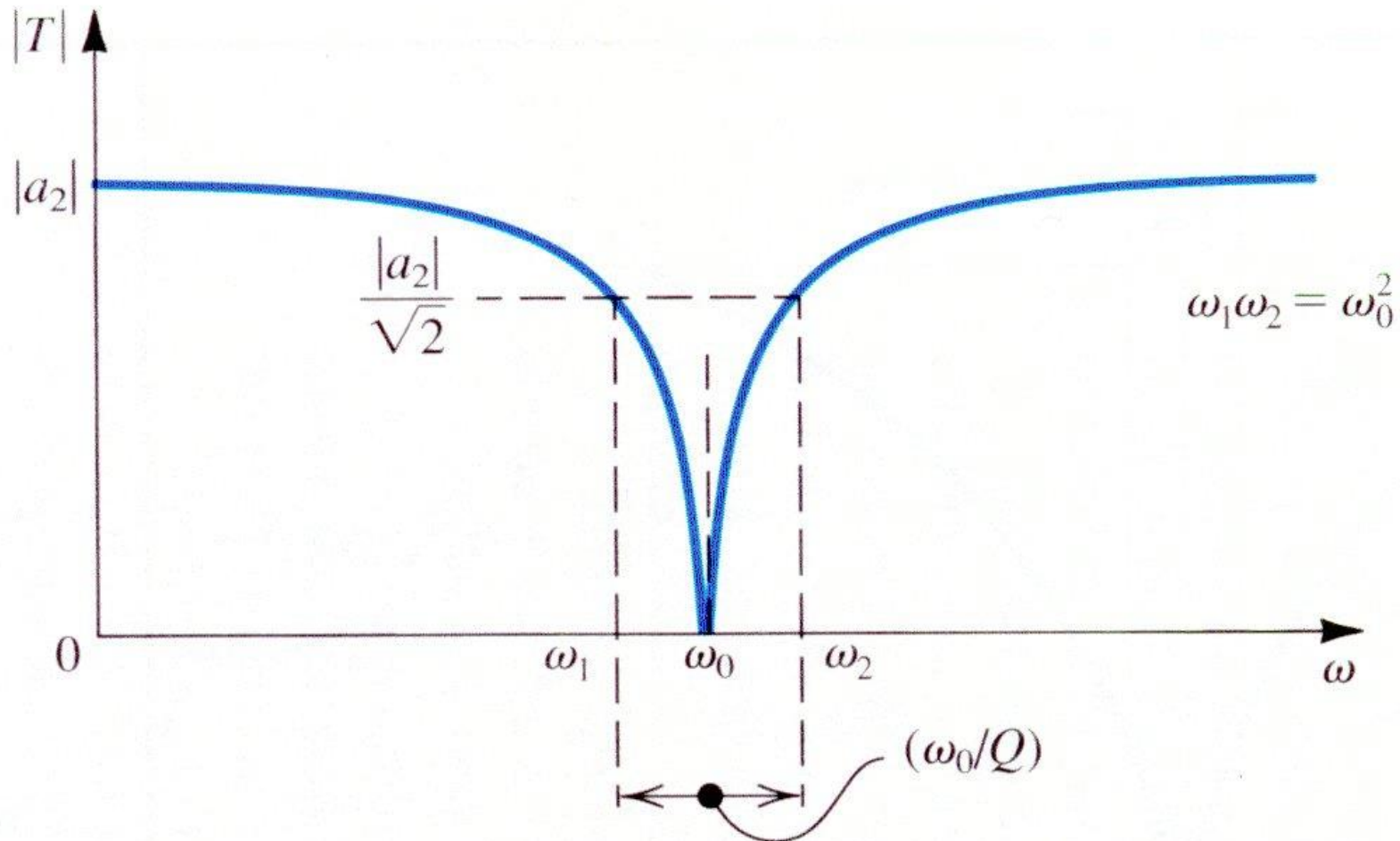
Filtros



Filtros

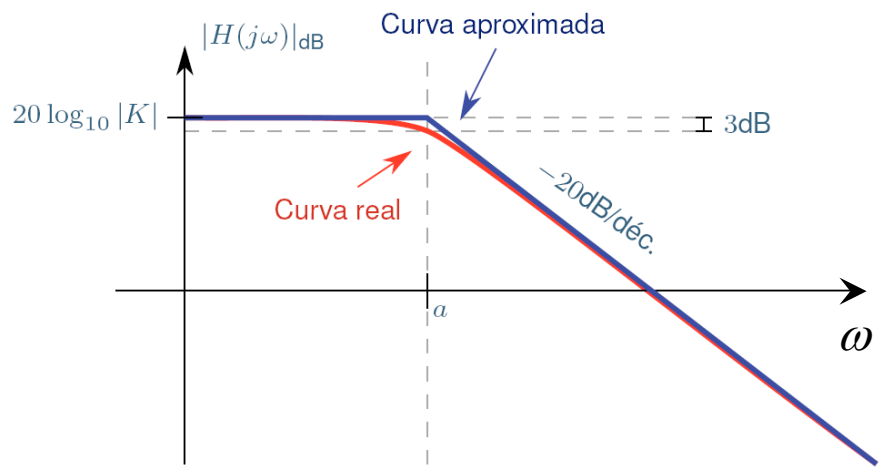


Filtros



Filtros passa-baixo

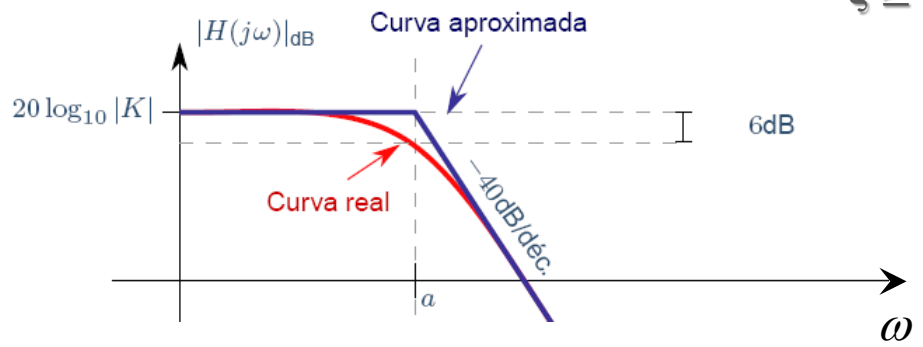
➤ 1ª ordem



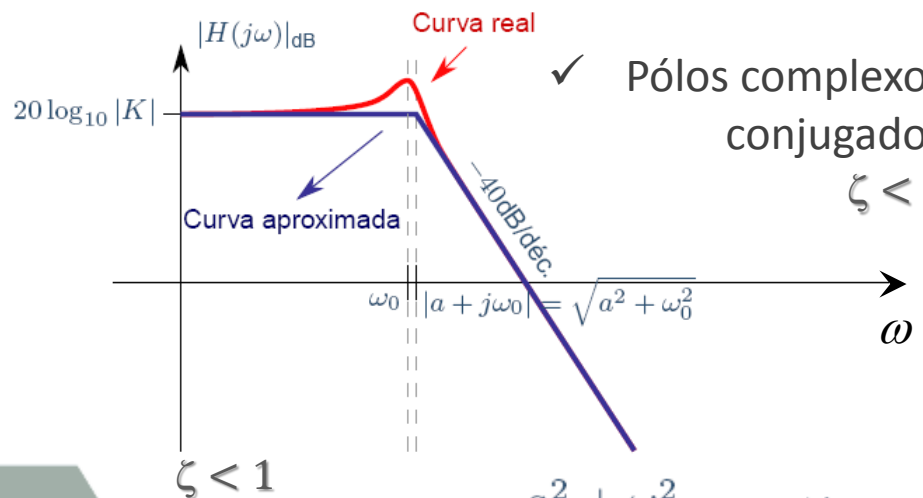
$$H(s) = K \frac{a}{s + a}$$

➤ 2ª ordem

✓ Pólos reais
 $\zeta \geq 1$



se $\zeta = 1$ $H(s) = K \frac{a^2}{(s + a)^2}$

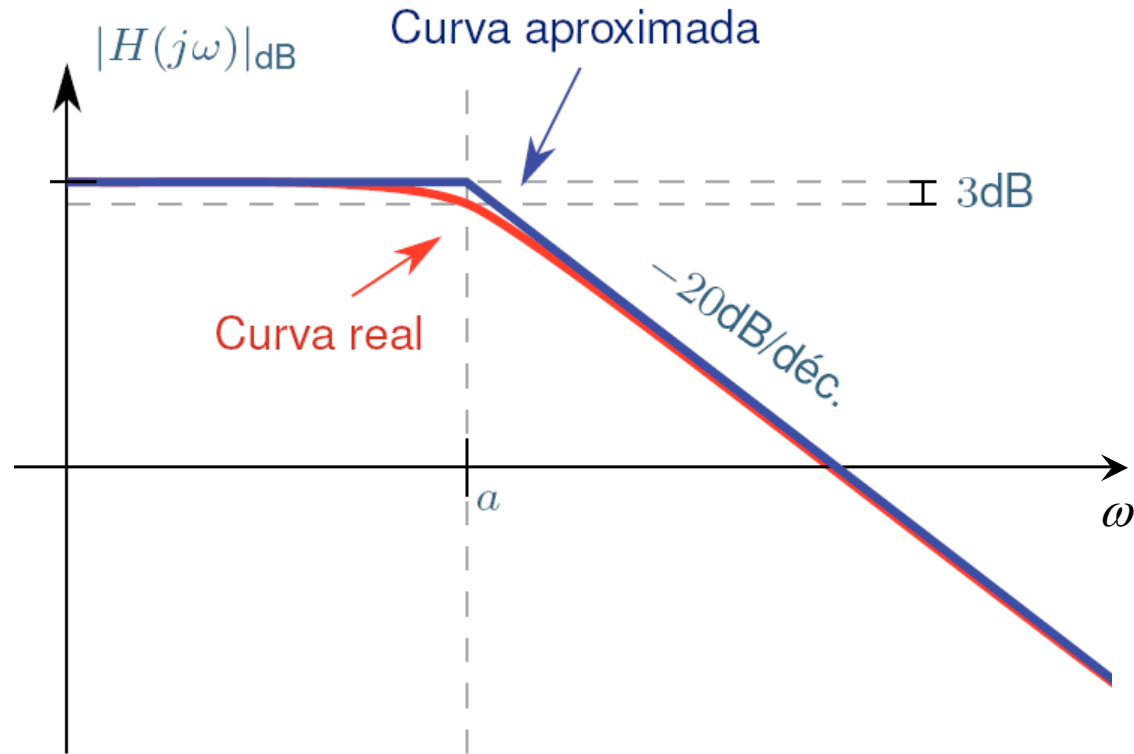
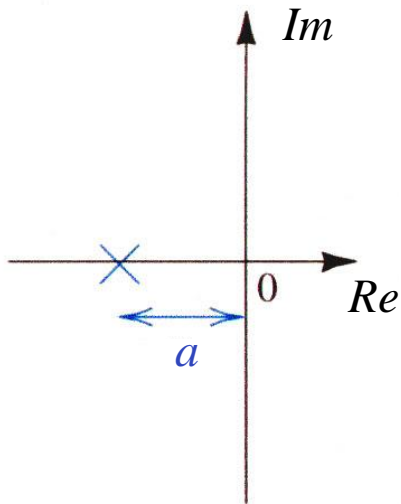


✓ Pólos complexos conjugados
 $\zeta < 1$

$$H(s) = K \frac{a^2 + \omega_0^2}{\omega_0} \frac{\omega_0}{(s + a)^2 + \omega_0^2}$$

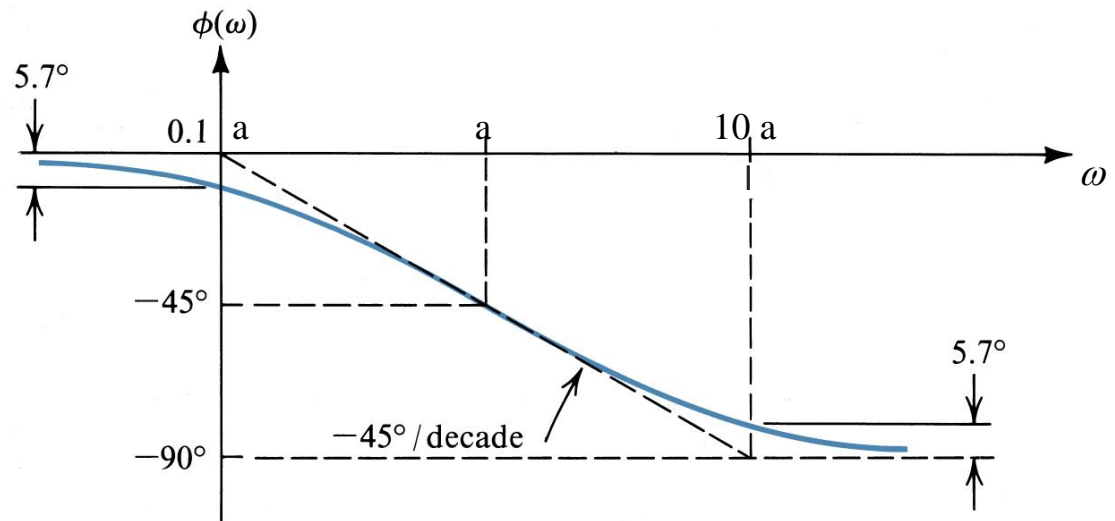
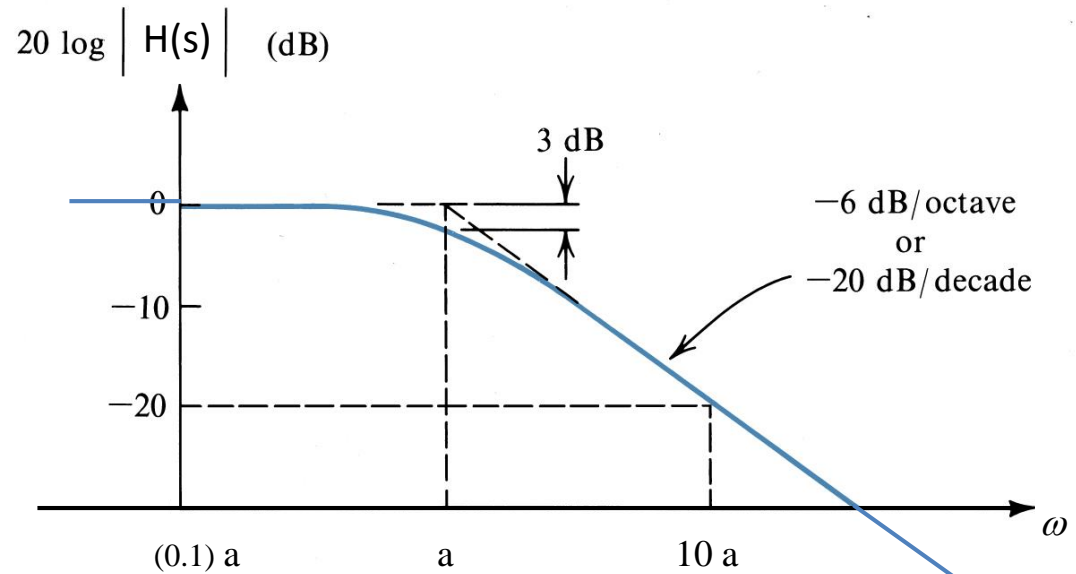
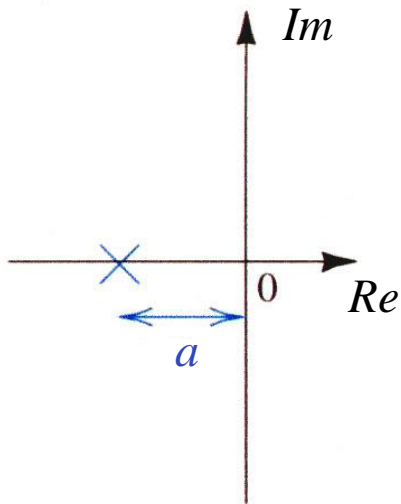
Filtro passa-baixo

$$H(s) = \frac{a}{s + a}$$



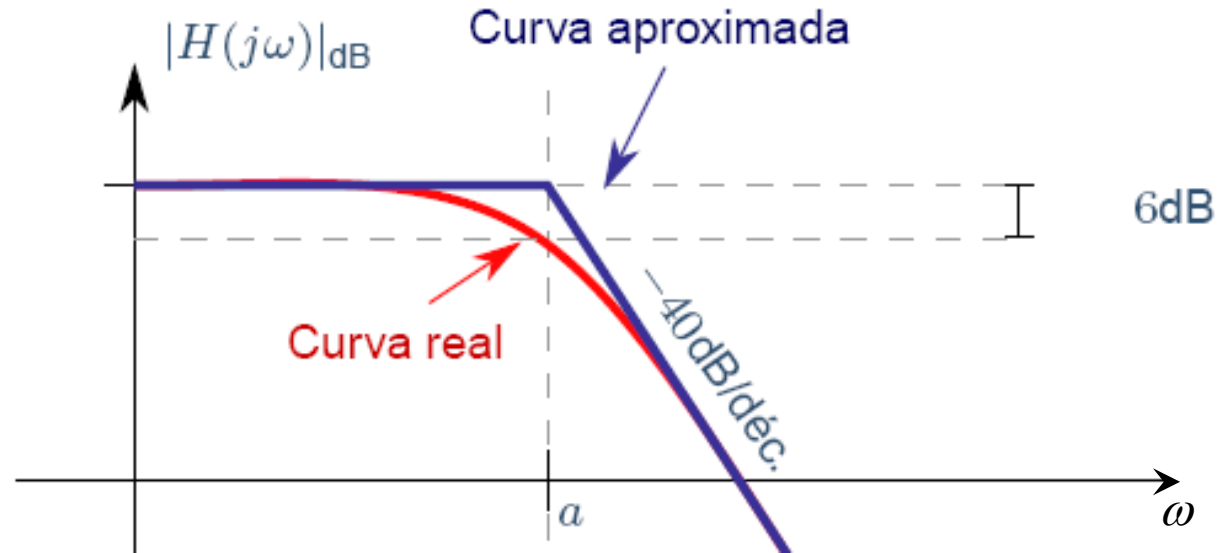
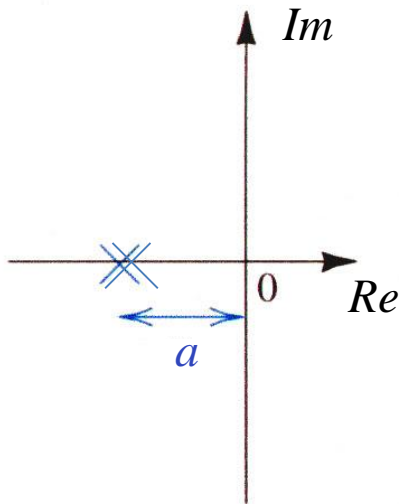
Filtro passa-baixo

$$H(s) = \frac{a}{s + a}$$



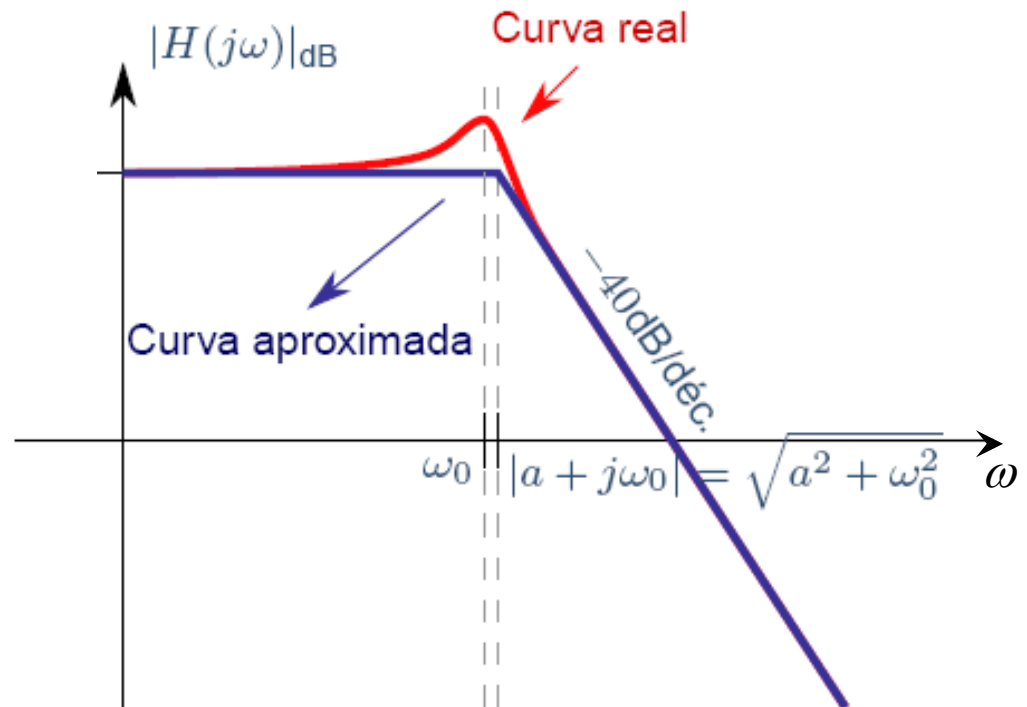
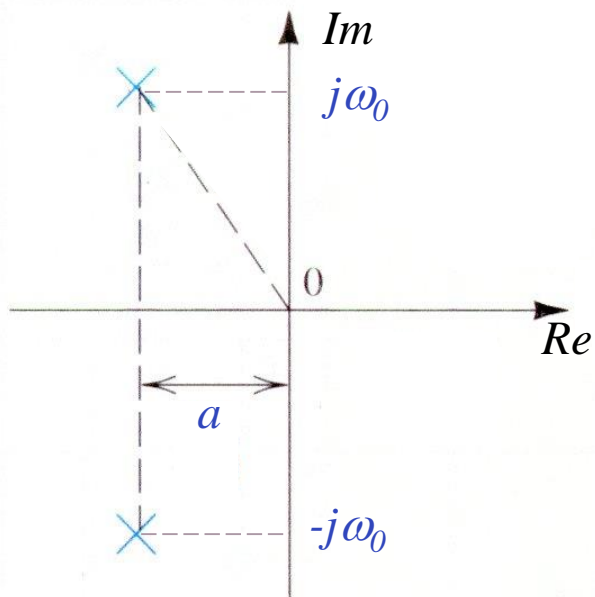
Filtro passa-baixo

$$H(s) = \frac{a^2}{(s+a)^2}$$

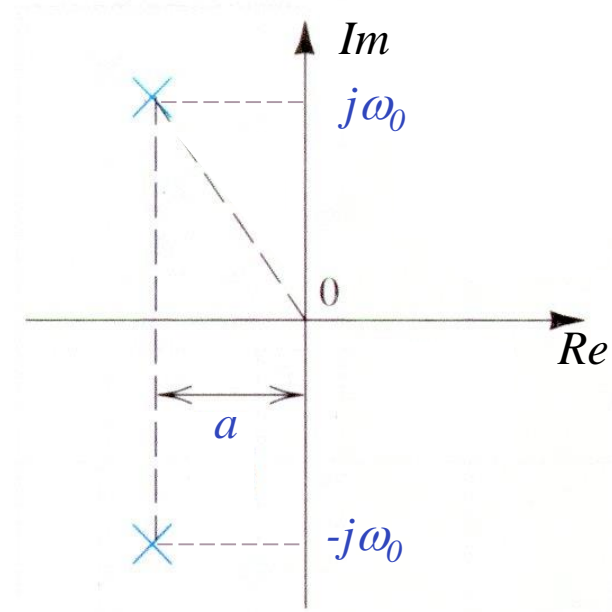
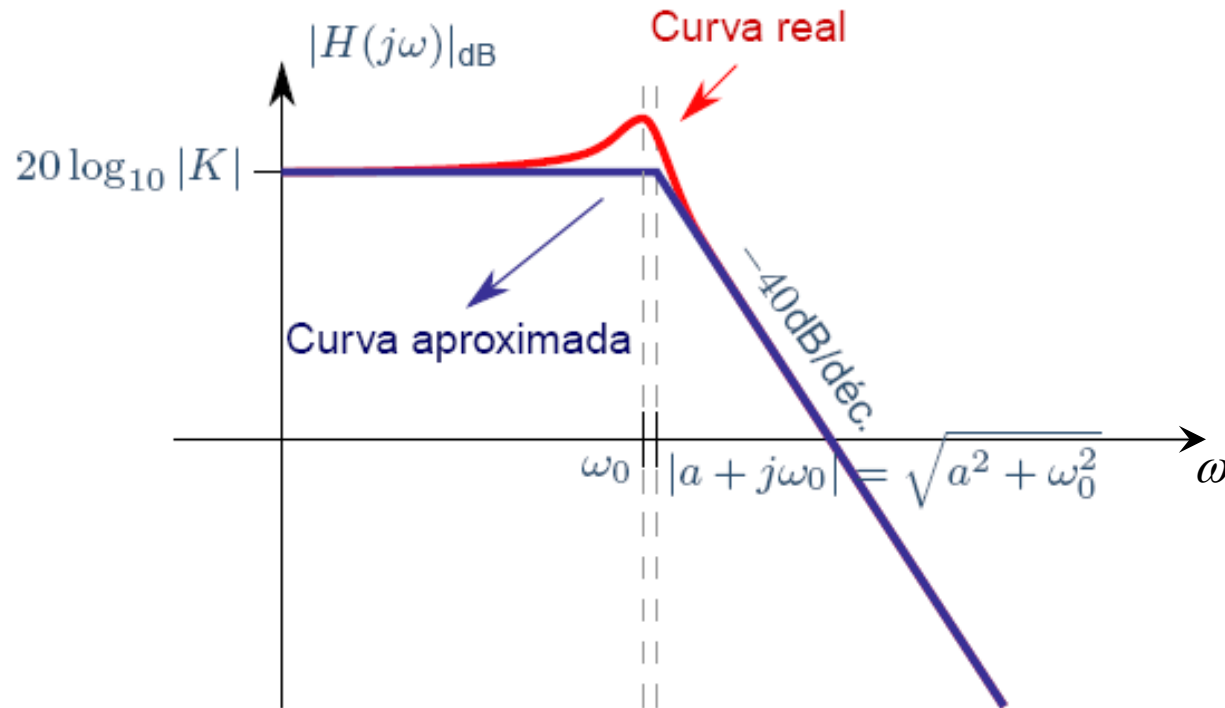


Filtro passa-baixo

$$H(s) = \frac{a^2 + \omega_0^2}{(s + a)^2 + \omega_0^2}$$

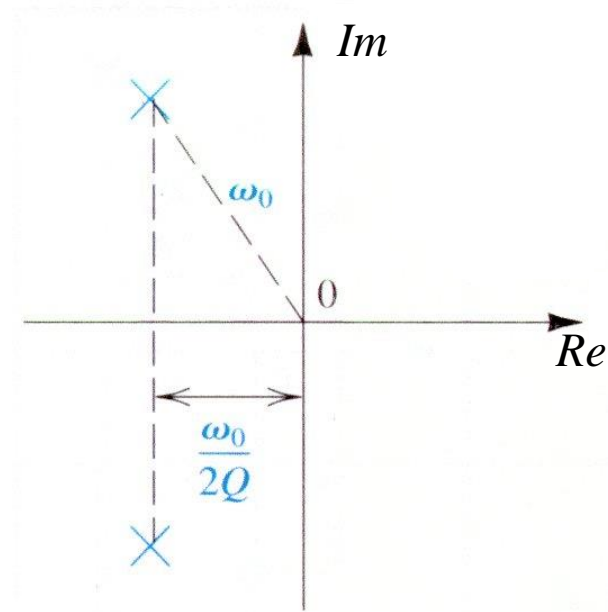
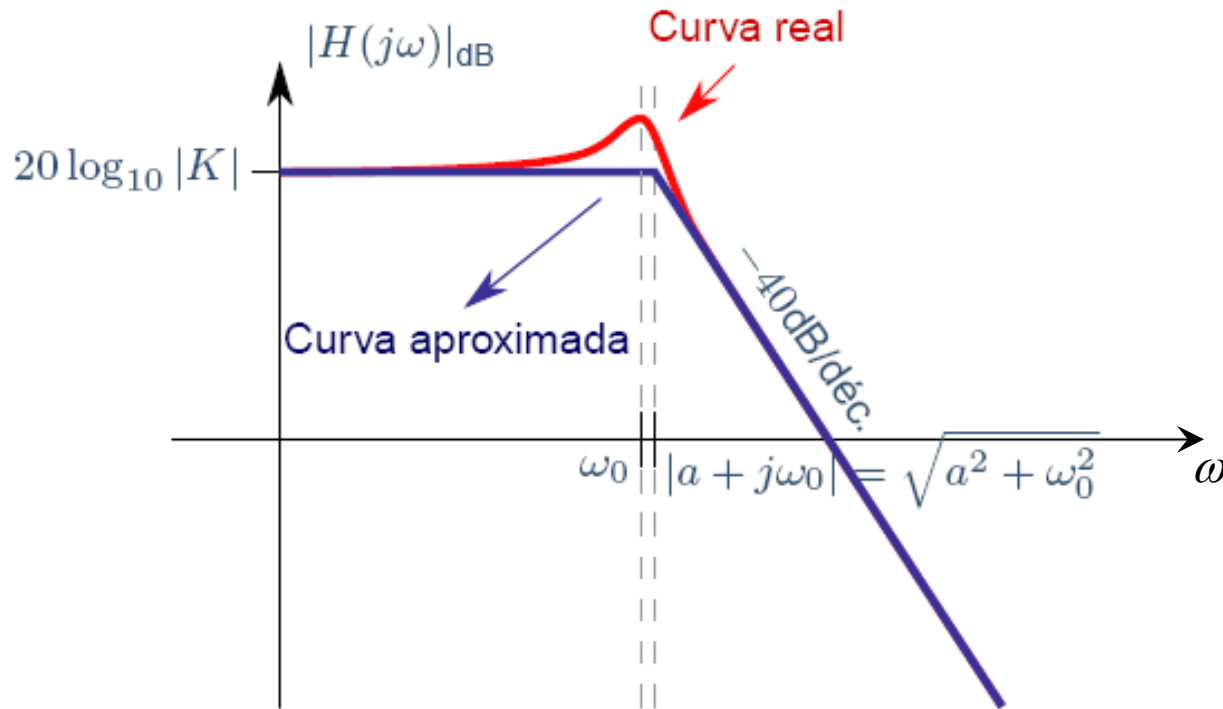


Filtro passa-baixo



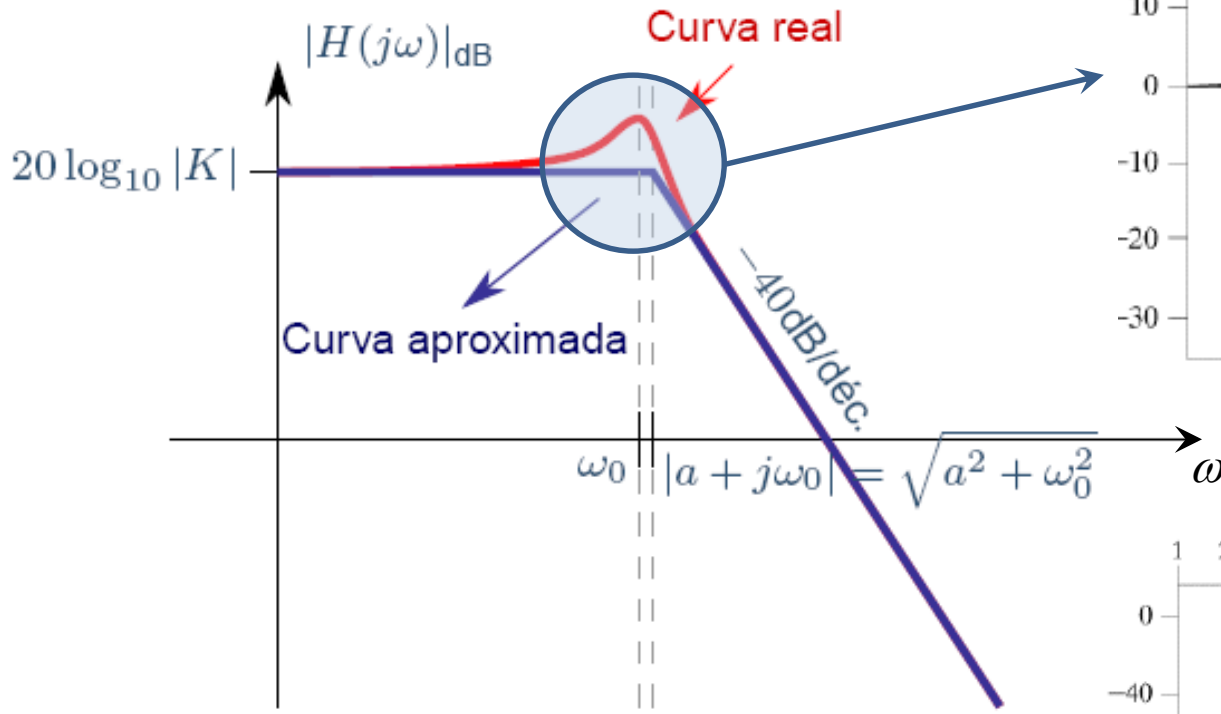
$$H(s) = K \cdot \frac{a^2 + \omega_0^2}{(s + a)^2 + \omega_0^2}$$

Filtro passa-baixo

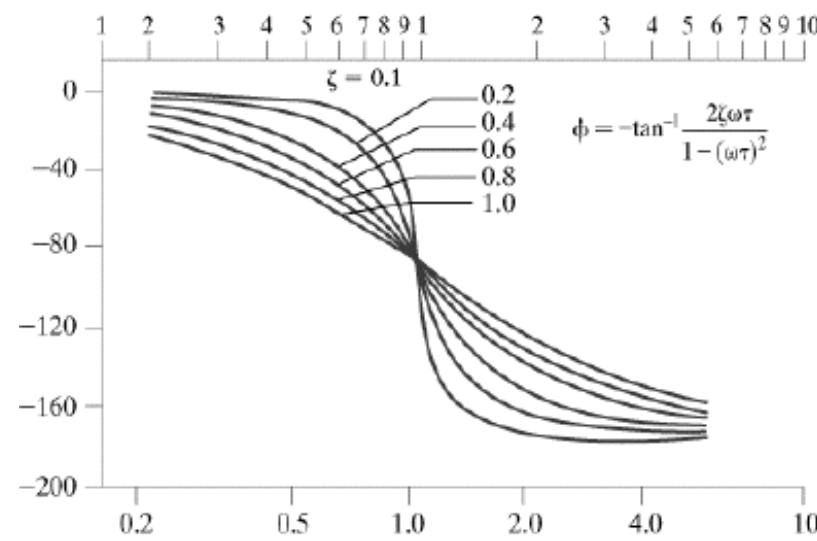
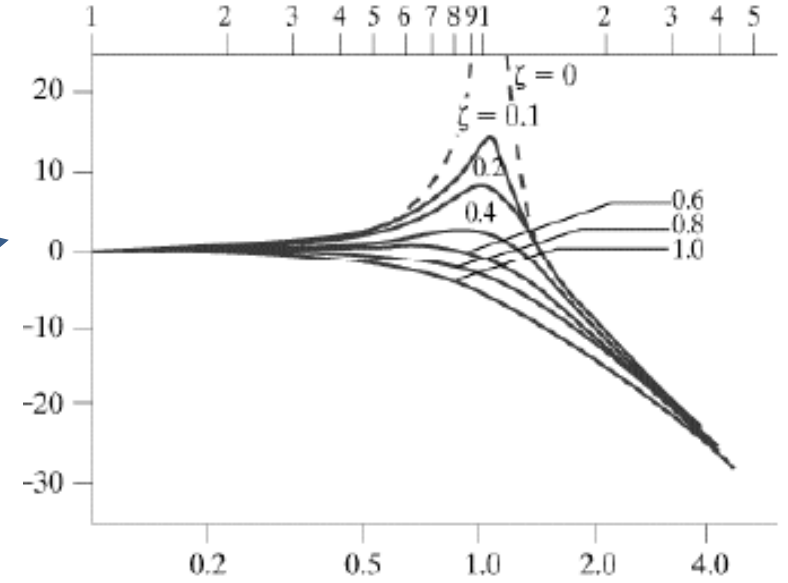


$$H(s) = K \cdot \frac{\omega_0^2}{s^2 + 2\zeta\omega_0s + \omega_0^2} = K \cdot \frac{\omega_0^2}{s^2 + \frac{\omega_0s}{Q} + \omega_0^2} \quad \zeta = \frac{1}{2Q}$$

Filtro passa-baixo



$$H(s) = K \cdot \frac{\omega_0^2}{s^2 + 2\zeta\omega_0 s + \omega_0^2}$$

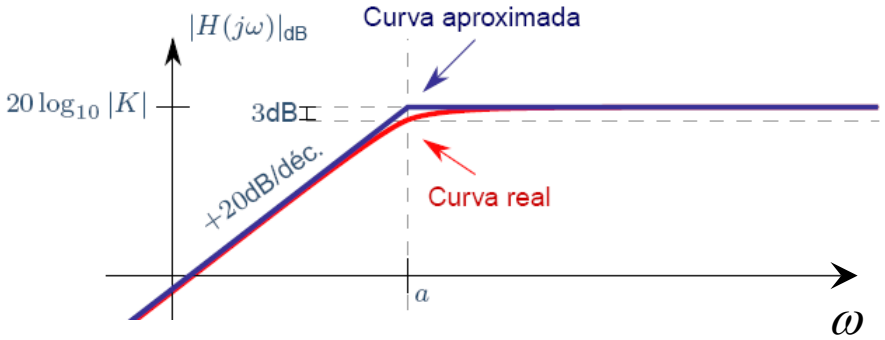


CC > 119 Efeito de ζ (ou Q) no comportamento

Filtro passa-baixo
par de pólos complexos conjugados
para $\zeta < 1$ $s = -\omega_0\zeta \pm j\omega_0\sqrt{1 - \zeta^2}$

Filtros passa-alto

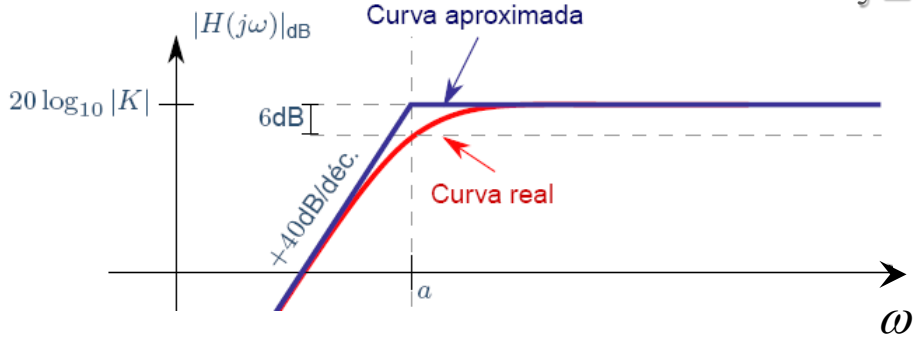
➤ 1ª ordem



$$H(s) = K \frac{s}{s + a}$$

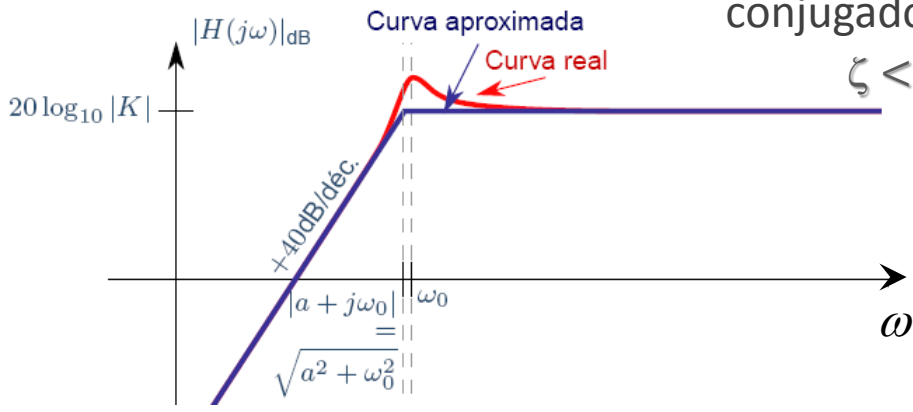
➤ 2ª ordem

✓ Pólos reais
 $\zeta \geq 1$



se $\zeta = 1$ $H(s) = K \frac{s^2}{(s + a)^2}$

✓ Pólos complexos conjugados
 $\zeta < 1$

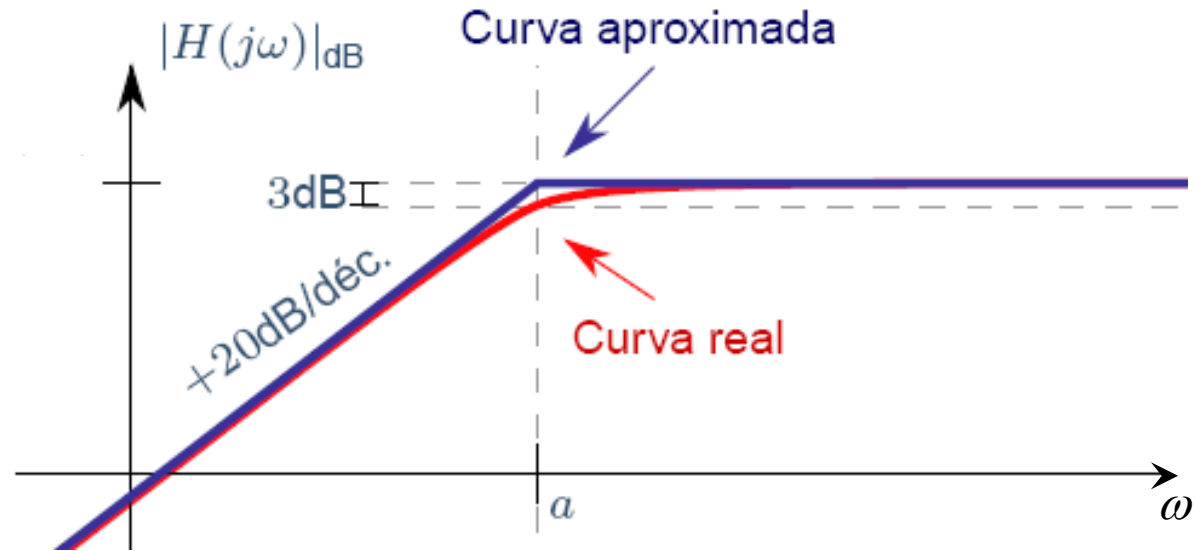
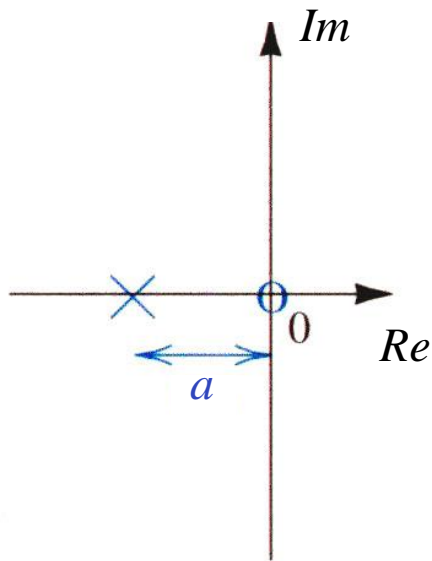


$\zeta < 1$

$$H(s) = K \frac{s^2}{(s + a)^2 + \omega_0^2}$$

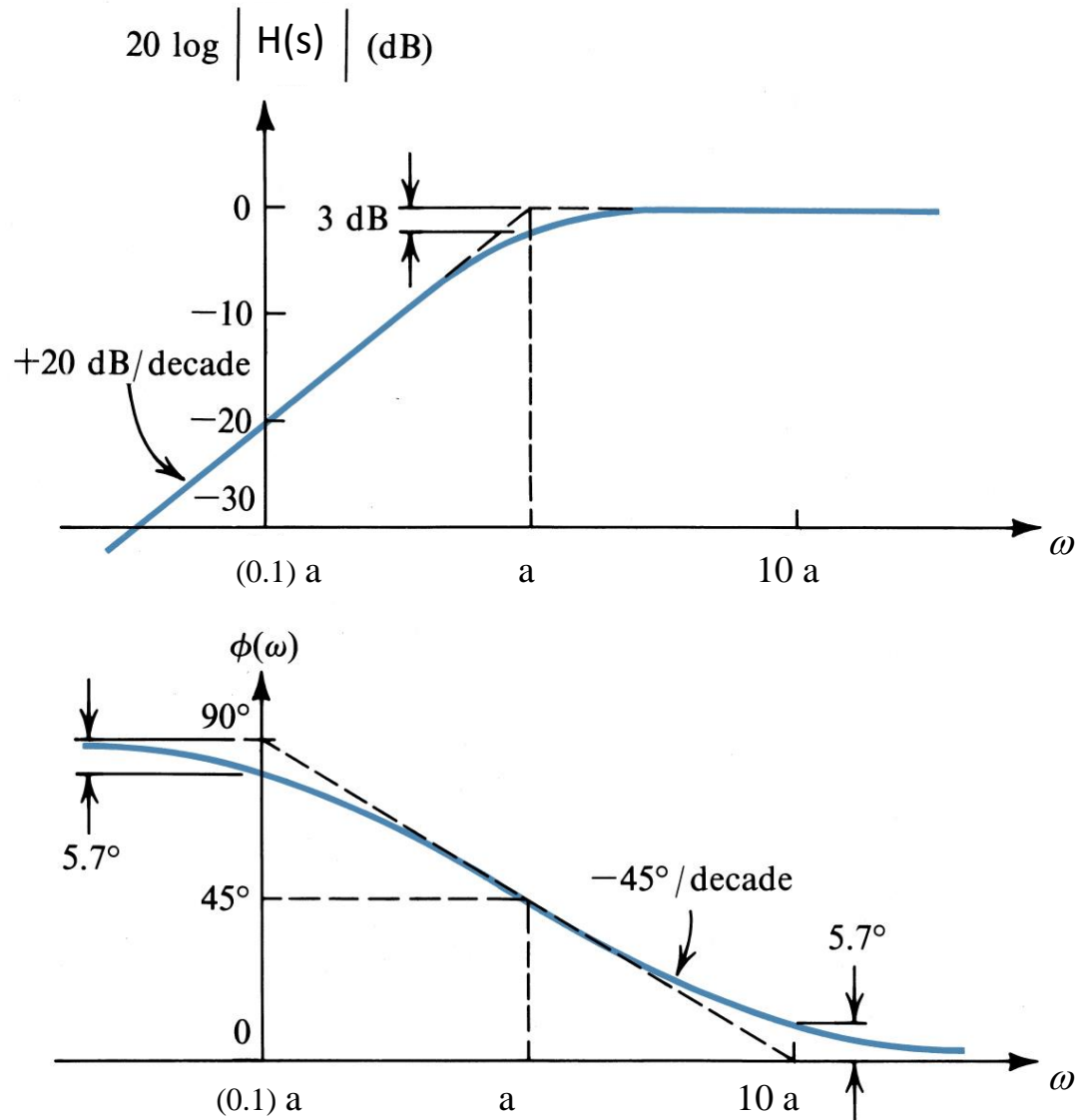
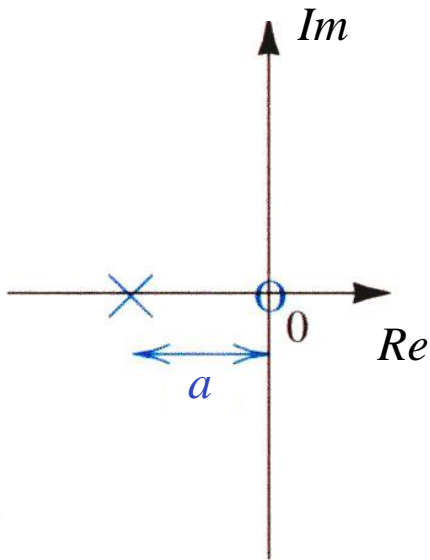
Filtro passa-alto

$$H(s) = \frac{s}{(s+a)}$$



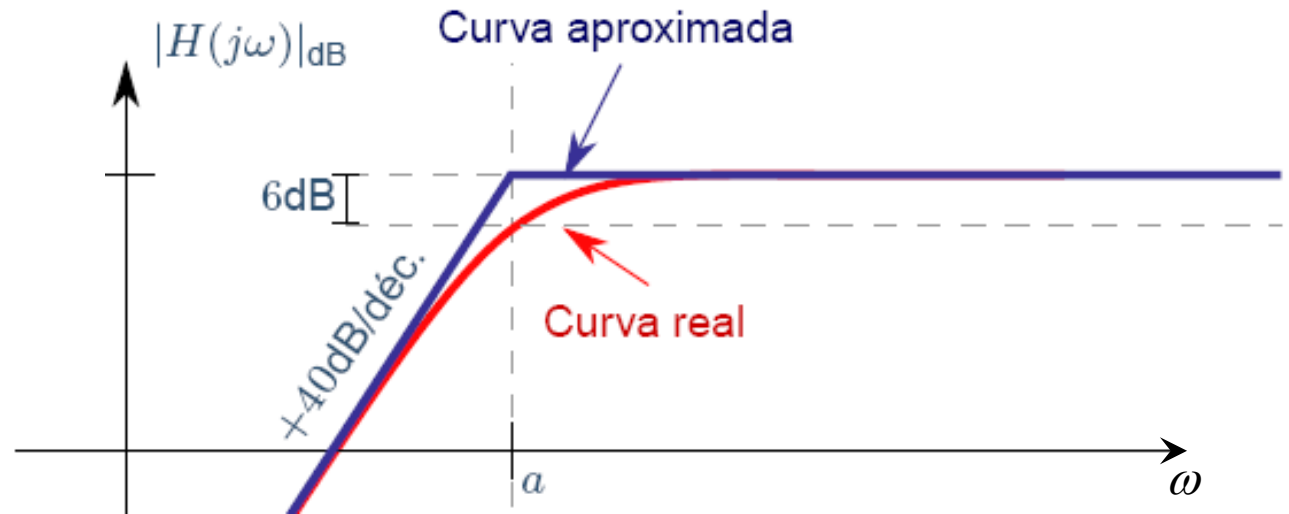
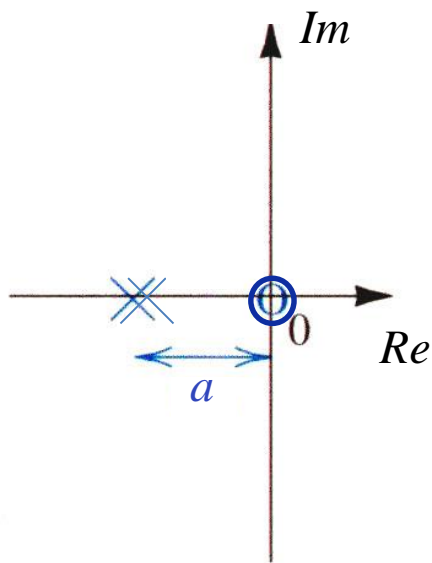
Filtro passa-alto

$$H(s) = \frac{s}{(s + a)}$$



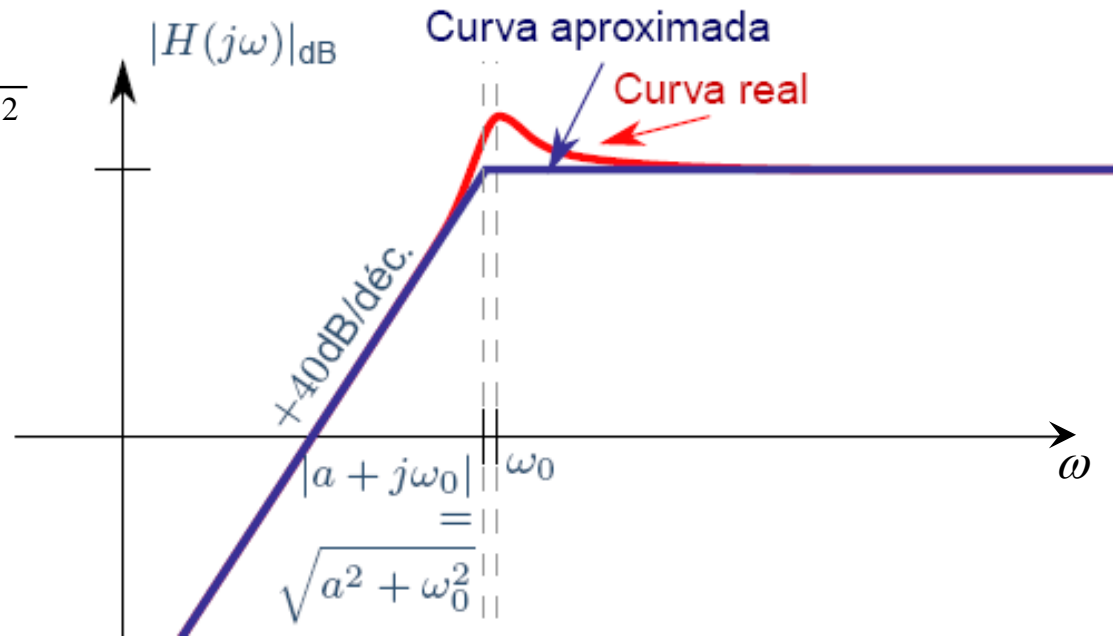
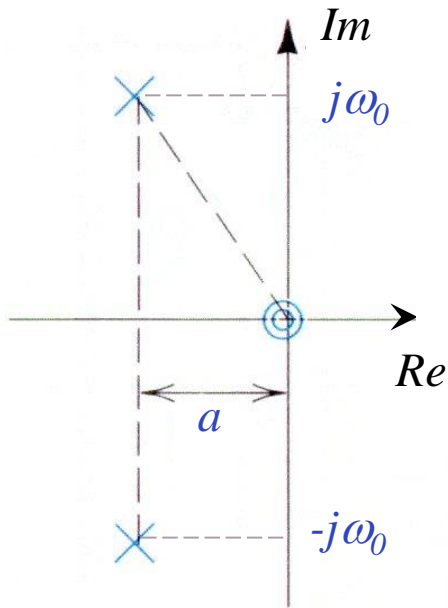
Filtro passa-alto

$$H(s) = \frac{s^2}{(s+a)^2}$$



Filtro passa-alto

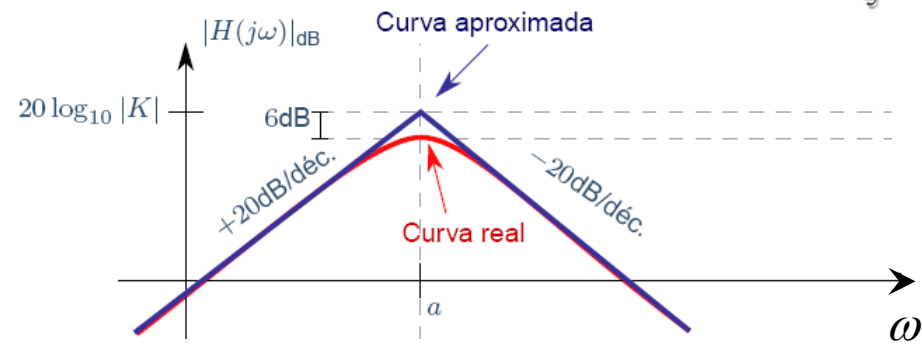
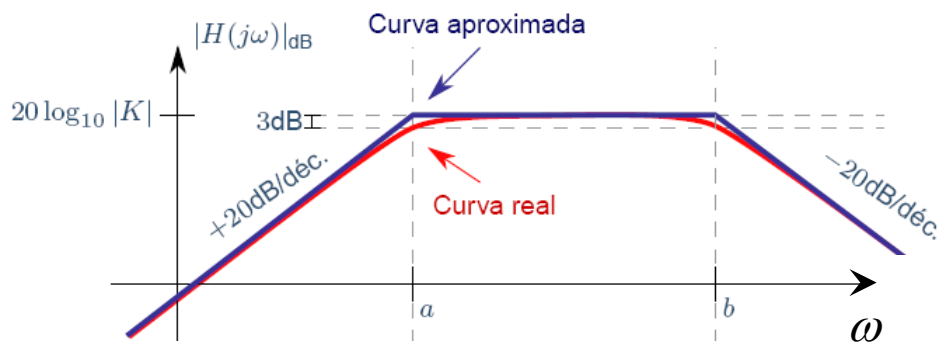
$$H(s) = K \cdot \frac{s^2}{(s + a)^2 + \omega_0^2}$$



Filtros passa-banda

✓ Pólo real duplo
 $\zeta = 1$

✓ Pólos reais
 (não-sobrepostos)
 $\zeta > 1$

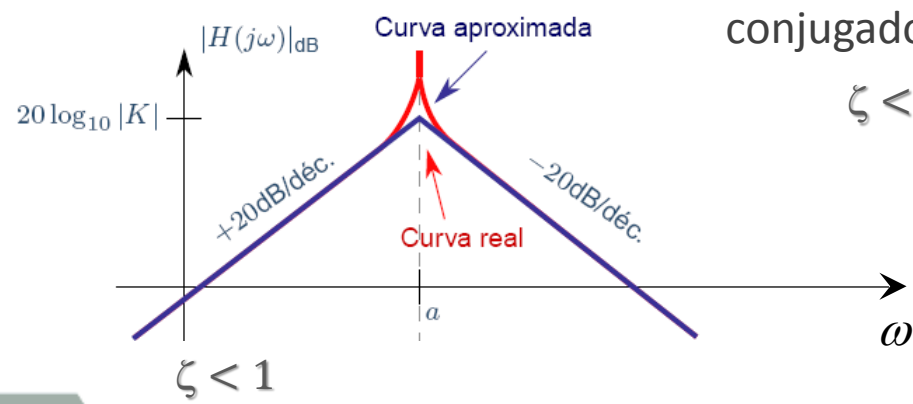


$\zeta = 1$ $H(s) = K \frac{s}{(s + a)^2}$

Passa-baixo

$$H(s) = K \underbrace{\frac{s}{s + a}}_{\text{Passa-alto}} \underbrace{\frac{b}{s + b}}_{\text{Passa-baixo}}$$

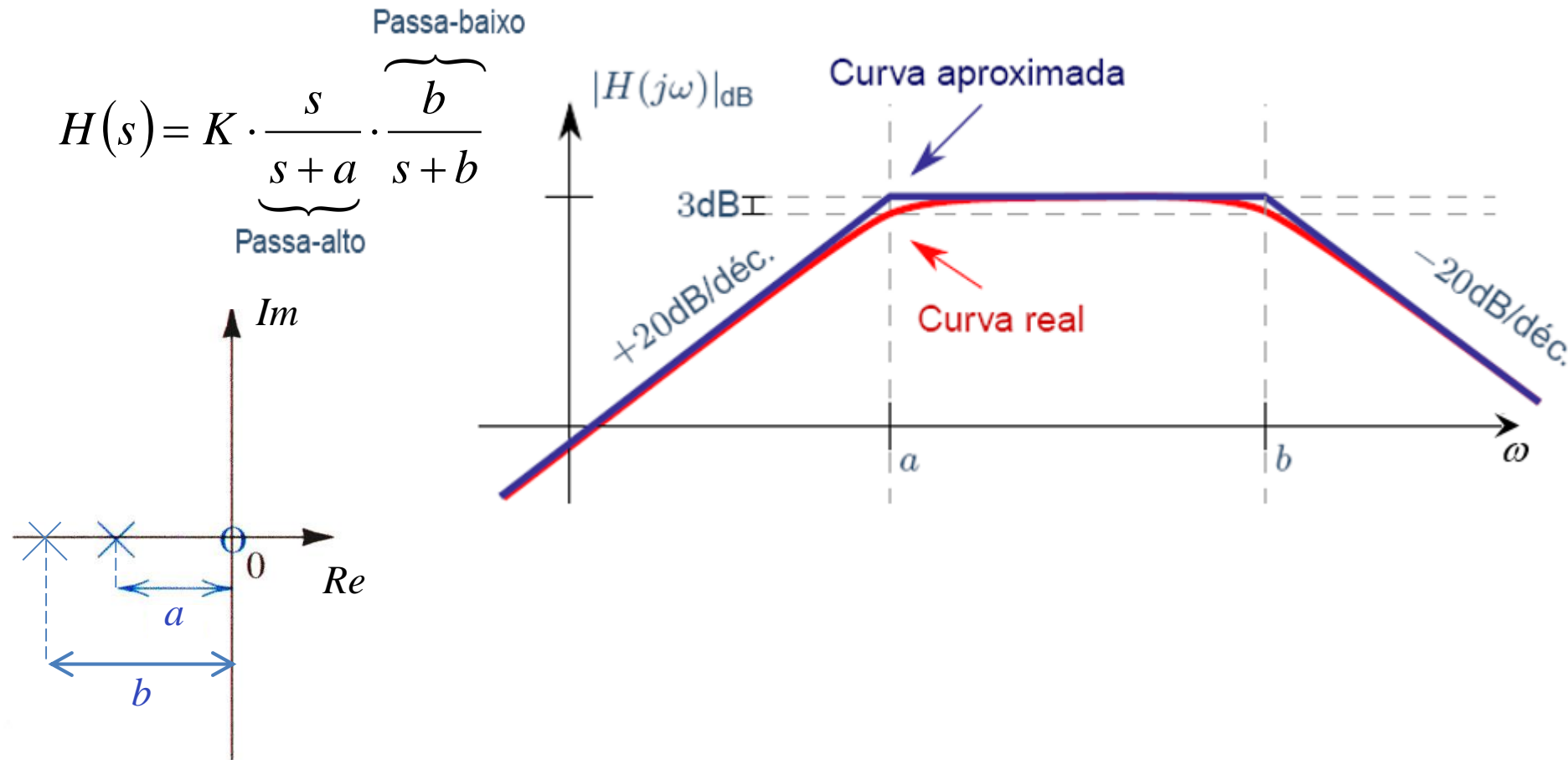
✓ Pólos complexos conjugados
 $\zeta < 1$



$\zeta < 1$

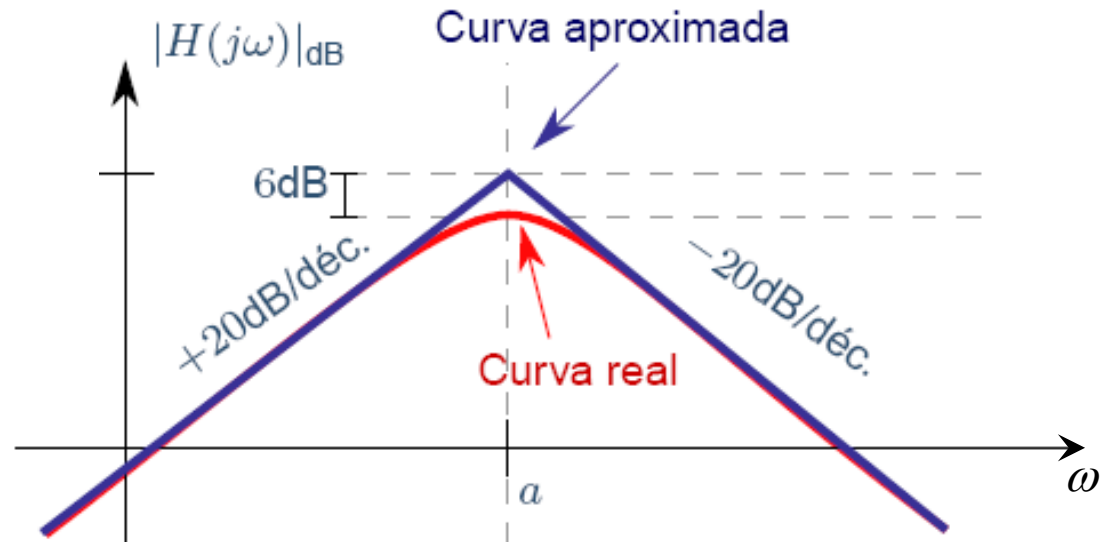
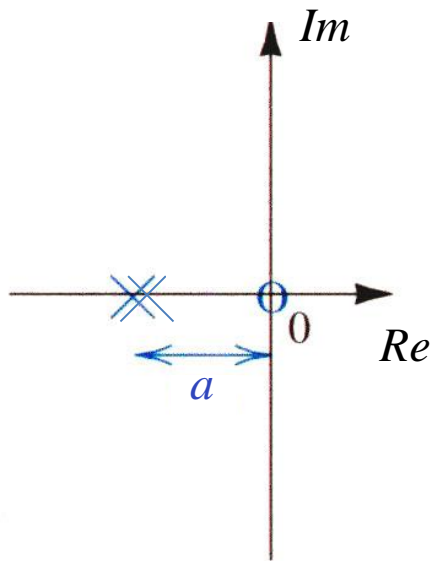
$$H(s) = K \frac{s}{(s + a)^2 + \omega_0^2}$$

Filtro passa-banda



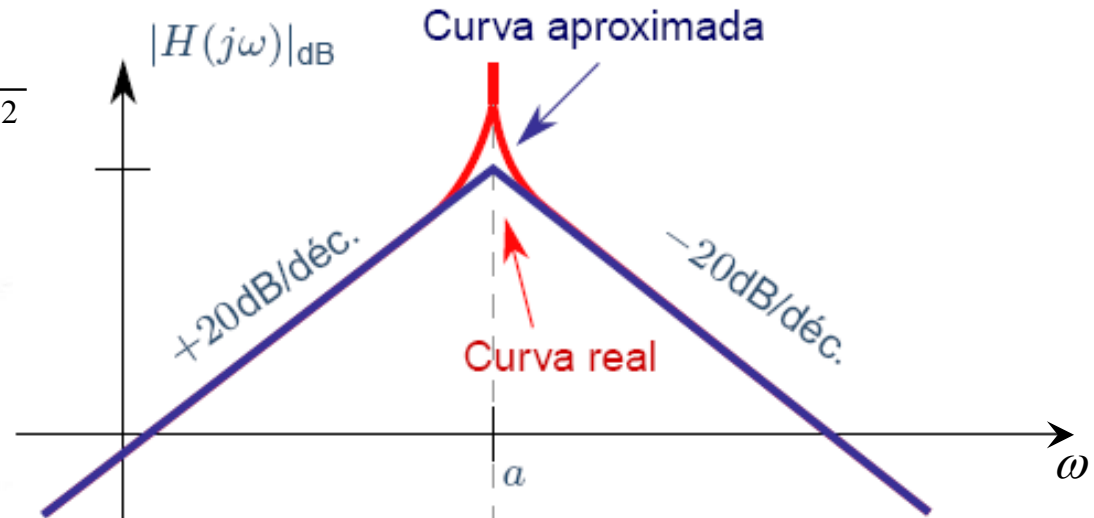
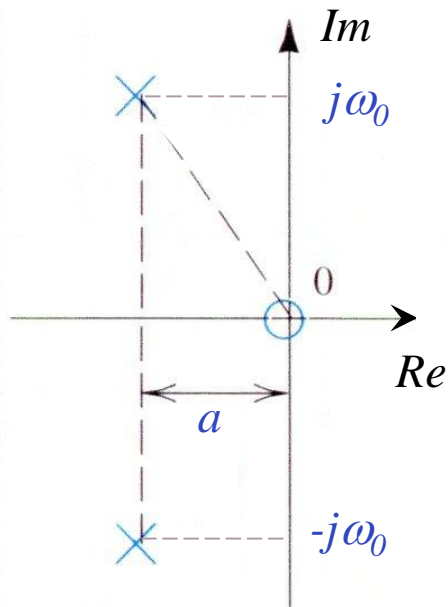
Filtro passa-banda

$$H(s) = K \cdot \frac{s \cdot a}{(s + a)^2}$$

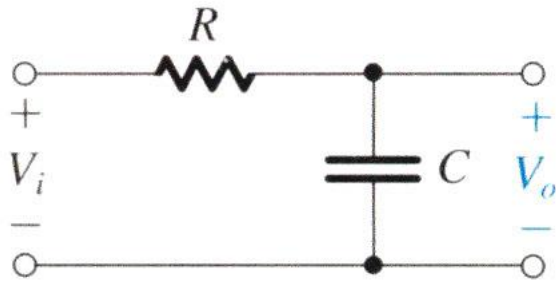


Filtro passa-banda

$$H(s) = K \cdot \frac{s}{(s + a)^2 + \omega_0^2}$$



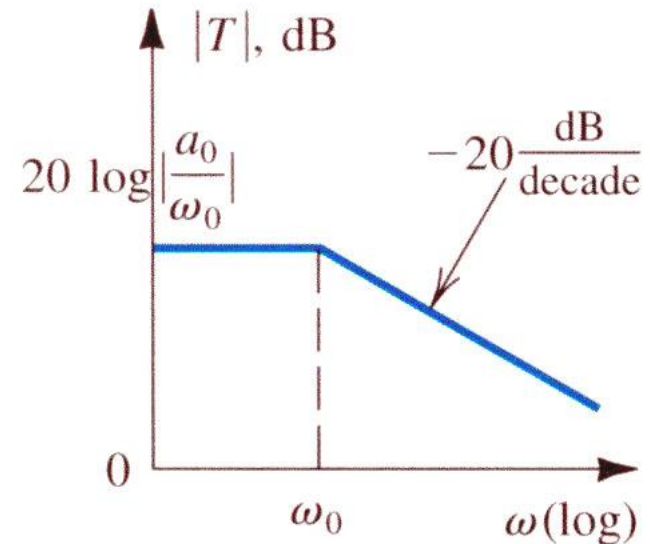
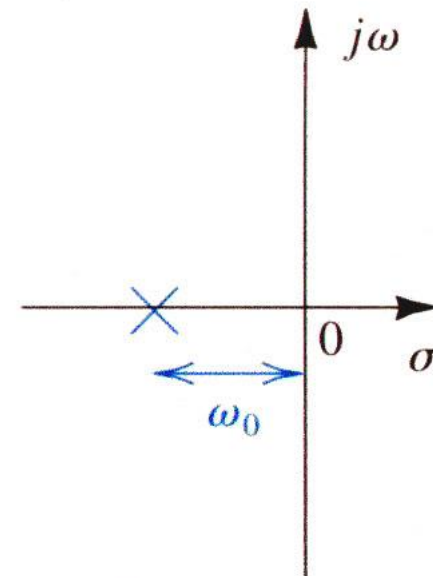
Filtro passa-baixo



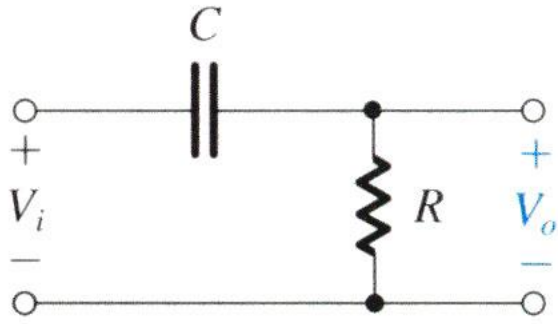
$$CR = \frac{1}{\omega_0}$$

dc gain = 1

$$T(s) = \frac{a_0}{s + \omega_0}$$



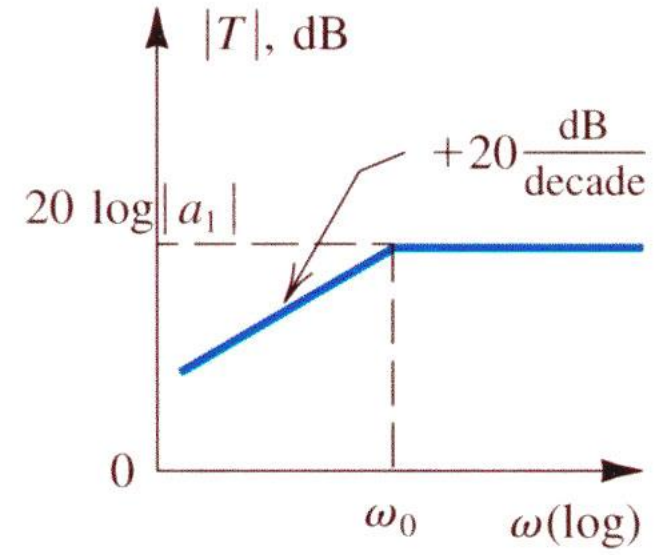
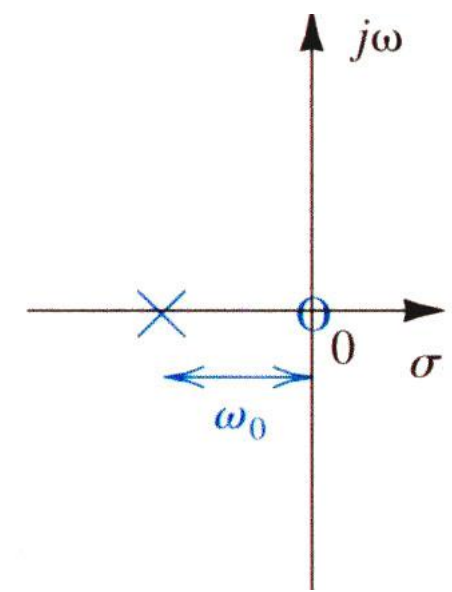
Filtro passa-alto



$$CR = \frac{1}{\omega_0}$$

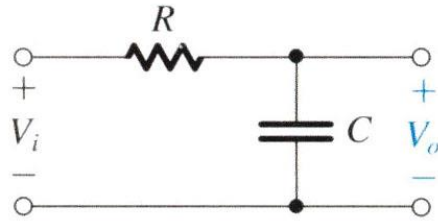
High-frequency gain = 1

$$T(s) = \frac{a_1 s}{s + \omega_0}$$



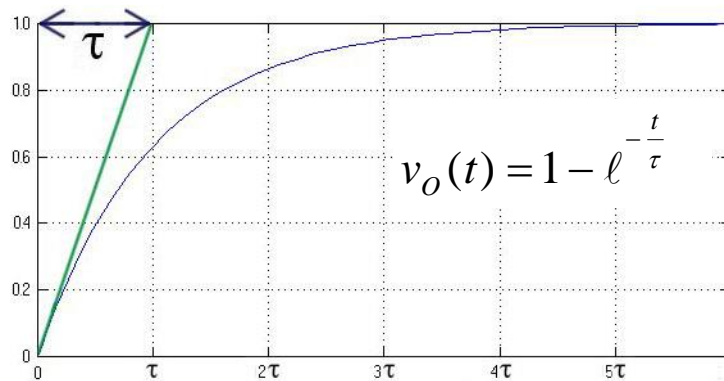
Filtros

$$H(S) = \frac{v_o(S)}{v_i(S)} = \frac{1/SC}{1/SC + R} = \frac{1}{SCR + 1}$$

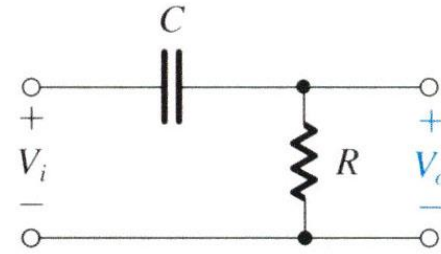


$$v_o(t) + RC \frac{\partial v_o(t)}{\partial t} = v_i(t)$$

$$v_o(t) = v_c(t)$$

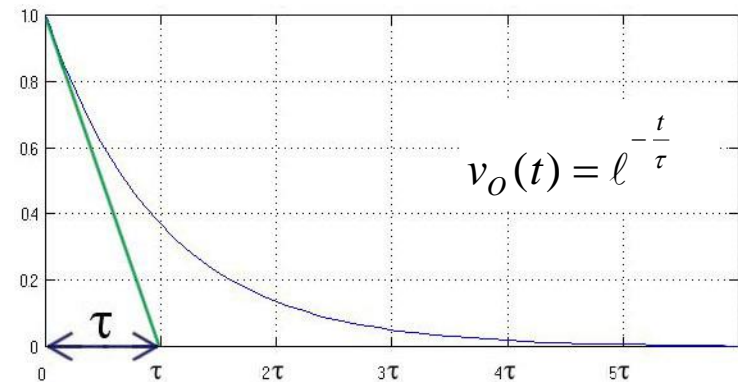


$$H(S) = \frac{v_o(S)}{v_i(S)} = \frac{R}{1/SC + R} = \frac{SCR}{SCR + 1}$$

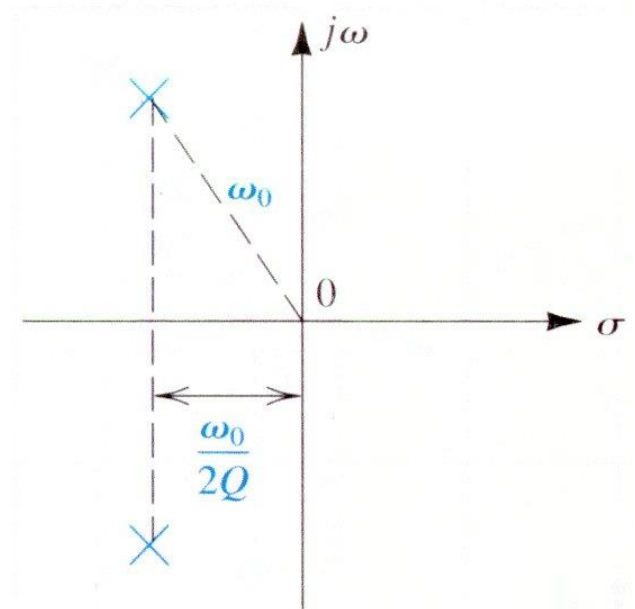
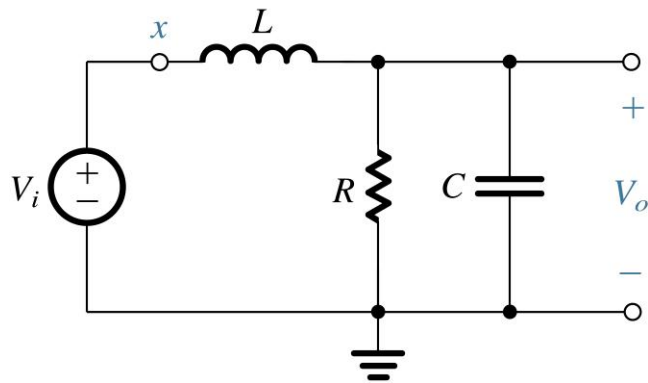


$$v_c(t) + RC \frac{\partial v_c(t)}{\partial t} = v_i(t)$$

$$v_o(t) = v_i(t) - v_c(t)$$

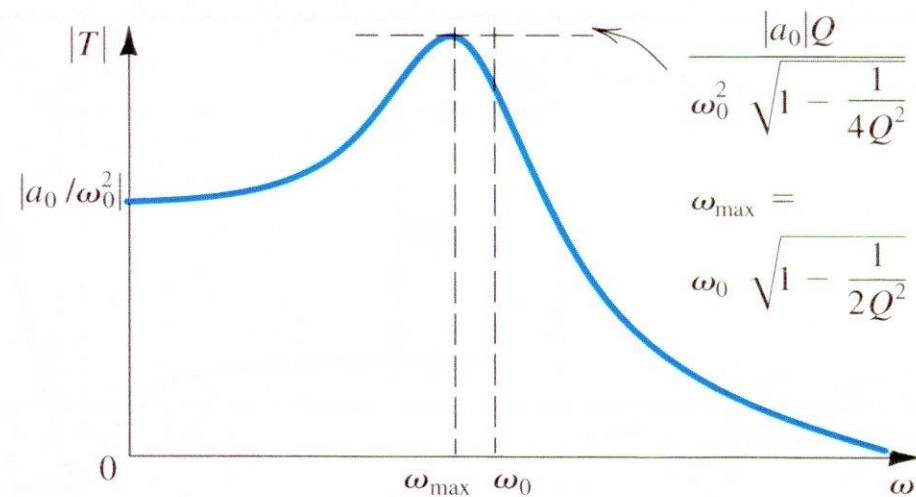


Filtros

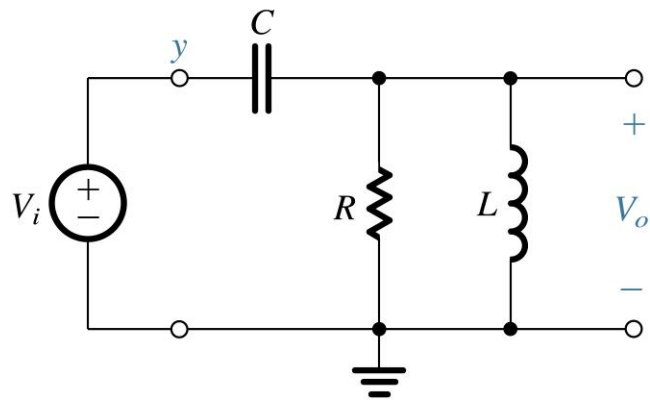


$$T(s) = \frac{a_0}{s^2 + s \frac{\omega_0}{Q} + \omega_0^2}$$

$$\text{dc gain} = \frac{a_0}{\omega_0^2}$$

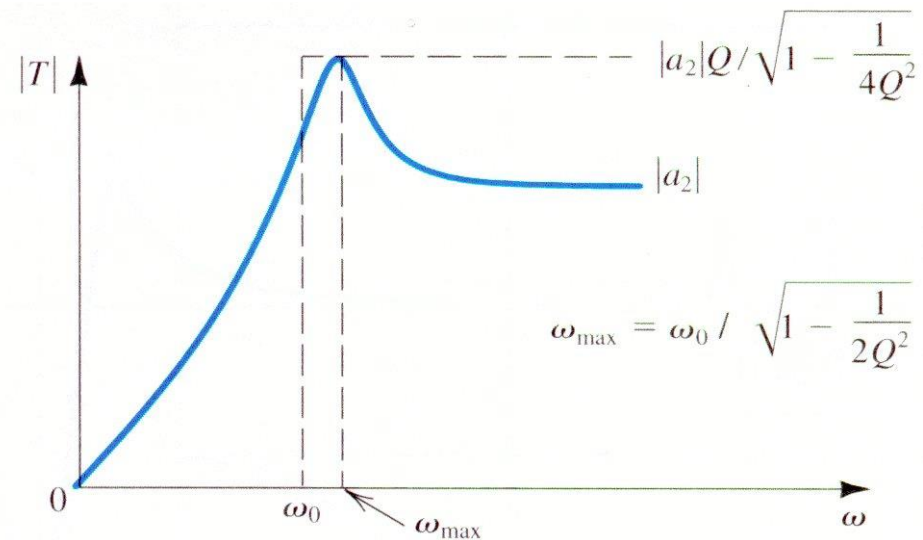
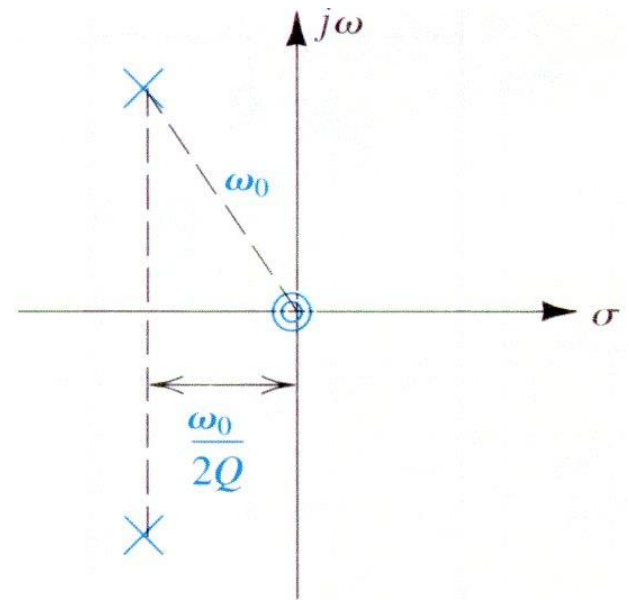


Filtros

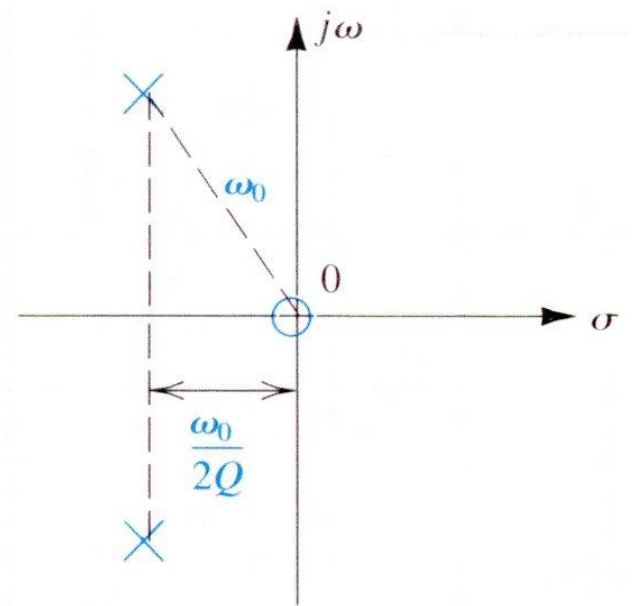
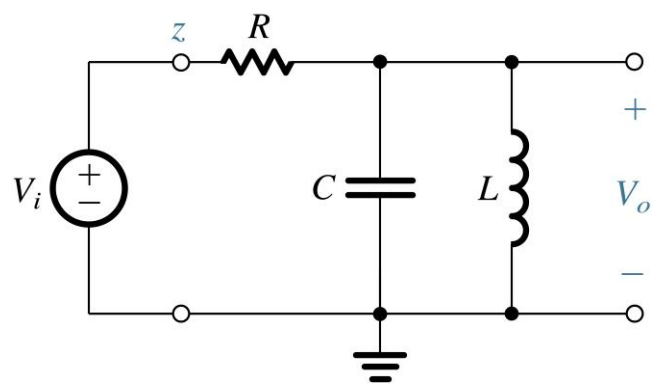


$$T(s) = \frac{a_2 s^2}{s^2 + s \frac{\omega_0}{Q} + \omega_0^2}$$

High-frequency gain
= a_2



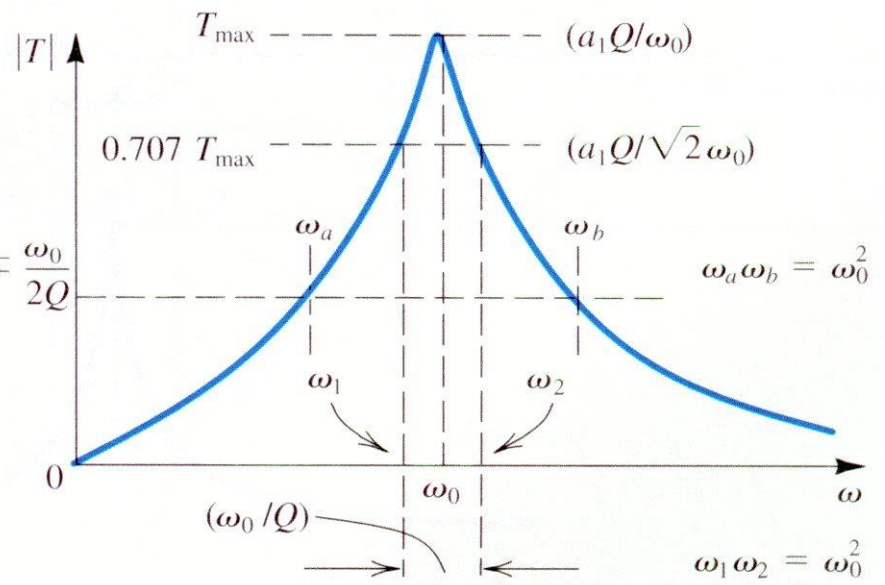
Filtros



$$T(s) = \frac{a_1 s}{s^2 + s \frac{\omega_0}{Q} + \omega_0^2}$$

Center-frequency gain
 $= \frac{a_1 Q}{\omega_0}$

$$\omega_1, \omega_2 = \omega_0 \sqrt{1 + \frac{1}{4Q^2}} \mp \frac{\omega_0}{2Q}$$



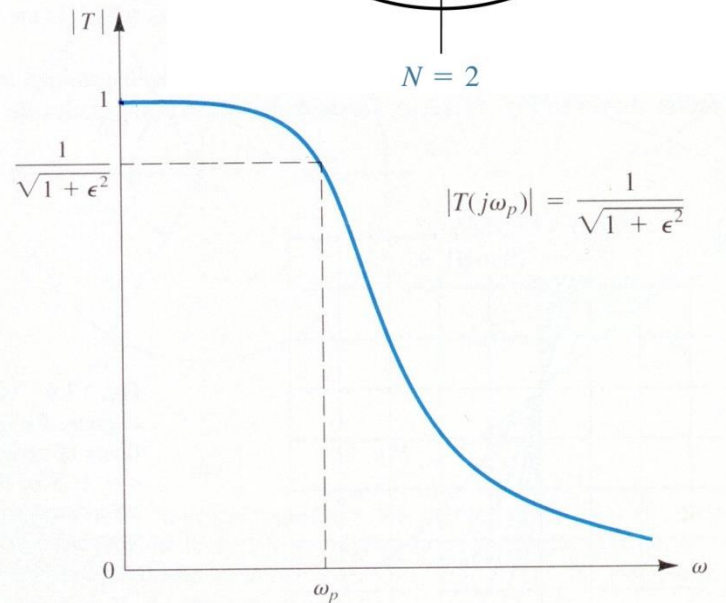
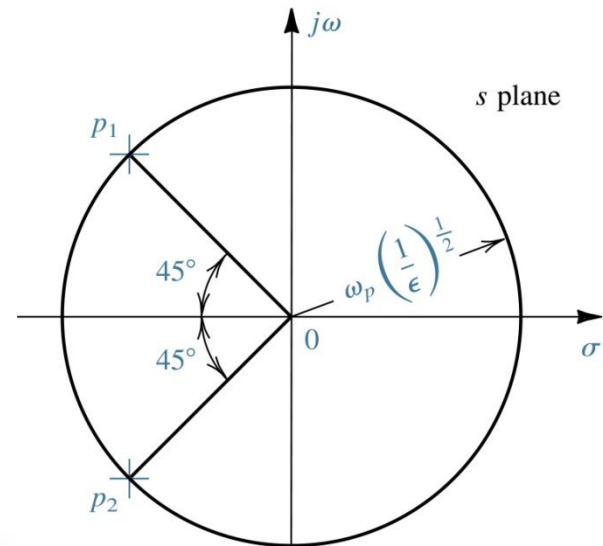
Filtros

$$T(S) = \frac{\omega_o^2}{S^2 + \frac{\omega_o S}{Q} + \omega_o^2}$$

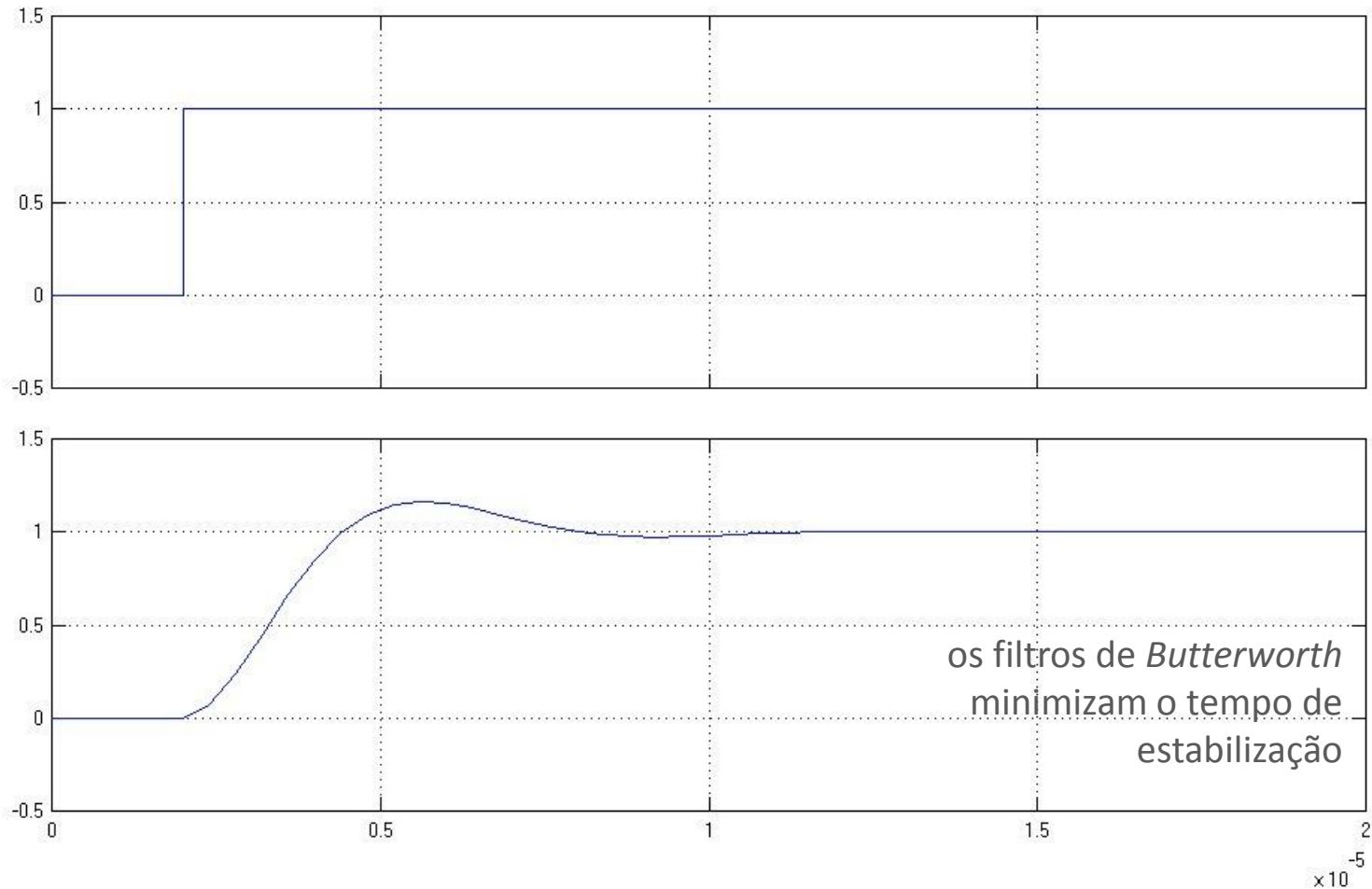
$$Q = \frac{1}{\sqrt{2}} \approx 0.707 \quad \longleftrightarrow \quad \zeta = 0.707$$

$$|T(S = j\omega_o)| = \left| \frac{\omega_o^2}{-\omega_o^2 + j \frac{\omega_o \omega_o}{Q} + \omega_o^2} \right| = Q$$

$$20 \log |T(j\omega_o)| = -3\text{dB}$$

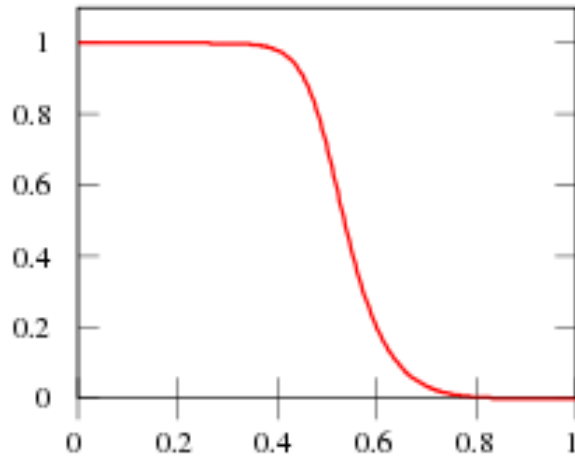


Filtros

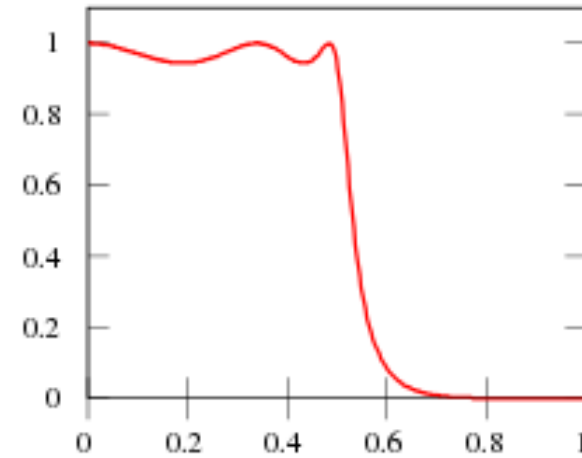


Filtros

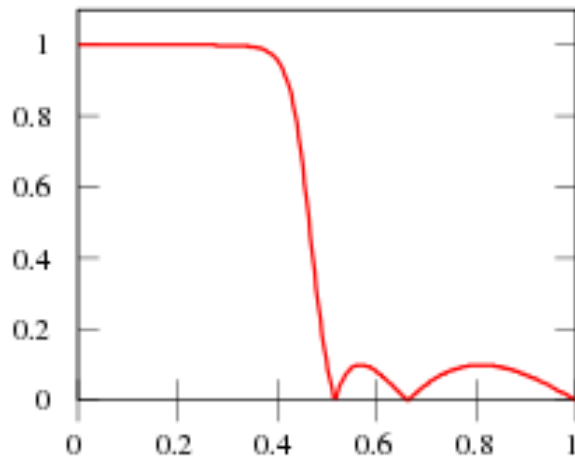
Butterworth



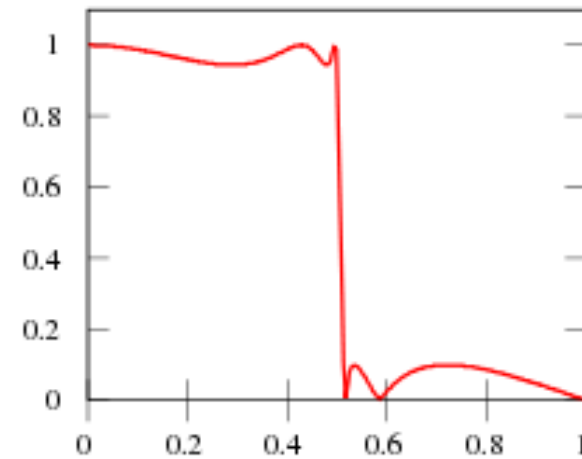
Chebyshev type 1



Chebyshev type 2



Elliptic



Sistemas de transmissão guiados e não guiados



➤ **Sistemas de transmissão guiados**

- utiliza condutores para conduzir o sinal
- as características do meio têm relevância

➤ **Sistemas de transmissão não-guiados**


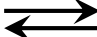
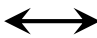
- sistemas sem fios
- a largura de banda da antena tem relevância

Meio físico de transmissão de informação

- É o caminho físico ou canal entre o emissor e o receptor num sistema de transmissão de dados
- **Sistemas guiados**
(cabos, linhas, guias, fibra)
 - Par trançado ou entrelaçado
 - Cabo coaxial
 - Guias de onda
 - Fibra óptica
- **Sistemas não-guiados**
(ar, vazio, espaço livre)
 - Rádio
 - Satélite
 - (Tele)Móvel
 - Óptico

Meio físico e modos de transmissão

➤ Sentido

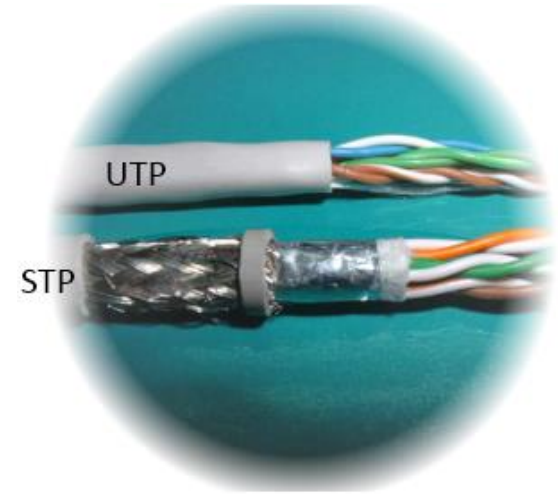
- Simplex (um só sentido) 
- Half duplex (dois sentidos, um de cada vez) 
- Full duplex (dois sentidos em simultâneo) 

➤ Saltos – tipo de ligação

- Linha de vista (direct link)
- Ponto a ponto
- Multi-ponto

Cabo trançado ou entrelaçado (twisted-pair)

- Um par (ou vários pares) de condutores entrançados
 - O entrançar reduz a interferência (dois condutores paralelos fazem uma antena simples, mas entrançados não)
- Usado para comunicações em edifícios (normalmente para redes de telefone)
- Disponíveis com e sem bainha
 - UTP - unshielded twisted pair
 - STP - shielded twisted pair
- Os cabos podem conter centenas de pares
 - Os pares vizinhos geralmente têm diferentes comprimentos de entrançamento (5-15 cm) para reduzir a interferência (crosstalk)
- Barato



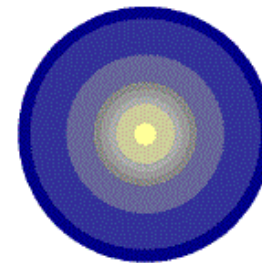
Cabo coaxial

- Par de condutores separados por um material isolante
 - o conductor é geralmente um fio de cobre separado de uma bainha metálica por um material isolador
- A boa blindagem do sinal possibilita maiores distâncias e melhores velocidades de transmissão
- Usado em televisão por cabo e para redes locais (tem vindo a ser substituído pela fibra óptica)
 - Os cabos de 50-ohm são usados em transmissão digital
 - Os cabos de 75-ohm são usados em transmissão analógica

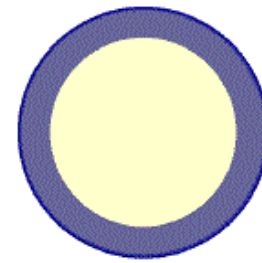


Efeito pelicular (*skin effect*)

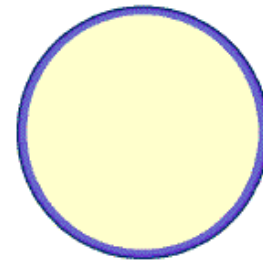
- **Definição:** é a tendência de uma corrente alternada se distribuir num condutor de modo que a densidade de corrente é maior junto à superfície, e decresce à medida que nos aproximamos do centro do condutor
- A corrente flui maioritariamente na “pele” do condutor, entre a superfície e um nível interior denominado por distância pelicular (skin depth) δ
- O aumento da corrente e o aumento da frequência do sinal levam ao aumento da resistência eléctrica



60Hz.
6" (150mm)



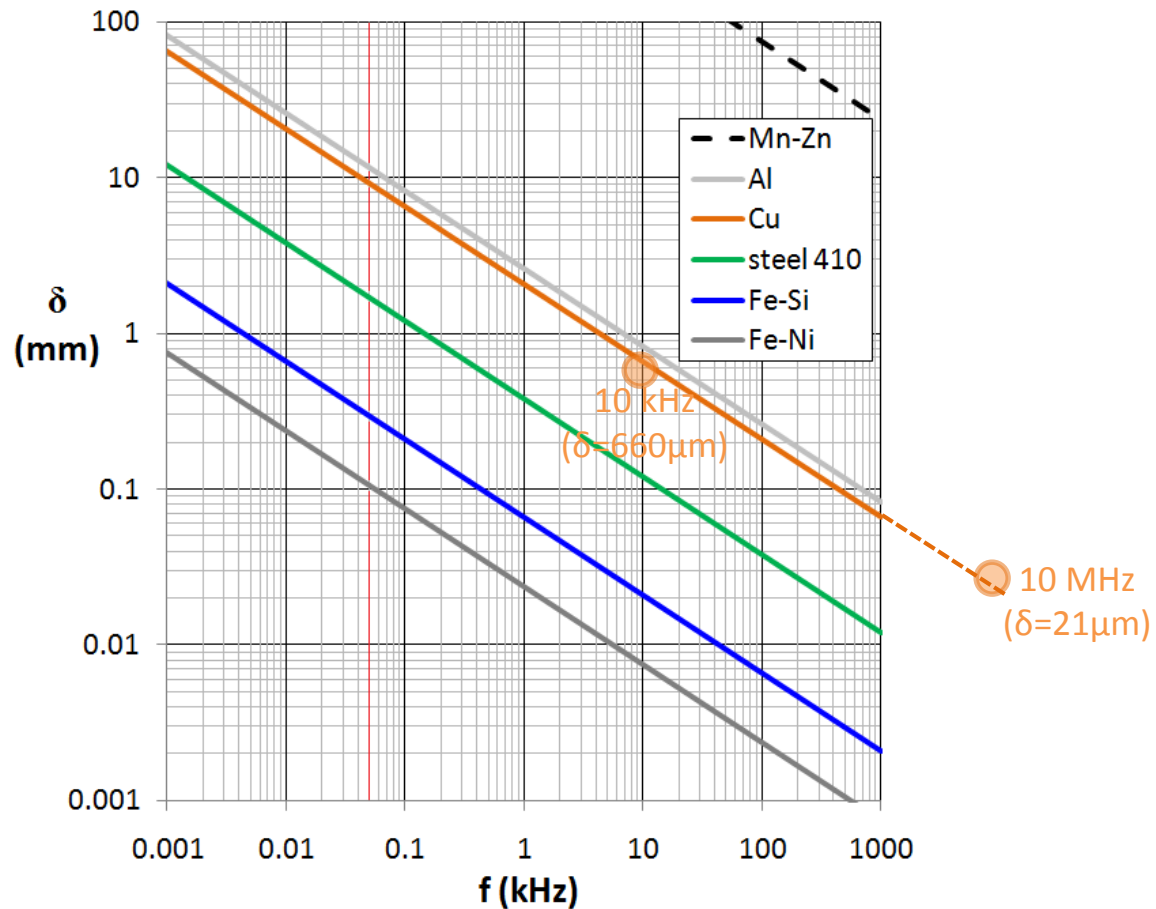
1000Hz.
0.2" (5mm)



400KHz.
0.030" (0.75mm)

- (e.g.) Cobre, 10 kHz ($\delta=660\mu\text{m}$); 10 MHz ($\delta=21\mu\text{m}$)

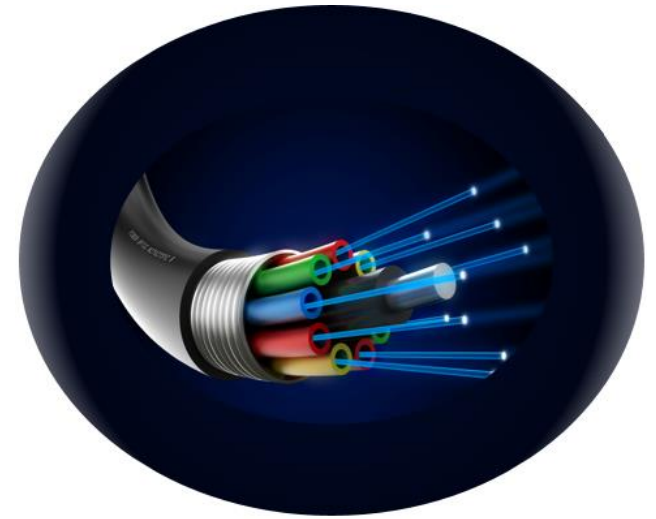
Efeito pelicular (*skin effect*)



- (e.g.) Cobre, 10 kHz ($\delta=660\mu\text{m}$); 10 MHz ($\delta=21\mu\text{m}$)

Fibra óptica

- Três componentes:
 - fonte de luz (led, laser)
 - sistema de transmissão
 - detector
- O detector converte a luz em impulsos eléctricos (on/off)
- Os raios de luz viajam em núcleos de vidro ou plástico
- Transmissão uni-modo ou multi-modo
- A luz com ângulos rasos propaga-se ao longo da fibra mas os raios com ângulos maiores são absorvidos pelo material que envolve a fibra
- Não são afetadas pelo campo electromagnético nem radiam energia (pelo que são muito seguras)



Índice de refração [n]

- Definição: relação entre a velocidade da luz no vácuo e a velocidade da luz em determinado meio

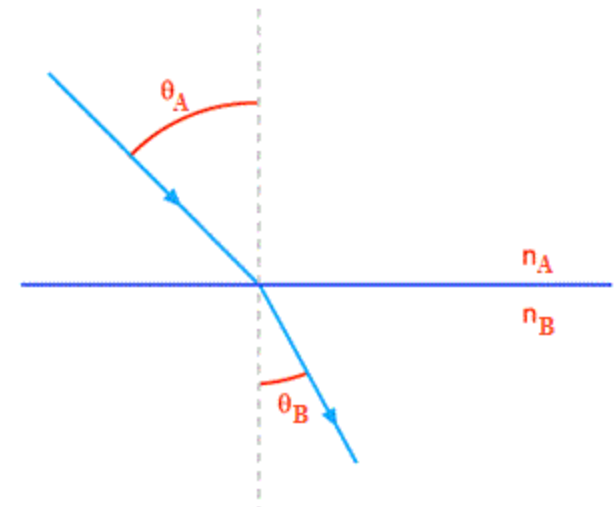
$$n_{(meio)} = \frac{v_{(vácuo)}}{v_{(meio)}} = c/v_{(meio)}$$

Lei de Snell-Descartes

- Definição: os senos dos ângulos de incidência e refração são diretamente proporcionais às velocidades da onda nos respectivos meios

$$n_A \cdot \sin\theta_A = n_B \cdot \sin\theta_B$$

$$v_B \cdot \sin\theta_A = v_A \cdot \sin\theta_B$$



Índices de refração

➤ Valores de índices de refração:

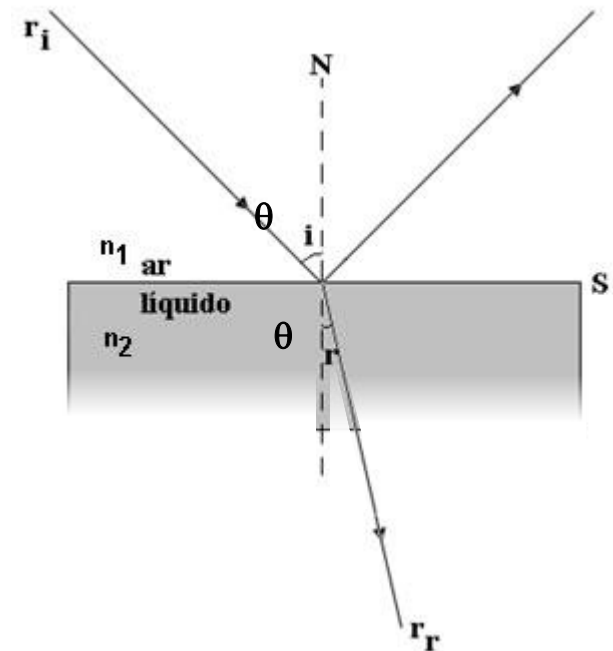
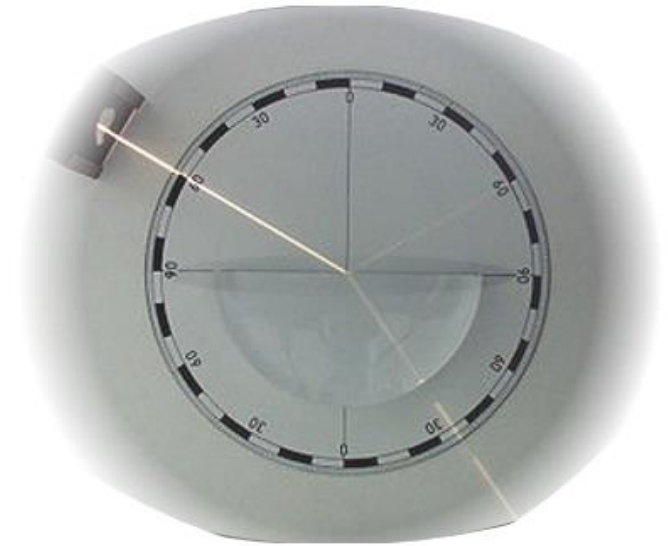
- Vácuo: 1,0000
- Ar: 1,0003 (aprox. 20°C)
- Água: 1,3321 (pura, aprox. 20°C)
- Gelo: 1,3100
- Álcool: 1,3600
- Vidro: 1,5 a 1,9
- Acrílico: 1,49
- Glicerina: 1,47
- Quartzo: 1,54
- Zircônio: 1,92
- Diamante: 2,4200

Refracção e reflexão de um feixe de luz

- Na transição entre dois meios o feixe incidente é reflectido e refractado
- O ângulo crítico de incidência $\theta_{\text{crítico}}$ a partir do qual não há refracção é dado por:

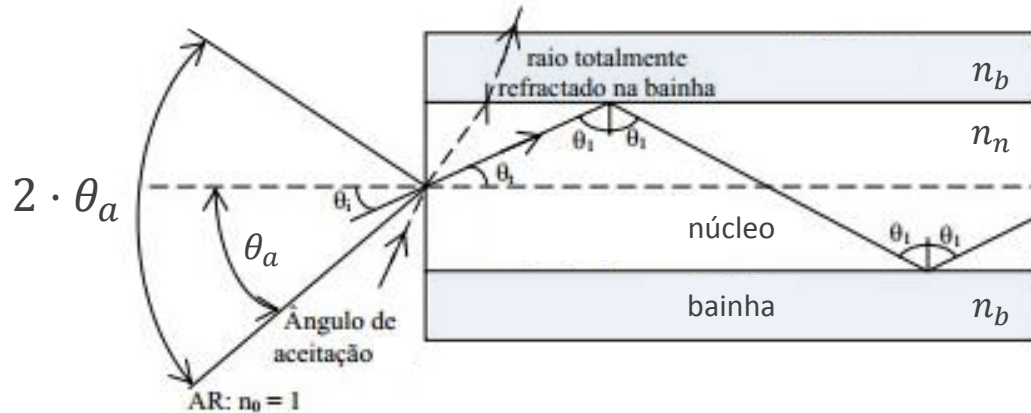
$$\theta_{\text{crítico}} = \arcsin \frac{n_r}{n_i}$$

(para ângulos de incidência superiores a $\theta_{\text{crítico}}$ o feixe é totalmente reflectido)



Propagação em fibra óptica

- O ângulo de aceitação θ_a define o cone de aceitação



- o ângulo máximo θ_a que permite a penetração na fibra e a transmissão sem refração na bainha é dado por:

$$\theta_a = \arcsin \sqrt{n_n^2 - n_b^2}$$

Propriedades do meio

- O meio de transmissão afecta a energia do sinal
 - a resposta (amplitude e fase) do meio varia com a frequência $H(s)$
 - a atenuação limita a distância
 - o meio pode introduzir ruído (maior relevância nos meios não-guiados)
- Largura de banda
 - quanto mais elevada, maior é a taxa de transmissão
- Velocidade de propagação
 - depende da constante dielétrica (permitividade) do meio ϵ
- Atenuação
 - depende da distância de propagação (ℓ : distância)
 - guiado: $10^{\alpha\ell}$ (α depende da frequência)
 - não-guiado: ℓ^n ($n=1$, espaço livre; $n=2$, com obstáculos)

Velocidade de propagação [v]

- Definição: É a velocidade v a que uma onda electromagnética se propaga num determinado meio (e.g. cabo coaxial) é dada por:

$$v = c \cdot v_F$$

$$v = \lambda \cdot f$$

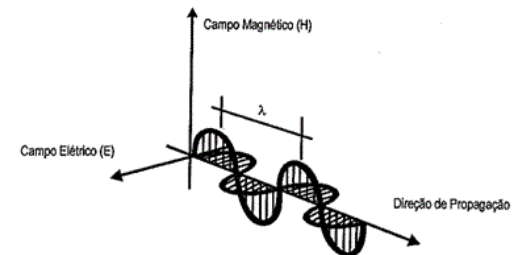
$$v_{TEM}^{(dielétrico)} = \frac{c_{TEM}^{(vácuo)}}{\sqrt{\epsilon_r}}$$

$$n = \frac{c_{TEM}^{(vácuo)}}{v_{TEM}^{(dielétrico)}}$$

- Factor de velocidade (v_F):
percentagem da velocidade da luz em espaço livre

$$v_F = 1/n = 1/\sqrt{\epsilon_r} = 1/c\sqrt{LC}$$

- 85% é um valor típico para cabos coaxiais com dielétrico de espuma



TEM (Transverse ElectroMagnetic):
Configuração do campo electromagnético quando os campos \vec{E} e \vec{H} são perpendiculares à direção de propagação

Transmissão guiada (atenuação)

Meio	Freq. (Hz)	Perdas dB/km
Par de fios	1 k	0.05
Par entrançado (16 gauge)	10 k	2
	300 k	6
Coaxial (1 cm diâmetro)	100 k	1
	3 M	4
Fibra	$2.4 \cdot 10^{14}$	0.5

$$P_{out} = 10^{-\left(\frac{\alpha \cdot l}{10}\right)} \cdot P_{in}$$

$$P_{dBm}^{(out)} = P_{dBm}^{(in)} - L_{dB}$$

$$L_{dB} = \alpha \cdot l$$

CC >
152

Transmissão guiada
Atenuação (L_{dB})

Coeficiente de atenuação [dB/km]

Distância [km]

Transmissão guiada ponto-a-ponto

Tipo	Ritmo de Tx.	Largura banda	Repetidor
Entrançado	4 Mb/s	3 MHz	2-5 km
Coaxial	500 Mb/s	350 MHz	1-10 km
Fibra	2 Gb/s	2 GHz	10-100 km

$$P_{[dBm]} = 10 \cdot \log_{10} \frac{P_{[W]}}{1mW} \quad \xleftrightarrow{P_{[dBm]} \leftrightarrow P_{[W]}} \quad P_{[W]} = 1mW \cdot 10^{\frac{P_{[dBm]}}{10}}$$

$$G_{[dB]} = 10 \cdot \log_{10} G \quad \xleftrightarrow{G_{[dB]} \leftrightarrow G} \quad G = 10^{\frac{G_{[dB]}}{10}}$$

Limite teórico para a capacidade do canal

- As características e a qualidade da transmissão dependem do meio físico e do sinal
- Os parâmetros mais importantes são:
 - Ritmo de transmissão
 - Largura de banda
 - Relação sinal/ruído (S/N)
 - Distância
- Teorema da **capacidade do canal** (lei de Shannon-Hartley)

$$C = B \cdot \log_2 \left(1 + \frac{S}{N} \right)$$

Claude Shannon 1948

C : Capacidade do canal (bits/s)

B : Largura de banda (Hz)

S/N : Relação sinal ruído
(ganho linear, não em dB)

Linhas de transmissão

- Geralmente o comprimento dos fios pode ser ignorado $\lambda \gg d$ (i.e. a tensão num dado ponto do fio é igual à tensão em todo o fio)

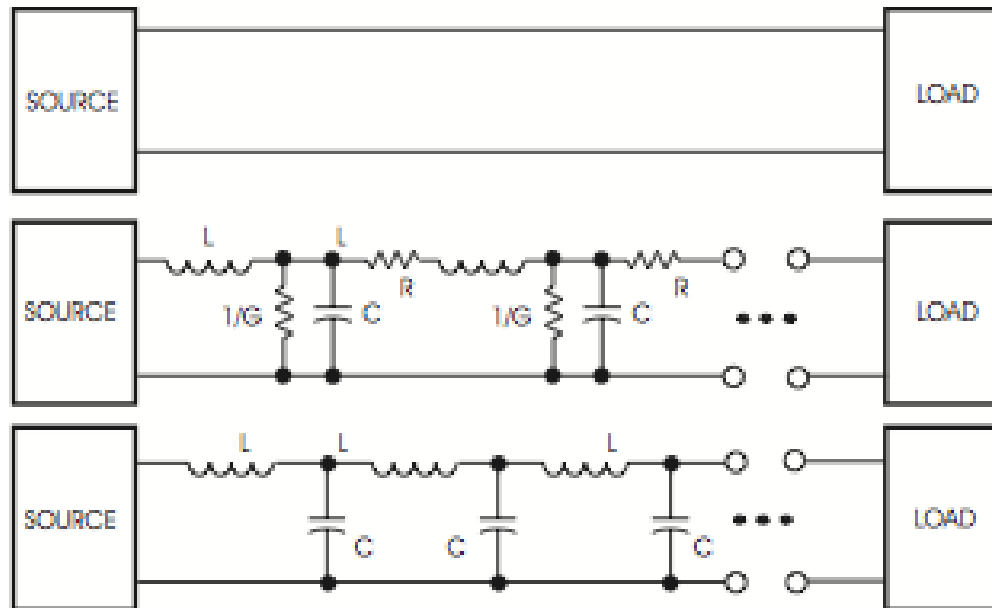
... mas, quando o sinal varia a alta frequência (ou o fio é muito longo) temos que $\lambda \ll$ pelo que devemos considerar modelos de propagação em linha de transmissão

$$v = \lambda \cdot f \quad \Rightarrow \quad \lambda = v / f \quad d > \lambda/10$$

Exemplo: Um par entrançado é uma linha de transmissão quando o seu comprimento é comparável ao comprimento de onda λ do sinal (superior a um décimo de λ)

Linhas de transmissão

- Modelo: A linha é modelada por troços de condensadores e bobines infinitesimais com capacidades C e indutâncias L definidas por unidade de comprimento (F/m e H/m)



- este modelo pode incluir perdas (modeladas por R e $1/G$)

Parâmetros:

R e L do condutor real

C é a capacidade entre os dois condutores

G modela as correntes de fuga

Linhas de transmissão

➤ Exemplo de transmissão

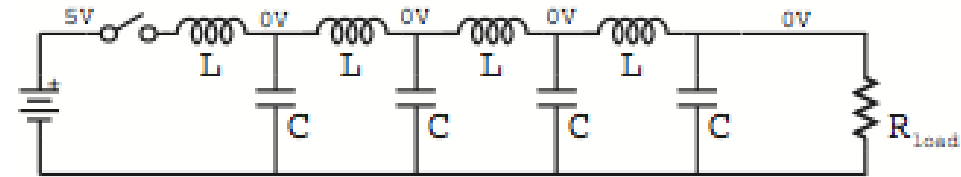
Uma pilha de 5V liga à carga R_{load} por uma linha de transmissão

(a) quando o interruptor fecha a corrente flui para a linha de transmissão mas não atinge a carga. Inicia-se a carga do 1º condensador

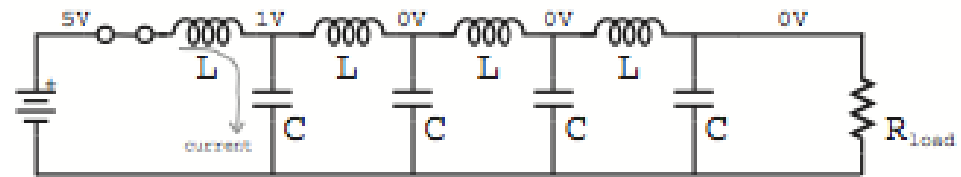
(b) à medida que o primeiro estágio carrega completamente a corrente flui para o segundo estágio

(c) depois de todos os estágios carregarem é que a corrente atinge a carga. Este tempo designa-se:

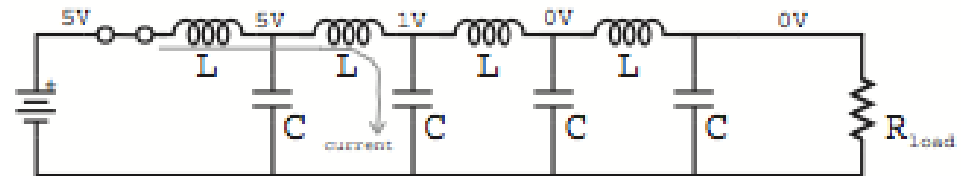
τ - atraso de propagação da linha



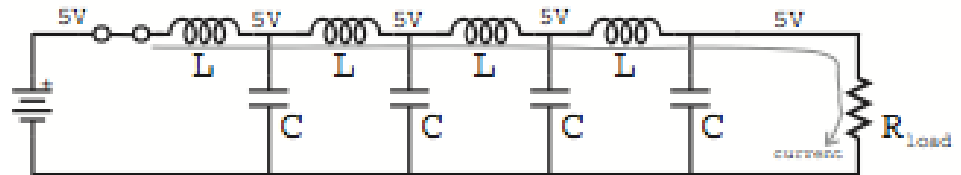
(a)



(b)



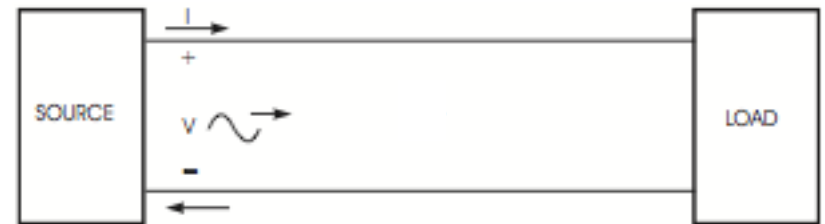
(c)



Impedância característica da linha [Z_0]

- A impedância Z_0 vista pela fonte depende apenas dos parâmetros C e L e designa-se por impedância característica da linha

$$Z_0 = \sqrt{\frac{L}{C}} ; \quad Z_0^{(perdas)} = \sqrt{\frac{R + j\omega L}{G + j\omega C}}$$



$$Z_0 \cong \frac{60}{\sqrt{\epsilon_r}} \ln\left(\frac{D}{d}\right)$$



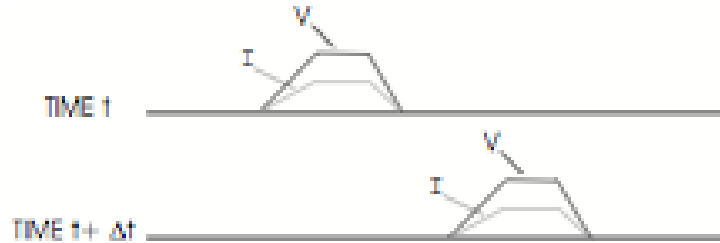
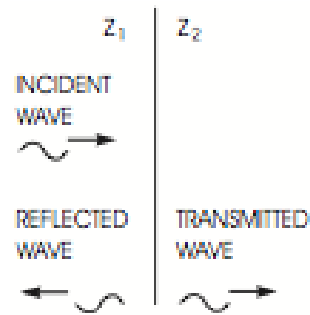
Cabo coaxial:

d – diâmetro do condutor interior

D – diâmetro interno do condutor exterior

Coefficientes de reflexão [ρ_v, Γ_v]

- As reflexões ocorrem nas fronteiras da linha e definem-se para a onda reflectida ρ_v e para onda transmitida Γ_v



$$\rho_v = \frac{V_{ref}}{V_{inc}} = \frac{Z_L - Z_0}{Z_L + Z_0}$$

$$\Gamma_v = \frac{V_{tra}}{V_{inc}} = 1 + \rho_v$$



Exemplo:

Para um factor de velocidade $v_F = 0.7$ a onda viaja a uma velocidade de $210 \times 10^6 \text{ m/s}$ ou seja, demora 4.76ns para viajar 1 metro

Linha não-adaptada (reflexões)

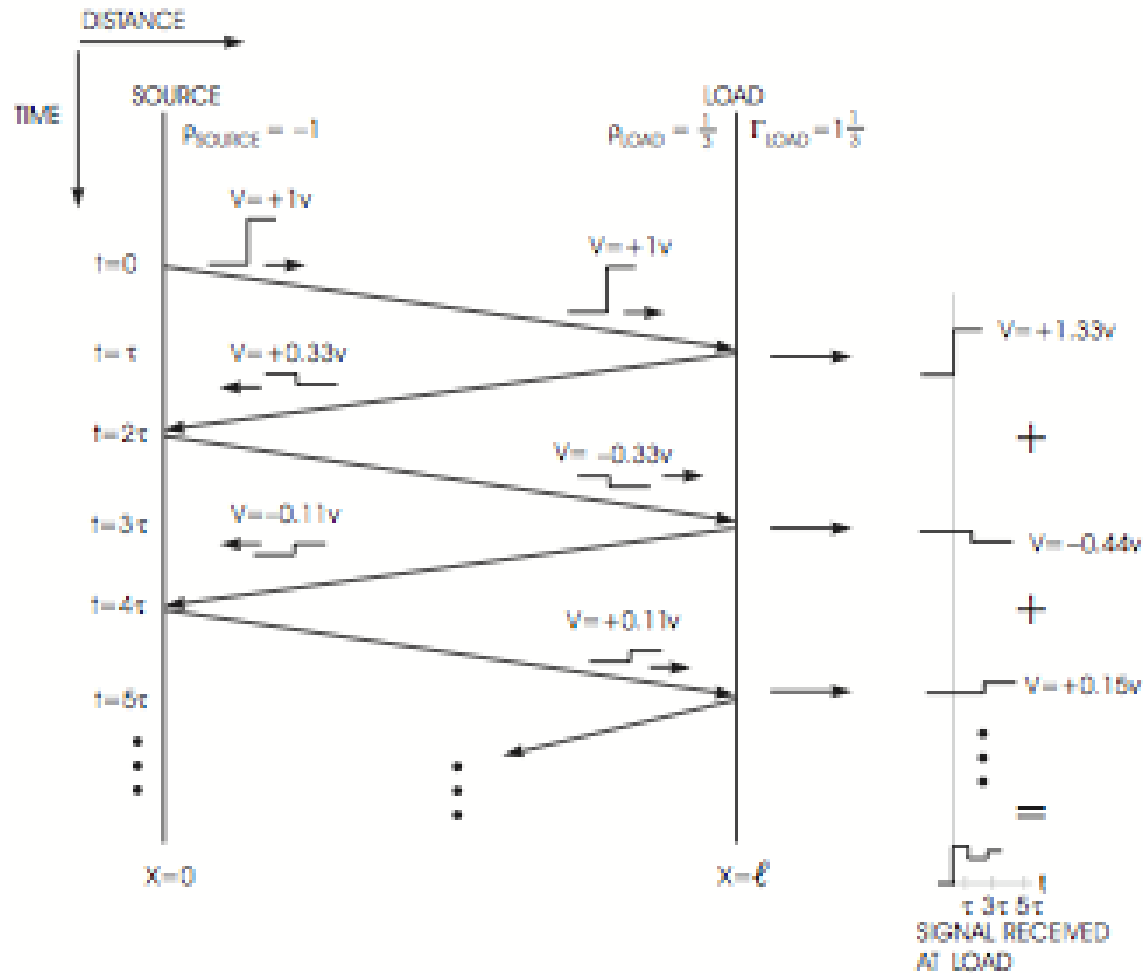
➤ Exemplo

A fonte produz um degrau de 1V

Ao fim de τ segundos esta onda atinge a carga

Como a impedância do cabo é diferente da impedância da carga, parte da onda é refletida, e parte é transmitida

O efeito final é que a carga recebe uma onda que é a sobreposição da onda incidente original com todas as outras ondas subsequentes



$$\rho_v = \frac{V_{\text{ref}}}{V_{\text{inc}}} = \frac{Z_L - Z_0}{Z_L + Z_0}$$

$$\Gamma_v = \frac{V_{\text{tra}}}{V_{\text{inc}}} = 1 + \rho_v$$

Linha não-adaptada (reflexões)

➤ Exemplo

Ondas reais têm tempos de subida (t_{rise}) superiores a zero

Atraso da linha: $\tau = 5 ns$

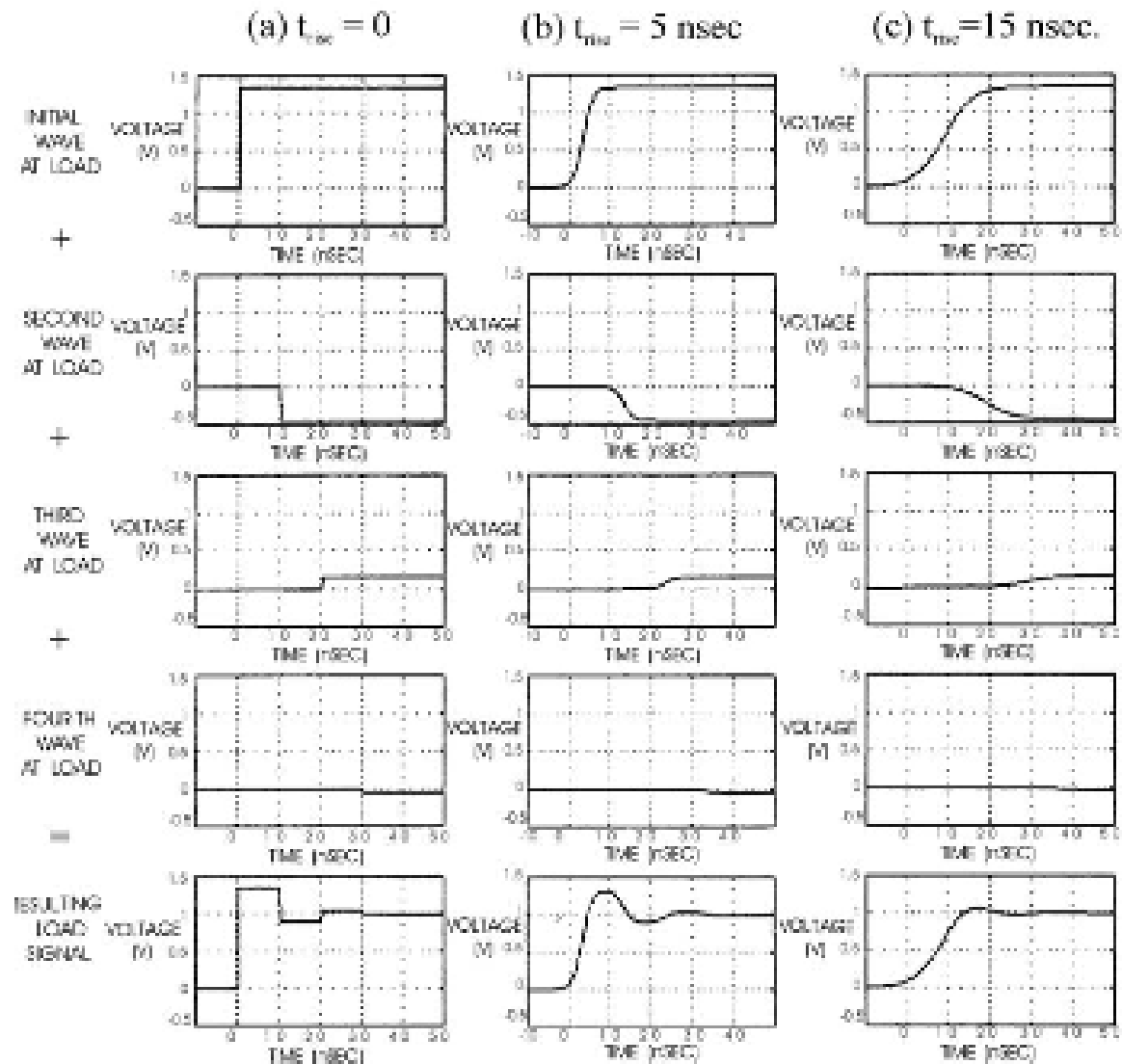
(a) $t_{rise} = 0$

(b) $t_{rise} \approx \tau$

(c) $t_{rise} > \tau$

A amplitude das reflexões não depende do tempo de subida t_{rise} afeta apenas a forma da sobreposição das ondas

Se $t_{rise} > 6\tau$ estamos na condição de baixas frequências



$$\rho_v = \frac{V_{ref}}{V_{inc}} = \frac{Z_L - Z_0}{Z_L + Z_0}$$

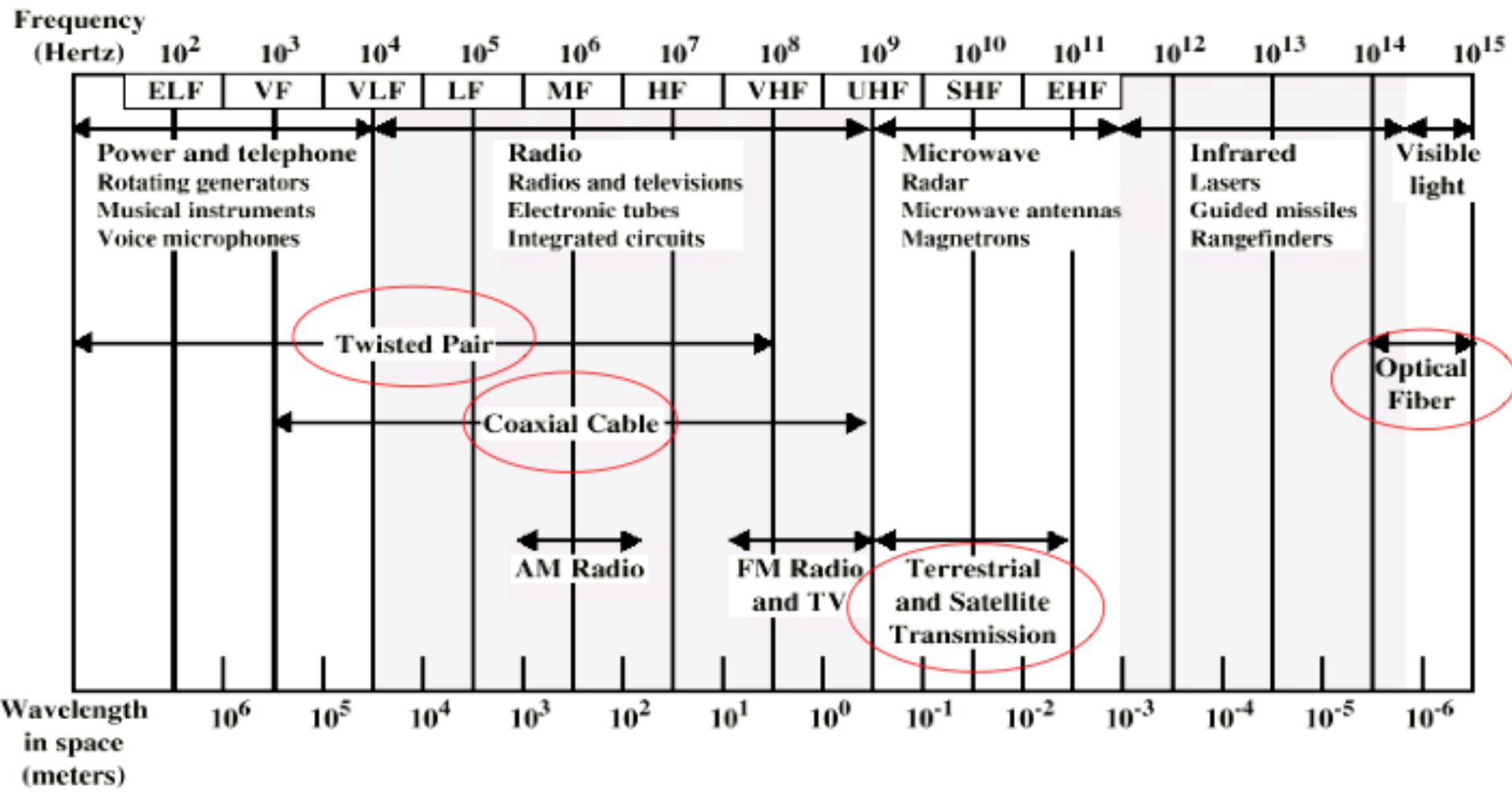
$$\Gamma_v = \frac{V_{tra}}{V_{inc}} = 1 + \rho_v$$

Sistemas de transmissão não-guiada

➤ Sistemas não-guiados (propagação em espaço livre)

- Rádio
- Satélite
- (Tele)Móvel
- Óptico

Espectro electromagnético



$$c = \lambda \cdot f \approx 3 \cdot 10^8 \text{ m/s}$$

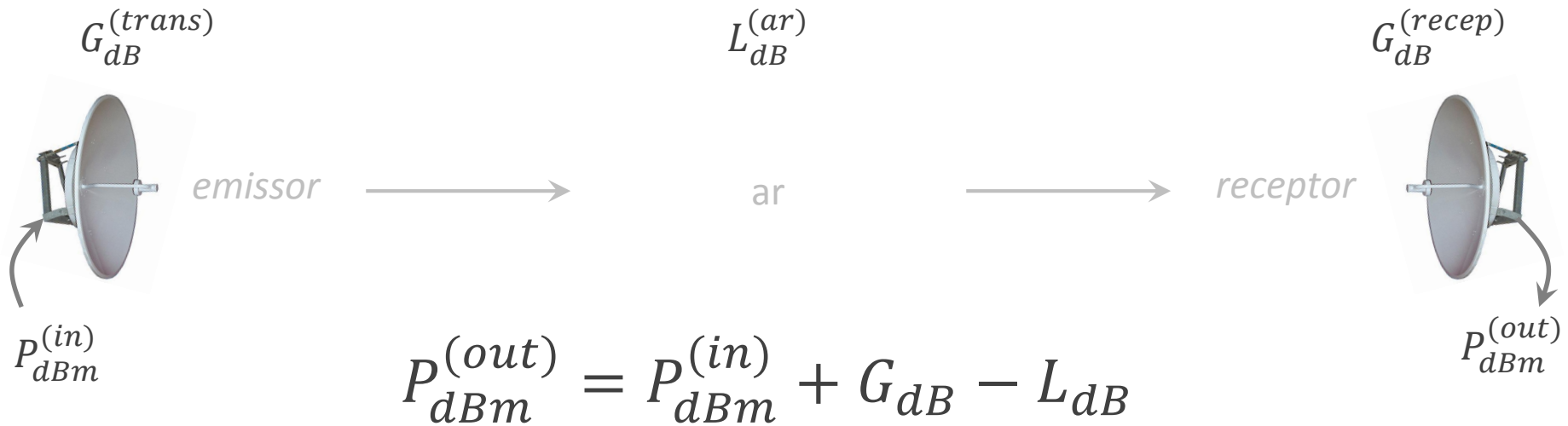
Sistemas de transmissão rádio



➤ **Sistemas de transmissão não-guiados**

- sistemas de transmissão sem fios
- as características das antenas têm relevância
- atenuação devido à propagação em espaço livre

Orçamento de potência



- Num sistema em linha de vista a principal fonte de atenuação da potência do sinal é devida à propagação em espaço livre (*free-space path-loss, PL* – path loss)

$$PL_{dB} = L_{dB}^{(ar)}$$

Orçamento de potência

- Num sistema de telecomunicações (guiado ou não-guiado) o orçamento de potência permite considerar todos os ganhos G_{dB} e perdas L_{dB} desde o transmissor, passando pelo meio, até ao receptor

$$P_{dBm}^{(out)} = P_{dBm}^{(in)} + G_{dB} - L_{dB}$$

- Outras perdas podem advir de obstáculos, atenuação do cabo ou dos conectores de ligação.
- Os ganhos podem resultar dos ganhos das antenas (tanto de transmissão como de recepção) ou de repetidores/amplificadores

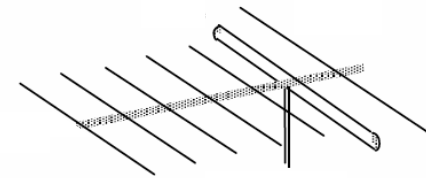
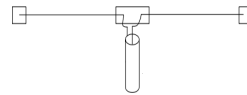
Antenas

- São dispositivos que convertem potência eléctrica em ondas electromagnéticas (e vice-versa)

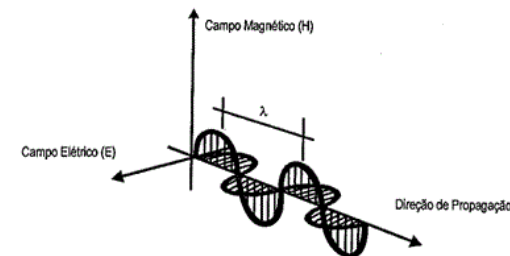
- parabólicas



- dipolos e agregados



- Um transmissor força uma **corrente AC** na antena provocando um **campo magnético** oscilante. A carga em movimento provoca um campo eléctrico oscilante, estes campos **produzem uma onda** electromagnética (TEM) que **radia em espaço livre**

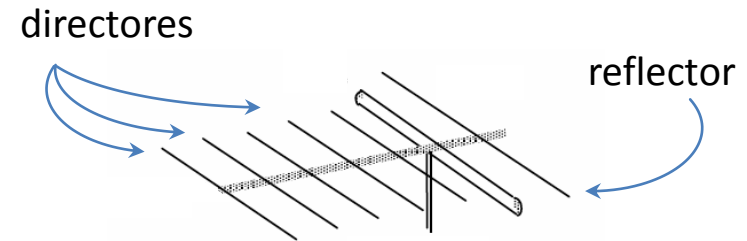
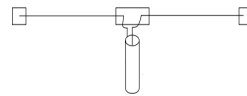


Antenas

- parabólicas



- dipolos e agregados



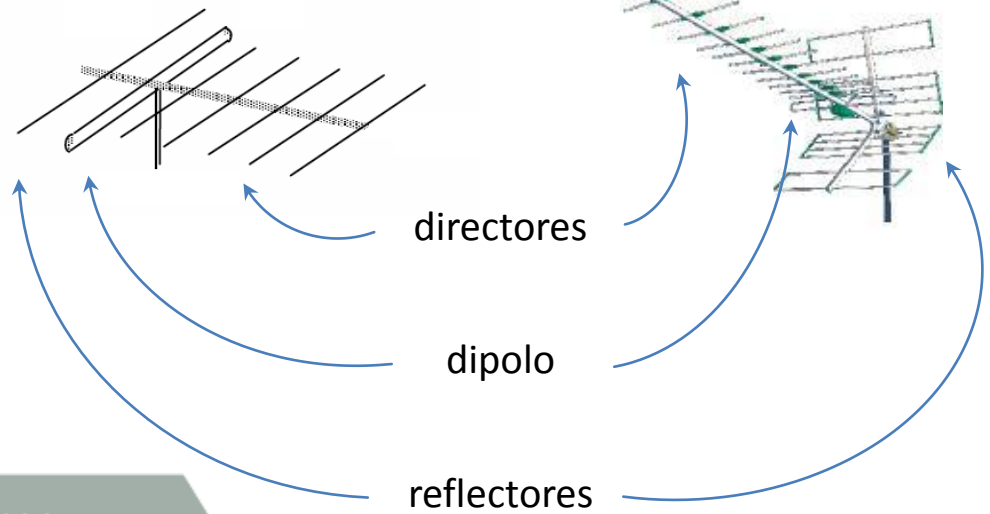
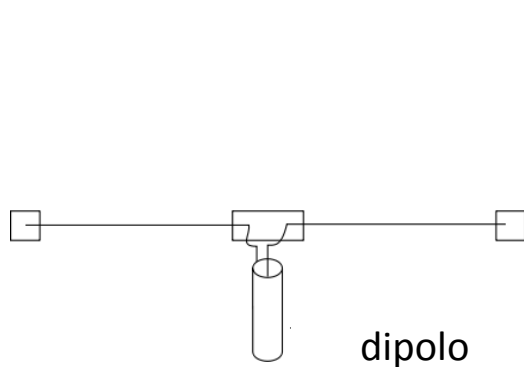
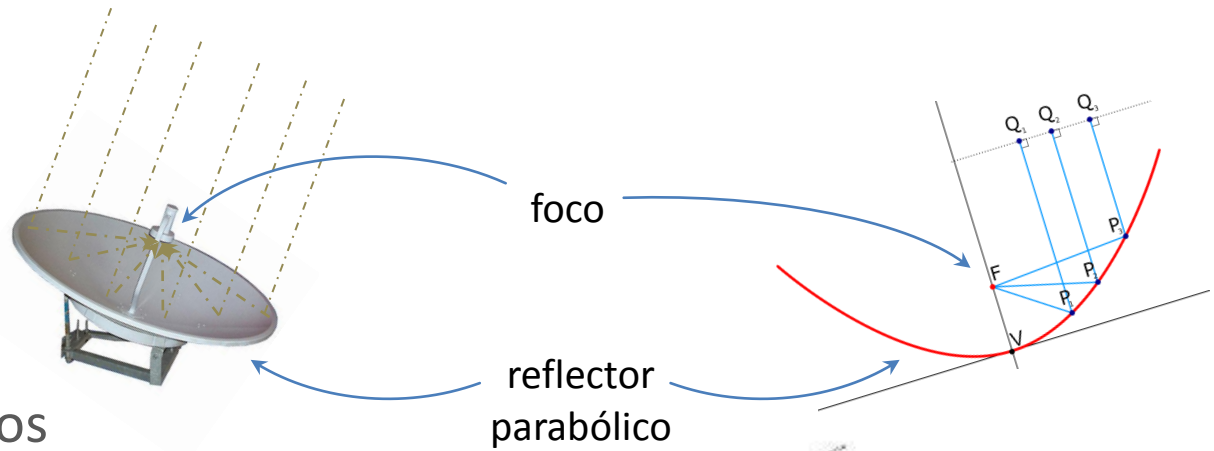
- as antenas podem incluir elementos directores ou reflectores tais como cornetas, elementos **reflectores** ou **reflector parabólico** de forma a obter um padrão de radiação mais direccional

Antenas

➤ Elementos de uma antena:

- parabólicas

- dipolos e agregados



Padrão de radiação

... antena pode ser:

- **Omnidirecional ou isotrópica**
... se radiar (ou receber) o mesmo valor em todas as direções (simetria em relação ao centro)
- **Direccional**
... se radiar (ou receber) preferencialmente numa direção (e.g. simetria axial)

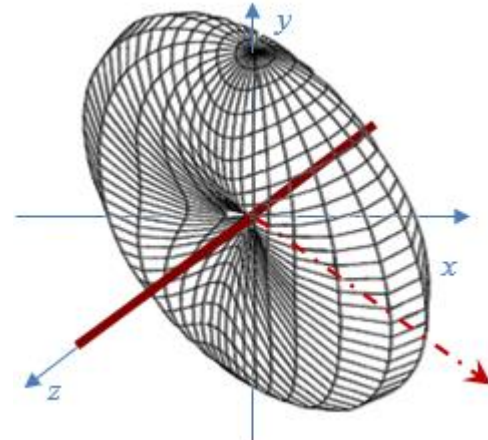
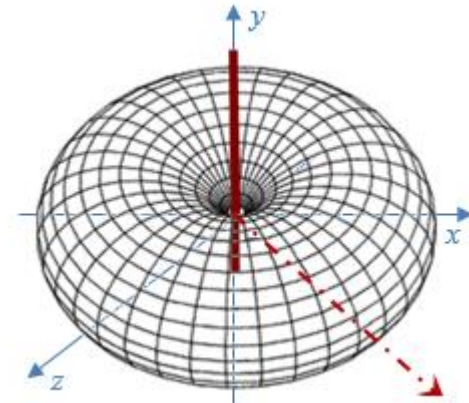
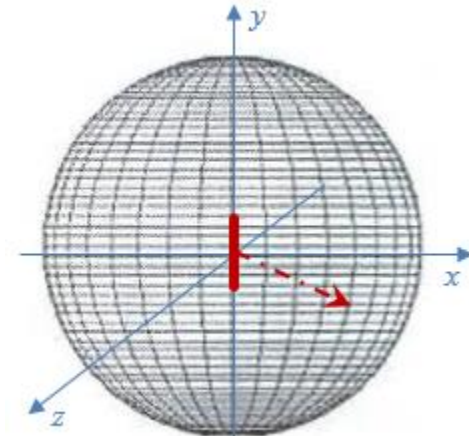
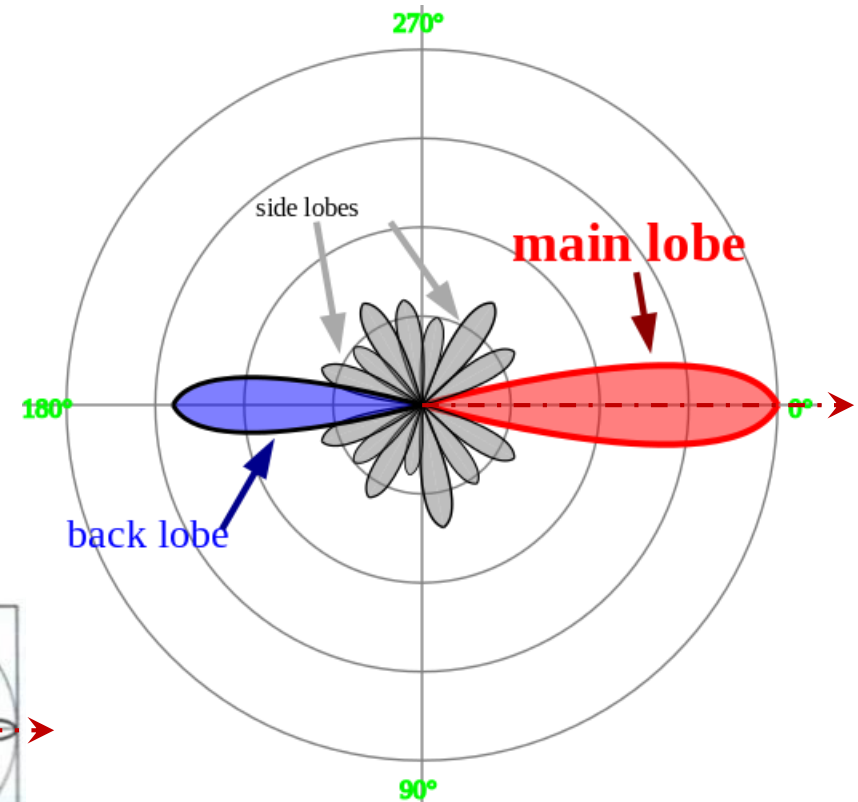
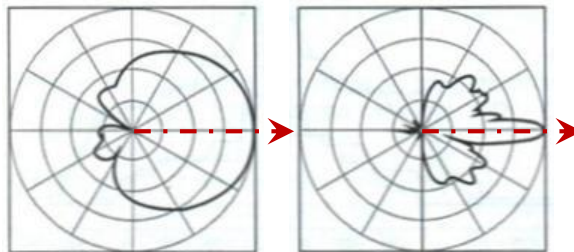


Diagrama de radiação

- **Padrão de radiação** é uma figura que representa a força relativa da radiação emitida pela antena
- Geralmente apresenta máximos em determinadas direcções (**lóbulos**) e mínimos (nulos) noutras
 - o **lóculo principal** é o maior dos lóbulos e é nessa direcção que se calcula o **ganho da antena G**

- exemplos:



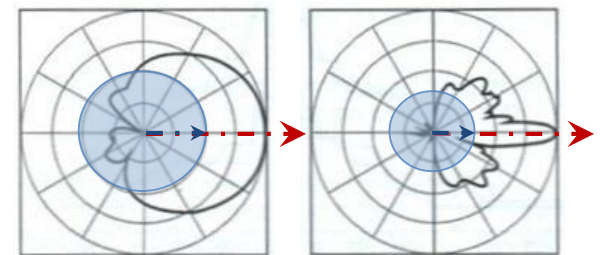
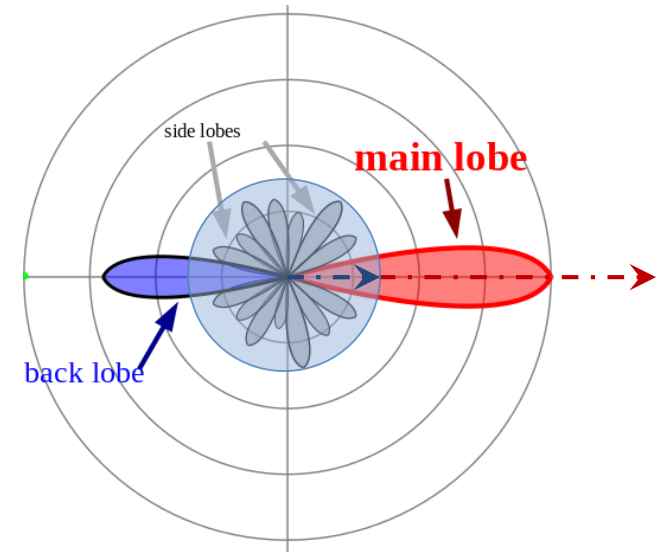
Ganho da antena [G]

- O Ganho G é a razão entre a intensidade de radiação [W/m^2] (na direcção máxima) e a intensidade de radiação [W/m^2] de uma antena isotrópica equivalente (no mesmo ponto)

$$G_{dBi} = 10 \cdot \log_{10}(G)$$

- pode ser medido em dBi (refere-se à antena isotrópica) ou, em dBd se a referência for um dipolo

(nota: $0 \text{ dBd} = 2.15 \text{ dBi}$)

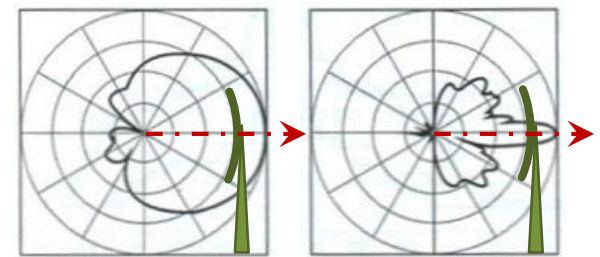
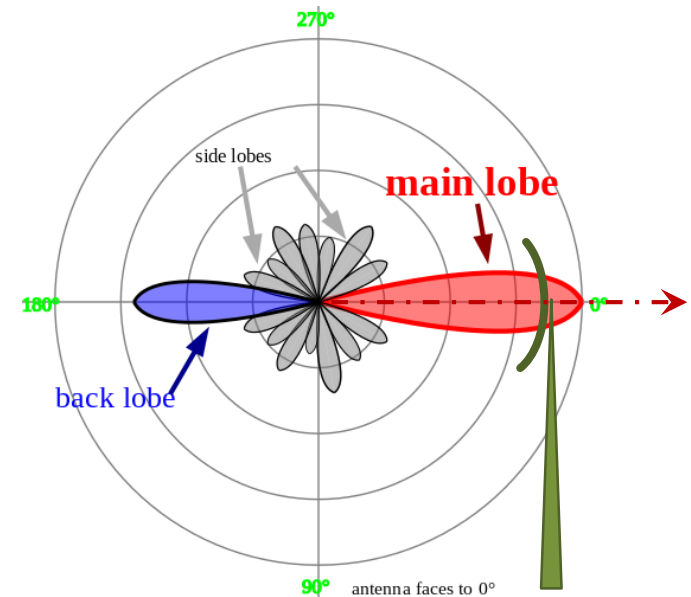


Abertura (ou área efectiva) [A_{ef}]

- Abertura ou área efectiva A_{ef} indica a porção de potência de uma onda electromagnética que a antena entrega aos seus terminais, expressa em função de uma área equivalente

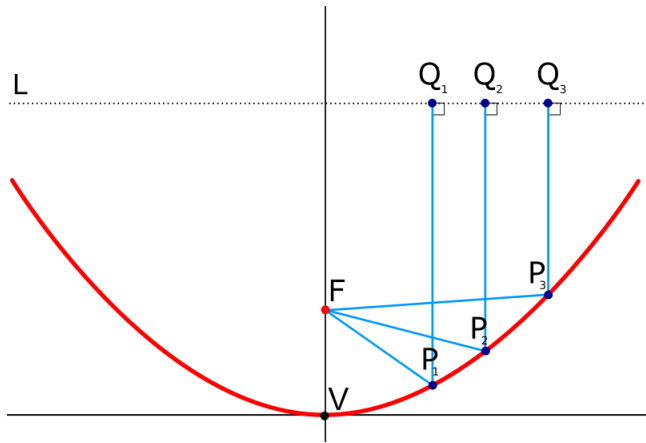
$$A_{ef} = \frac{\lambda^2}{4\pi} G$$

- exemplo: se uma onda passar num dado local com um fluxo de $1pW/m^2$ e uma antena nesse local tiver uma abertura de $12m^2$, então ela entrega aos terminais $12pW$ de potência RF ($30\mu V @ 75 ohm$)



Antenas parabólicas

- usam um refletor de secção parabólica para orientar as ondas na direcção do receptor (foco)



- Área efectiva (abertura)

$$A_{ef} = \pi r^2$$

- Ganho

$$G = \frac{4\pi(\pi r^2)}{\lambda^2}$$



Antenas parabólicas:

r – raio da antena

πr^2 – área efectiva da antena

Antenas

... relação entre área efectiva e ganho de uma antena

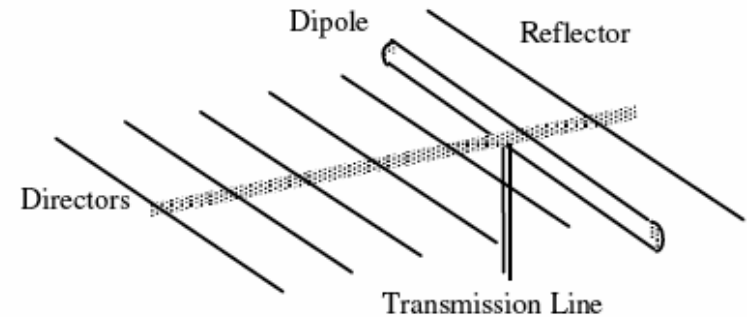
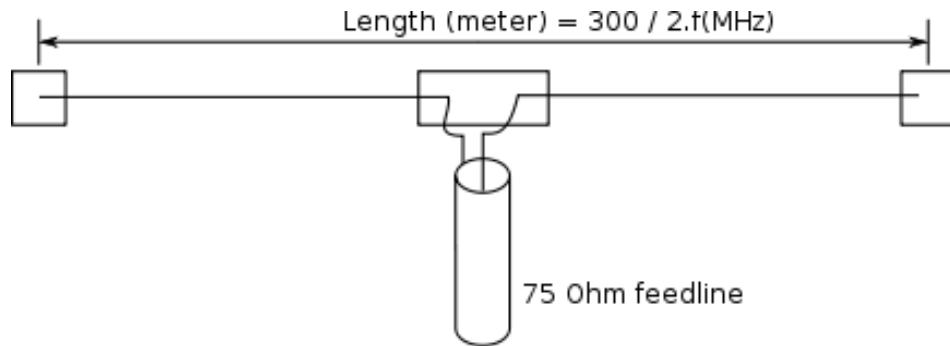
$$A_{ef} = \frac{\lambda^2}{4\pi} G \quad \text{em que} \quad \lambda = c/f$$

➤ conversão entre unidades de ganho de antenas (*dBi*, *dBd*)

$$G_{dBi} = 10 \cdot \log_{10}(G)$$

$$G_{dBd} = G_{dBi} - 2.15 \quad \Leftarrow \quad G_{dBd} = 10 \cdot \log_{10}\left(\frac{G}{1.64}\right)$$

Dipolos e agregados

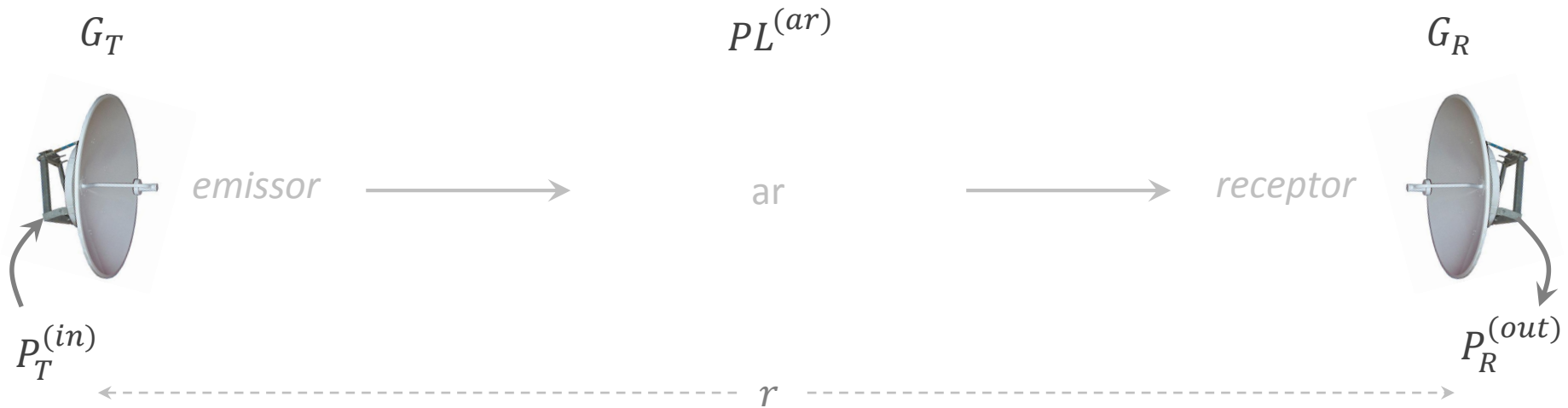


Sobre um plano de massa, uma antena de um quarto de onda tem um ganho duas vezes maior (+3dB) que um dipolo de meio comprimento de onda (ou 5.19dBi), e uma resistência de radiação de 36.8Ω .

O comprimento elétrico da antena pode ser reduzido com uma indutância ligada em série (por vezes enrolada em hélice)



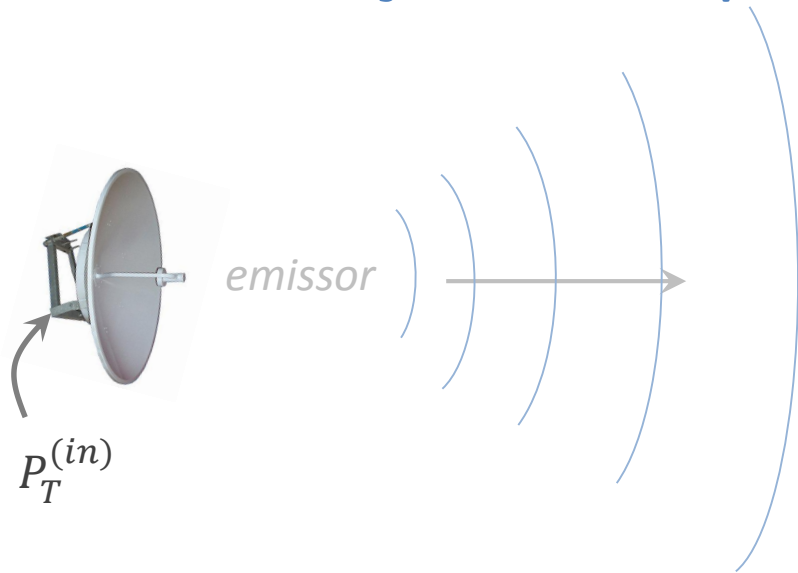
Equação de Friis



$$\frac{P_R}{P_T} = G_T G_R \left(\frac{\lambda}{4\pi r} \right)^2 \quad \leftrightarrow \quad \frac{P_R}{P_T} = \frac{A_{ef}^{(T)} A_{ef}^{(R)}}{\lambda^2 r^2}$$

- Dada uma antena que transmite uma potência P_T , a potência P_R recebida pela antena receptora é proporcional ao produto das aberturas de ambas as antenas (à distância r)

PL - Atenuação em espaço livre



$$S = P_T \frac{1}{4\pi r^2}$$

$$P_R = S \frac{\lambda^2}{4\pi}$$

$$PL = \frac{P_T}{P_R} = \left(\frac{4\pi r}{\lambda}\right)^2$$

Incorpora dois efeitos:

- Espalhamento da energia electromagnética em espaço livre devida à dispersão esférica (inverse square law)
- Influência da abertura da antena na potência recebida

$$A_{ef} = \frac{\lambda^2}{4\pi}$$

- As perdas por propagação correspondem à perda da força de sinal (de uma onda electromagnética) resultante da propagação em linha de vista (sem obstáculos) e em espaço livre